

JAERI-M

8300

R O S A III R U N 703 実験の予測解析

1979年6月

小泉 安郎・菊池 治<sup>\*</sup>・早田 邦久

日本原子力研究所  
Japan Atomic Energy Research Institute

この報告書は、日本原子力研究所が JAERI-M レポートとして、不定期に刊行している研究報告書です。入手、複製などのお問合せは、日本原子力研究所技術情報部（茨城県那珂郡東海村）あて、お申しこしください。

JAERI-M reports, issued irregularly, describe the results of research works carried out in JAERI. Inquiries about the availability of reports and their reproduction should be addressed to Division of Technical Information, Japan Atomic Energy Research Institute, Tokai-mura, Naka-gun, Ibaraki-ken, Japan.

ROSA III RUN 703 実験の予測解析

日本原子力研究所東海研究所安全工学部  
小泉安郎・菊池 治\*・早田邦久

(1979年6月5日受理)

沸騰水型原子炉 (BWR) を縮尺模擬し、核燃料棒の代りに電気ヒータを用いた ROSA III による実験の目的は、BWR の冷却材喪失事故 (LOCA) 時の熱水力学的挙動並びに緊急炉心冷却系 (ECCS) の作動特性を調べ、原子炉安全性解析コードの検証並びに改良に寄与する情報を提供することである。RUN 703 実験は平均炉心出力、再循環系ポンプ吸込側配管両端破断を仮定し、ECCS (高圧炉心スプレイ HPCS、低圧炉心スプレイ LPCS、低圧注水 LPCI、自動減圧系 ADS) を作動させる実験である。この実験に先立ち、解析コード RELAP4J を用いて実験結果の予測計算を行なった。計算結果では、HPCS は破断後 27.0 秒、LPCS は 53.9 秒、LPCI は 66.9 秒で作動を開始した。燃料棒表面は最も長い期間のもので破断後 9 秒から 33 秒までドライアウト状態にあり、表面温度の最高値は 500 °C であった。また、液位形成モデルの改良の必要性のあること、ダウンカマ内液位とジェットポンプの駆動、吸込み、吐出各流量と流れの方向とが系の挙動を把握するのに重要な役割を果すと考えられること、従って計算結果と実験結果との比較を可能にするようにこれらの量について実験で計測を強化する必要があることが明らかとなった。

---

\* 東京芝浦電気株式会社

JAERI-M 8300

Prediction of ROSA-III Experiment Run 703

Yasuo KOIZUMI, Osamu KIKUCHI<sup>\*</sup> and Kunihisa SODA

Division of Reactor Safety,  
Tokai Research Establishment, JAERI

( Received June 5, 1979 )

The purpose of the ROSA-III experiment with a scaled BWR test facility is to examine primary coolant thermal-hydraulic behavior and performance of ECCS during a postulated loss-of-coolant accident of BWR. The results provide information for verification and improvement of reactor safety analysis codes.

Run 703 assumes a recirculation line double-ended break at the pump suction under an average core power with actuation of ECCS ( HPCS, LPCS, LPCI and ADS ). Prediction of the Run 703 experiment was made with computer code RELAP4J.

HPCS started 27 sec after the break, LPCS 53.9 sec and LPCI 66.9 sec. Heater-rod surfaces were in dryout condition from 9 to 33 sec after the break for the longest duration. A maximum heater-rod surface temperature was 500 °C.

What determine the coolant behavior are the mixture level in the downcomer, flow rates and flow directions at the jet pump drive nozzles, jet pump suction and discharge. There is thus the need for these measurements to compare with the prediction results. Improvement of the liquid level formation model is also necessary.

Key words : BWR, LOCA, ROSA-III Facility, RELAP4J Code, ECCS, Thermal-Hydraulic Behavior, Heater Rod, Surface Temperature

---

\* Toshiba Corporation

## SUMMARY

The purpose of ROSA-III experiment with the scaled BWR test facility is to investigate the system behavior during a postulated loss-of-coolant accident of BWR and to provide informations to be used for qualification and improvement of LOCA analysis codes.

ROSA-III test facility is designed to provide information for evaluation of thermo-hydraulic behavior of primary coolant and ECCS during a postulated LOCA in a typical BWR system. Volumetric scaling ratio of the facility is taken as 1/424 and major system components of actual BWR are simulated. Recirculation lines are simulated by two recirculation lines with main recirculation pumps, one is intact loop and the other is broken loop. Jet pumps are simulated by four jet pumps, two each for intact and broken loop. The jet pumps are externally placed outside the vessel. In the core, four  $8 \times 8$  simulated fuel assemblies are installed with channel boxes and one simulated water rod in each channel box. The simulated fuel is an electrically heated rod with chopped cosine power distribution in the axial direction. Its heated length is 1880 mm, one half of actual fuel rod length. The test facility is capable of performing simulated LOCA experiment with many experimental parameters which includes break locations, break size, ECC injections and others.

Run 703 represents a typical 200% double ended recirculation pipe break at pump suction side. ECCS consisting of HPCS, LPSC, LPCI and ADS is activated in Run 703. Initial core power is 3.37 MW and radial power distribution in the core is uniform. Total power to the fuel rod assemblies after break is controlled by predetermined power decay curve which represents stored heat, decay heat and delayed neutron effect. Initial core inlet flowrate is 36.4 kg/s and initial pressure in pressure vessel is 7.16 MPa. A sharp edged orifice with throat area of  $5.389 \times 10^{-4} \text{ m}^2$  is used at the break. Feed water of 205°C is fed into system for 2 sec after break at flowrate of 2.07 kg/s. Main steam discharge from a steam dome to atmosphere is maintained for 3 sec after break at flowrate of 2.07 kg/s. Recirculation pump speeds are not controlled.

The present analysis consists of two steps: system behavior is made with use of RELAP-4J using 31 volumes including one core volume, 50 junctions and 41 heat slabs to represent the ROSA-III test facility. The results of the system behavior analysis is used for the core analysis to

calculate fuel rod surface temperature, where 5 volumes, 6 junctions and 13 heat slabs are used to represent the core of ROSA-III facility.

Major results and conclusions are as follows.

- 1) Lower plenum flashing is predicted to occur at 11.2 sec after break. At 8.5 sec, mixture level in downcomer reaches the top of the downcomer outlet nozzle to the jet pump suction. At 12.0 sec it reaches the top of the downcomer outlet nozzle to the recirculation pump suction. HPCS initiates at 27.0 sec, LPCS at 53.9 sec and LPCI at 66.9 sec. Transition from two-phase discharge to steam discharge occurs at 61.0 sec at the pump side break plane and 73.9 sec at the vessel side break plane. Return to two-phase discharge occurs at 79.0 sec and at 78.1 sec, respectively. ECC injection rate exceeds the total discharge rate at 54.0 sec. Calculation was terminated at 152.9 sec.
- 2) The simulated fuel rod surface exhibits a dryout condition from 9 sec to 33 sec after break for the longest duration, which occurs at the axially highest power region. The maximum surface temperature is 500°C. The rewetting of a dried high temperature surface does not occur due to the lower plenum flashing. Quality in volume for the dryout period is 0.4-0.7.
- 3) Flow direction in broken loop jet pump reverses immediately after break. Flow from lower plenum to jet pump discharge is separated into two directions; one is toward the pump side break via jet pump drive nozzle and the other is toward the vessel side break through jet pump suction and downcomer. Choked flow exists at the jet pump drive nozzle in the broken loop from 18.0 sec to 102 sec.
- 4) Flow direction in intact loop jet pump suction reverses at 8.5 sec after break when mixture level in downcomer falls down below the downcomer outlet nozzle to jet pump suction. Flow direction in jet pump discharge also reverses at 10.5 sec. After loosing the jet pump function, two flow routes are formed in the intact loop. One is from lower plenum to downcomer through the jet pump suction. The other is from the lower part of downcomer to downcomer through jet pump drive nozzle and jet pump suction by pumping action of recirculation pump. Flow direction from lower plenum to recirculation pump reverses at 15 sec.
- 5) Choked flow exists at the pump side break plane from 0.5 sec to 66 sec and from 92 sec to 139.2 sec after break, and also as vessel side break plane from 0.5 sec to 80 sec and from 86 sec to termination of calculation.
- 6) When phase separation model is applied to vertically connected volumes,

RELAP-4J calculates mixture levels in all of the volumes. Such calculation does not always represent realistic situation and often causes instability of calculation. Therefore, further improvement in phase separation model is required as to more realistically predict mixture level in vertically connected volumes.

- 7) When subcooled liquid originating from a volume flows into the adjacent volume and mixes with steam or two-phase mixture there, unrealistic oscillations in pressure and flow rate are resulted. It is mainly due to the RELAP4J assumption that such fluid mixing takes place instantaneously as subcooled liquid enters a volume. Therefore, mixing model should be improved.
- 8) ROSA-III pump characteristics data, including two-phase effect, are required.
- 9) Major parameters to control system behavior are downcomer liquid level and flowrate, flow direction and quality at jet pump drive nozzle, jet pump suction, jet pump discharge in both intact and broken loops. This, these data are required for code qualification purpose.
- 10) Data of differential pressure across each system component and flow-rates at each location are required to quantify initial input data for analytical codes.

## 目 次

SUMMARY.....	(3)
1. まえがき.....	1
2. ROSA Ⅲ実験装置ならびに RUN 703 実験の概略 .....	2
2.1 ROSA Ⅲ実験装置 .....	2
2.2 RUN 703 実験 .....	2
2.2.1 実験条件.....	2
2.2.2 実験手順.....	3
3. RELAP 4J による計算結果 .....	13
3.1 システム全体の解析に用いた入力データ.....	13
3.2 炉心解析に用いた入力データ.....	14
3.3 RELAP 4J の主な特色 .....	14
4. 計算結果とその考察.....	30
4.1 計算で予測した諸事象.....	30
4.2 計算結果.....	30
4.2.1 圧力, 差圧.....	31
4.2.2 流量.....	32
4.2.3 炉心発熱量.....	32
4.2.4 ポンプ回転数.....	33
4.2.5 流体温度.....	33
4.2.6 ROSA Ⅲ構造物温度 .....	34
4.2.7 燃料棒表面温度.....	34
4.2.8 チャンネルボックス内壁面温度.....	35
4.2.9 流体密度.....	35
4.2.10 そのほかの重要な計算結果.....	36
5. 結 論.....	84
謝 辞.....	85
参考文献.....	86
付録	
付録 1 システム全体の解析に用いた入力データリスト .....	87
付録 2 炉心解析に用いた入力データリスト .....	93

## CONTENTS

Summary .....	(3)
1. INTRODUCTION .....	1
2. BRIEF DESCRIPTION OF ROSA III TEST FACILITY AND EXPERIMENT RUN 703 .....	2
2.1 ROSA III Test Facility .....	2
2.2 EXPERIMENT RUN 703 .....	2
2.2.1 Experiment Conditions .....	2
2.2.2 Experiment Procedure .....	3
3. CALCULATION USING REACTOR SAFETY ANALYSIS CODE .....	13
3.1 Input Data for System Behavior Analysis .....	13
3.2 Input Data for Core Analysis .....	14
3.3 Characteristics of RELAP4J Used in Analysis .....	14
4. PREDICTED RESULTS AND DISCUSSIONS .....	30
4.1 Predicted Events .....	30
4.2 Predicted Results .....	30
4.2.1 Pressure and Differential Pressure .....	31
4.2.2 Flow rate .....	32
4.2.3 Core Power .....	32
4.2.4 Pump Speed .....	33
4.2.5 Coolant Temperature .....	33
4.2.6 Surface Temperature of ROSA III Structure .....	34
4.2.7 Clad Temperature .....	34
4.2.8 Channel Box Wall Temperature .....	35
4.2.9 Coolant Density .....	35
4.2.10 Other Results of Significance .....	36
5. CONCLUSIONS .....	84
ACKNOWLEDGEMENT .....	85
REFERENCES .....	86
APPENDICES	
APPENDIX 1 Listing of Input Data for System Behavior Analysis ..	87
APPENDIX 2 Listing of Input Data for Core Analysis .....	93

## LIST OF TABLES

Table 2.1	Specified Experiment Conditions of RUN 703 and Initial Conditions Used in Analysis .....	6
Table 2.2	Primary Timer Setting for RUN 703 .....	11
Table 2.3	Major Chronology after Break for RUN 703 .....	12
Table 3.1	Description of Volumes .....	19
Table 3.2	Description of Junctions .....	20
Table 3.3	Description of Heat Slabs .....	22
Table 3.4	Initial Pressure and Temperature Distribution .....	24
Table 3.5	Initial Conditions of Junctions .....	25
Table 3.6	Description of Volumes in Core Analysis .....	29
Table 3.7	Description of Junctions in Core Analysis .....	29
Table 3.8	Description of Heat Slabs in Core Analysis .....	29
Table 4.1	Major Predicted Events .....	40
Table 4.2	Measurement Location and Corresponding Prediction .....	42
Table 4.3	Additional Calculated Parameters .....	48

## List of Figures

Fig. 2.1	Schematic Drawing of ROSA III Test Facility .....	4
Fig. 2.2	Pressure Vessel of ROSA III .....	5
Fig. 2.3	Axial Power Distribution of Heater Rod .....	9
Fig. 2.4	Power Transient .....	10
Fig. 3.1	Node and Junction Representation of ROSA III .....	17
Fig. 3.2	Feed Water Rate Used in Analysis .....	27
Fig. 3.3	Steam Discharge Rate Used in Analysis .....	27
Fig. 3.4	Characteristics of ECCS Pumps .....	27
Fig. 3.5	Node and Junction in Core Analysis .....	28
Fig. 4.1	Pressure in Lower Plenum (P1, AP1) .....	50
Fig. 4.2	Pressure in Upper Plenum (P2, AP5) .....	50
Fig. 4.3	Pressure in Steam Dome (P3, AP8) .....	50
Fig. 4.4	Pressure at Downcomer Bottom (P4, AP11) .....	50
Fig. 4.5	Pressure in Broken Loop Jet Pump Drive Line (P5 & P6, AP19) .....	51
Fig. 4.6	Pressure in Broken Loop Jet Pump Suction Line (P7 & P8, AP12) .....	51

Fig. 4.7	Pressure at Intact Loop Pump Suction (P9, AP23) .....	51
Fig. 4.8	Pressure at Broken Loop Pump Suction (P10, AP16) .....	51
Fig. 4.9	Pressure at Broken Loop Pump Delivery (P11, AP18) .....	52
Fig. 4.10	Pressure at Upstream of Break B (Vessel Side)(P14, AP15) .	52
Fig. 4.11	Pressure at Intact Loop Jet Pump Outlet (P17, AP22) ....	52
Fig. 4.12	Pressure at Broken Loop Jet Pump Outlet (P18, AP14) ....	52
Fig. 4.13	Differential Pressure Lower Plenum to Upper Plenum (D1, AP1-AP5) .....	53
Fig. 4.14	Differential Pressure, Upper Plenum to Steam Dome (D2, AP5-AP8) .....,.....	53
Fig. 4.15	Differential Pressure, Vessel Bottom to Top (D5, AP1-AP8). .	53
Fig. 4.16	Differential Pressure, Intact Loop Jet Pump 1 Discharge to Suction (D6, AP21-AP20) .....	53
Fig. 4.17	Differential Pressure, Intact Loop Jet Pump 1 Drive to Suction (D7, AP26-AP20) .....	54
Fig. 4.18	Differential Pressure, Intact Loop Jet Pump 2 Discharge to Suction (D8, AP31-AP20) .....	54
Fig. 4.19	Differential Pressure, Broken Loop Jet Pump 3 Discharge to Suction (D10, AP13-AP12) .....	54
Fig. 4.20	Differential Pressure, Broken Loop Jet Pump 3 Drive to Suction (D11, AP19-AP12) .....	54
Fig. 4.21	Differential Pressure, Broken Loop Jet Pump 4 Discharge to Suction (D12, AP30-AP12) .....	55
Fig. 4.22	Differential Pressure, Intact Loop Pump Delivery to Suction (D14, AP25-AP23) .....	55
Fig. 4.23	Differential Pressure, Broken Loop Pump Delivery to Suction (D15, AP18-AP16) .....	55
Fig. 4.24	Flowrate in Main Steam Line (F1, JW47) .....	55
Fig. 4.25	Injection in ADS Steam Line (F2, JW48) .....	56
Fig. 4.26	Injection Rate of HPCS (F7, JW44) .....	56
Fig. 4.27	Injection Rate of LPCS (F9, JW43) .....	56
Fig. 4.28	Injection Rate of LPCI (F11, JW42) .....	56
Fig. 4.29	Flowrate of Feed Water (Transient) (F15, JW45) .....	57
Fig. 4.30	Flowrate at Intact Loop Jet Pump 1 Discharge (F17, JW23) .	57
Fig. 4.31	Flowrate at Intact Loop Jet Pump 2 Discharge (F18, JW41) .	57
Fig. 4.32	Flowrate at Broken Loop Jet Pump 3 Discharge (F19 & F20, JW13) .....	57
Fig. 4.33	Flowrate at Broken Loop Jet Pump 4 Discharge (F21 & F22, JW38) .....	58

Fig. 4.34 Flowrate at Intact Loop Jet Pump Outlet (F23, JW23+JW41) .	58
Fig. 4.35 Flowrate at Broken Loop Jet Pump Outlet (F24, JW13+JW38) .	58
Fig. 4.36 Flowrate at Break Unit A (Pump Side) (F25, JW50) .....	58
Fig. 4.37 Core Power (W1, W2 & W3, NQ) .....	59
Fig. 4.38 Recirculation Pump Speed (N1 & N2, Volumes 24 & 17) .....	59
Fig. 4.39 Coolant Temperature in Lower Plenum (T1, AT1 & TS1) .....	59
Fig. 4.40 Coolant Temperature in Upper Plenum (T2, AT5 & TS5) .....	59
Fig. 4.41 Coolant Temperature in Steam Dome (T3, AT8 & TS8) .....	60
Fig. 4.42 Coolant Temperature in Upper Downcomer (T4, AT28 & TS28) .	60
Fig. 4.43 Coolant Temperature in Lower Downcomer (T5, AT11 & TS11) .	60
Fig. 4.44 Coolant Temperature at Intact Loop Jet Pump Drive (T6 & T7, AT16 & TS26) .....	60
Fig. 4.45 Coolant Temperature at Broken Loop Jet Pump Drive (T8 & T9, AT19 & TS19) .....	61
Fig. 4.46 Coolant Temperature at Intact Loop Jet Pump 1 Discharge (T10, AT21 & TS21) .....	61
Fig. 4.47 Coolant Temperature at Intact Loop Jet Pump 2 Discharge (T11, AT31 & TS31) .....	61
Fig. 4.48 Coolant Temperature at Broken Loop Jet Pump 3 Discharge (T12, AT13 & TS13) .....	61
Fig. 4.49 Coolant Temperature at Broken Loop Jet Pump 4 Discharge (T13, AT30 & TS30) .....	62
Fig. 4.50 Coolant Temperature at Intact Loop Pump Suction (T14, AT23 & TS23) .....	62
Fig. 4.51 Coolant Temperature at Intact Loop Pump Delivery (T15, AT25 & TS25) .....	62
Fig. 4.52 Coolant Temperature at Broken Loop Suction (T16, T18 & T26, AT16 & TS16) .....	62
Fig. 4.53 Coolant Temperature at Broken Loop Pump Delivery (T17, AT18 & TS18) .....	63
Fig. 4.54 Coolant Temperature at Upstream of Break B (Vessel Side), (T19, AT15 & TS15) .....	63
Fig. 4.55 Coolant Temperature at Intact Loop Jet Pump Outlet (T24, AT22 & TS22) .....	63
Fig. 4.56 Coolant Temperature at Broken Loop Jet Pump Outlet (T25, AT14 & TS14) .....	63
Fig. 4.57 Bypass Side Surface Temperature of Vessel Filler, (TS15 & TS18, Heat Slab 18 Left) .....	64

Fig. 4.58 Downcomer Side Surface Temperature of Vessel Filler, (TS21 & 24, Heat Slab 18 Right) .....	64
Fig. 4.59 Surface Temperature of Upper Downcomer (TS30, Heat Slab 37 Right) .....	64
Fig. 4.60 Surface Temperature of Downcomer Wall (TS31, Heat Slab 20 Right) .....	65
Fig. 4.61 Surface Temperature of Lower Plenum Wall (TS36, Heat Slab 13 Right) .....	65
Fig. 4.62 Heater Rod Surface Temperature, Position 1 (TF1, 8, 22, 29, 39, 50 and 58; Heat Slab 12) .....	66
Fig. 4.63 Heater Rod Surface Temperature, Position 2 (TF2, 9, 16, 23 and 30, Heat Slab 10) .....	66
Fig. 4.64 Heater Rod Surface Temperature, Position 3 (TF3, 10, 17, 24, 51, 55, 59, 63 and 66, Heat Slab 9) ...	67
Fig. 4.65 Heater Rod Surface Temperature, Position 4 (TF4, 11, 18, 25, 32, 37, 41, 45, 48, 52, 56, 60, 64 and 67; Heat Slab 7) .....	67
Fig. 4.66 Heater Rod Surface Temperature, Position 5 (TP5,12,19,26, 33,38,42,46,49,53,57,61,65 & 68, Heat Slab 5) .....	68
Fig. 4.67 Heater Rod Surface Temperature, Position 6 (TF6, 13, 20, 27 & 34, Heat Slab 4) .....	68
Fig. 4.68 Heater Rod Surface Temperature, Position 7 (TF7, 14, 21, 28, 35, 43, 54 & 62, Heat Slab 2) .....	69
Fig. 4.69 Surface Temperature of Channel Box Wall (TB1~TB14, Heat Slab 6 Left) .....	69
Fig. 4.70 Fluid Density at Intact Loop Jet Pump Outlet (DF1, DF2 & DF3, AR22) .....	70
Fig. 4.71 Fluid Density at Broken Loop Jet Pump Outlet (DF4, DF6 & DF7, AR14) .....	70
Fig. 4.72 Fluid Density at Break A (DF7 & DF8, AR16) .....	70
Fig. 4.73 Flowrate at Lower Tie Plate, JW3 .....	71
Fig. 4.74 Flowrate at Upper Tie Plate, J@4 .....	71
Fig. 4.75 Flowrate at Steam Separator Inlet, JW5 .....	71
Fig. 4.76 Flowrate at Steam Separator Outlet, JW6 .....	71
Fig. 4.77 Flowrate at Outlet from Downcomer to Broken Loop Jet Pump 3 Suction, JW11 .....	72
Fig. 4.78 Flowrate at Broken Loop Jet Pump Suction, JW12 and JW76 ..	72
Fig. 4.79 Flowrate at Broken Loop Recirculation Flow Inlet to Lower Plenum, JW14 .....	72

Fog. 4.80	Flowrate at Broken Loop Jet Pump Drive Nozzles, JW20 and JW37 .....	72
Fig. 4.81	Flowrate at Outlet from Downcomer to Intact Loop Jet Pump Suction, JW21 .....	73
Fig. 4.82	Flowrate at Intact Loop Jet Pump Suctions, JW22 and JW39 ..	73
Fig. 4.83	Flowrate at Intact Loop Recirculation Flow Inlet to Lower Plenum, JW24 .....	73
Fig. 4.84	Flowrate at Intact Loop Jet Pump Drive Nozzles, JW29 and JW40 .....	73
Fig. 4.85	Flowrate at Vessel Side Break Plane, JW49 .....	74
Fig. 4.86	Junction Quality at Outlet from Downcomer to Broken Loop Jet Pump Suction, JX11 .....	74
Fig. 4.87	Junction Quality at Broken Loop Jet Pump Suction, JX12 ..	74
Fig. 4.88	Junction Quality at Broken Loop Recirculation Flow Inlet to Lower Plenum, JX14 .....	74
Fig. 4.89	Junction Quality at Outlet from Downcomer to Broken Loop Recirculation Pump, JX15 .....	75
Fig. 4.90	Junction Quality at Broken Loop Jet Pump Drive Nozzle, JX20 .....	75
Fig. 4.91	Junction Quality at Outlet from Downcomer to Intact Loop Jet Pump Suction, JX21 .....	75
Fig. 4.92	Junction Quality at Intact Loop Jet Pump Suction, JX22 ..	75
Fig. 4.93	Junction Quality at Intact Loop Recirculation Flow Inlet to Lower Plenum, JX24 .....	76
Fig. 4.94	Junction Quality at Outlet from Downcomer to Intact Loop Recirculation Pump, JX25 .....	76
Fig. 4.95	Junction Quality at Intact Loop Jet Pump Drive Nozzle, JX29 .....	76
Fig. 4.96	Junction Quality at Downcomer Inlet, JX32 .....	76
Fig. 4.97	Junction Quality at Vessel Side Break Plane, JX49 .....	77
Fig. 4.98	Junction Quality at Pump Side Break Plane, JX50 .....	77
Fig. 4.99	Average Quality in Lower Plenum below Tie Grid, AX1 ..	77
Fig. 4.100	Average Quality in Lower Plenum above Tie Grid, AX2 ..	77
Fig. 4.101	Average Quality in Core Inlet Chambers, AX3 .....	78
Fig. 4.102	Average Quality in Core, AX4 .....	78
Fig. 4.103	Average Quality in Upper Plenum, AX5 .....	78
Fig. 4.104	Average Quality in Downcomer, AX11 .....	78
Fig. 4.105	Average Quality in Broken Loop Jet Pump, AX13 .....	79

Fig. 4.106 Average Quality in Broken Loop Jet Pump Discharge Line, AX14 .....	79
Fig. 4.107 Average Quality in Broken Loop Recirculation Pump Suction Line, Vessel Side, AX15 .....	79
Fig. 4.108 Average Quality in Broken Loop Recirculation Pump Suction Line, Pump Side, AX16 .....	79
Fig. 4.109 Average Quality in Broken Loop Recirculation Pump Discharge Line, AX18 .....	80
Fig. 4.110 Average Quality in Intact Loop Jet Pump Discharge Line, AX22 .....	80
Fig. 4.111 Average Quality in Intact Loop Recirculation Pump Suction Line, AX23 .....	80
Fig. 4.112 Average Quality in Intact Loop Jet Pump Drive Line, AX26 ..	80
Fig. 4.113 Average Quality in Upper Downcomer, AX28 .....	81
Fig. 4.114 Mixture Level in Downcomer, ML11 .....	81
Fig. 4.115 Mixture Level in Upper Downcomer, ML28 .....	81
Fig. 4.116 Average Quality (Core Analysis) AX2 .....	81
Fig. 4.117 Average Quality (Core Analysis) AX3 .....	82
Fig. 4.118 Average Quality (Core Analysis) AX4 .....	82
Fig. 4.119 Average Quality (Core Analysis) AX5 .....	82
Fig. 4.120 Average Quality (Core Analysis) AX6 .....	82
Fig. 4.121 Average Density at Break B, AR15 .....	83
Fig. 4.122 Rate of ECC Water Accumulation .....	83
Fig. 4.123 Liquid Mass in Volume 1 .....	83

## 1. まえがき

軽水炉安全性に関する研究は最近の軽水炉の大型化、性能の向上に伴い、近年ますますその重要性を増すばかりである。とりわけ、一次系の配管破断による次却材喪失事故 (LOCA) 時のシステム挙動の解明には、事故時の現象を実験的に把握する方面から、更には起り得る可能性のある現象を解析的に予測する方面から、また安全性評価コードの評価性能を検証する方面から多くの努力が注がれている。原研ではこれらの安全性研究の一環として LOCA 時の次却材挙動を総合的に調べる ROSA 計画を実施している。

ROSA 計画では、ROSA I, ROSA II 実験を終了した後、現在 ROSA III 実験を行なっている。ROSA III 実験では沸騰水型原子炉 (BWR) を縮尺し炉心を電気ヒータで模擬した実験装置を用いて総合実験を行なっている。この実験の目的は BWR LOCA 時の熱水力学的現象を実験的に解明するとともに、従来事故時のシステム挙動の解析に用いられている計算コードの検証ならびに精度向上の基となるデータを提供することである。

ROSA III での実験は現在 2 つの実験、RUN 701 実験、RUN 702 実験が終了した。これまでに ROSA III 実験に関して 5 つの報告がある。田坂ら<sup>(1)</sup>、北口ら<sup>(2)(3)</sup>は ROSA III の基となっている GE 社の BWR/6 と ROSA III との模擬性について検討を行ない、ROSA III の設計および最適実験条件の選択のための資料を提供した。早田<sup>(4)</sup>は RUN 701 の実験に先立ち、RELAP 4J<sup>(5)</sup> を用いて実験結果の予測計算を行なった。また、小泉ら<sup>(6)</sup>は同じく RELAP 4J を用いて RUN 702 実験の予測計算を行なった。

実験に先立つ予測計算の目的は、この計算結果と後から得られる実験結果の比較検討からコードの精度を評価することである。その結果としてコードの改良の方向が明らかとなる。本報は、このような見地に立って行なった、ROSA III での 3 番目の実験 RUN 703 に対する実験前の予測計算の結果をまとめたものである。計算には RELAP 4J コードを用い、計算手法は RUN 702 の予測計算<sup>(6)</sup>にほぼ準じている。

RUN 702 実験は、炉心半径方向の出力分布は一様とし、再循環ポンプの吸込側配管両端破断を仮定して、ECCS を作動させない単純放出実験であった。これに対し、RUN 703 実験は更に全 ECCS (高圧炉心スプレイ HPCS、低圧炉心スプレイ LPCS、低圧注水 LPCI、自動減圧系 ADS) を作動させる実験である。これらの RUN 702、RUN 703 実験は ROSA III 実験のいわば標準実験であって、ECCS を含めた総合効果の判断材料を提供するとともに、今後の諸条件を変えた実験の比較の基礎となるものである。

## 2. ROSA III 実験装置ならびにRUN703実験の概略

### 2.1 ROSA III 実験装置

ROSA III 実験装置は BWR の LOCA 時の冷却材の流出開始から緊急炉心冷却系 (ECCS) 作動後までの一連の一次冷却系の熱水力学的挙動を解明するために作られた実験装置であって、実炉 (GE 社の BWR/6<sup>(7)</sup> 热出力  $3.8 \times 10^3$  MW) を体積比にして 1/424 に縮尺した規模である。

ROSA III 実験装置の概略図を図 2.1 に、圧力容器内部形状を図 2.2 に示す。

炉心は 8×8 配列の模擬燃料集合体 4 体からなりたっており、各集合体には 63 本の模擬燃料棒と模擬ウォータロッド 1 本が入れられている。模擬燃料棒は電気間接加熱型で、外径 12.52 mm、発熱部長さは 1880 mm で、実炉燃料棒の 1/2 の長さである。被覆管材質はインコネル 600 である。再循環ループは 2 つあり、1 つは健全ループ、1 つは破断ループで、それぞれに循環ポンプがついている。ジェットポンプは外置きで健全ループに 2 台、破断ループに 2 台置かれている。気水分離器は性能を模擬した構造となっているが、蒸気乾燥器には抵抗のみを模擬した多孔板オリフィスを用いている。

給水および蒸気放出はそれぞれ 2 系統あり、定常時給水には常温水が用いられるが、破断と同時に所定の温度に昇温された水が給水されるよう弁が切り替る。また、蒸気放出系統も破断と同時に、定常時の圧力を一定に保っていた系統から、破断後の系統に切り替る。

実験は実炉の定常運転時と同じ圧力、温度の状態から開始する。LOCA を模擬するための配管破断位置、破断形状および ECC 水の注入条件、位置は各実験ごとに可変である。また、炉心断面内発熱分布には多少の選択の余地がある。なお、燃料棒軸方向発熱分布は階段状チョップトコサイン分布である。

### 2.2 RUN 703 実験

#### 2.2.1 実験条件

RUN 703 実験は再循環ポンプ吸込側配管両端破断実験である。各実験条件をまとめたものを表 2.1 に示す。

炉心半径方向出力分布は一様である。燃料棒の軸方向発熱分布は図 2.3 に示す階段状チョップトコサイン分布であって、実炉燃料棒の発熱分布を模擬したものである。放出実験開始後の炉心内全熱量は崩壊熱、遅発性中性子および実炉燃料棒内蓄積熱の影響から決まる発熱時間変化曲線に従って制御する。図 2.4 はこの発熱時間変化曲線である。なお、ROSA III では実炉との対応上定格時において 9 MW の出力が必要であるが、ROSA III の電源装置の制約から RUN 703 実験の最大出力は 3.73 MW である。従って、理想上の出力が 3.73 MW に下がる 11.5 秒以前は図のように一定値 3.73 MW に保っている。健全側、破断側の両再循環ポンプは配管破断と同時に電源を切り回転数制御は行なわない。破断口には口径 26.2 mm の薄刃オリフィスを用いる。このオリフィスの流路面積は再循環ポンプ吸込側配管流路面積の 1/424 になっている。

ECCS (Emergency Core Cooling System) には HPCS (High Pressure Core Spray), LPCS (Low Pressure Core Spray), LPCI (Low Pressure Coolant Injection) と ADS (Automatic Depressurization System) の 4 系統を用いる。HPCS, LPCS, LPCI の各注入位置は上部プレナムである。注入水温度は室温である。また、注入はそれぞれポンプ HPCSP, LPCSP, LPCIP によって行なう。HPCS の流量は圧力容器内圧力の関数として表 2.1 中に示すように与える。注入は破断実験開始27秒後に始める。LPCS は圧力容器内圧力が 2.16 MPa 以下になった時点から一定流量  $58 \ell/\text{min}$  で注入する。LPCI は LPCS の注入開始後更に13秒経過した時点から一定流量  $230 \ell/\text{min}$  で注入する。ADS は破断実験開始後 120 秒で弁を開いて蒸気放出を行なわせて作動させ、600 秒で弁を閉じて作動を終了させる。

### 2.2.2 実験手順

放出実験初期条件達成後約30分の定常運転後に配管破断を模擬する破断装置の破裂板を破り冷却材を流出させることにより開始する。実験開始後のバルブ開閉などの諸操作、予かじめ定められた設定時刻に従い自動的に行なう。RUN 703 の場合の各操作機器の設定時刻および動作は表 2.2 に示したとおりであり、これを整理すると表 2.3 のようになる。給水弁に閉信号を送るのが破断後 2 秒、蒸気放出弁へは 3 秒である。これは給水量および蒸気放出量についての北口らの解析結果<sup>(2)</sup>を参考にし、それぞれの弁が閉信号を受けた後完全にしまりきるのに約 2 秒かかることがより決められた。

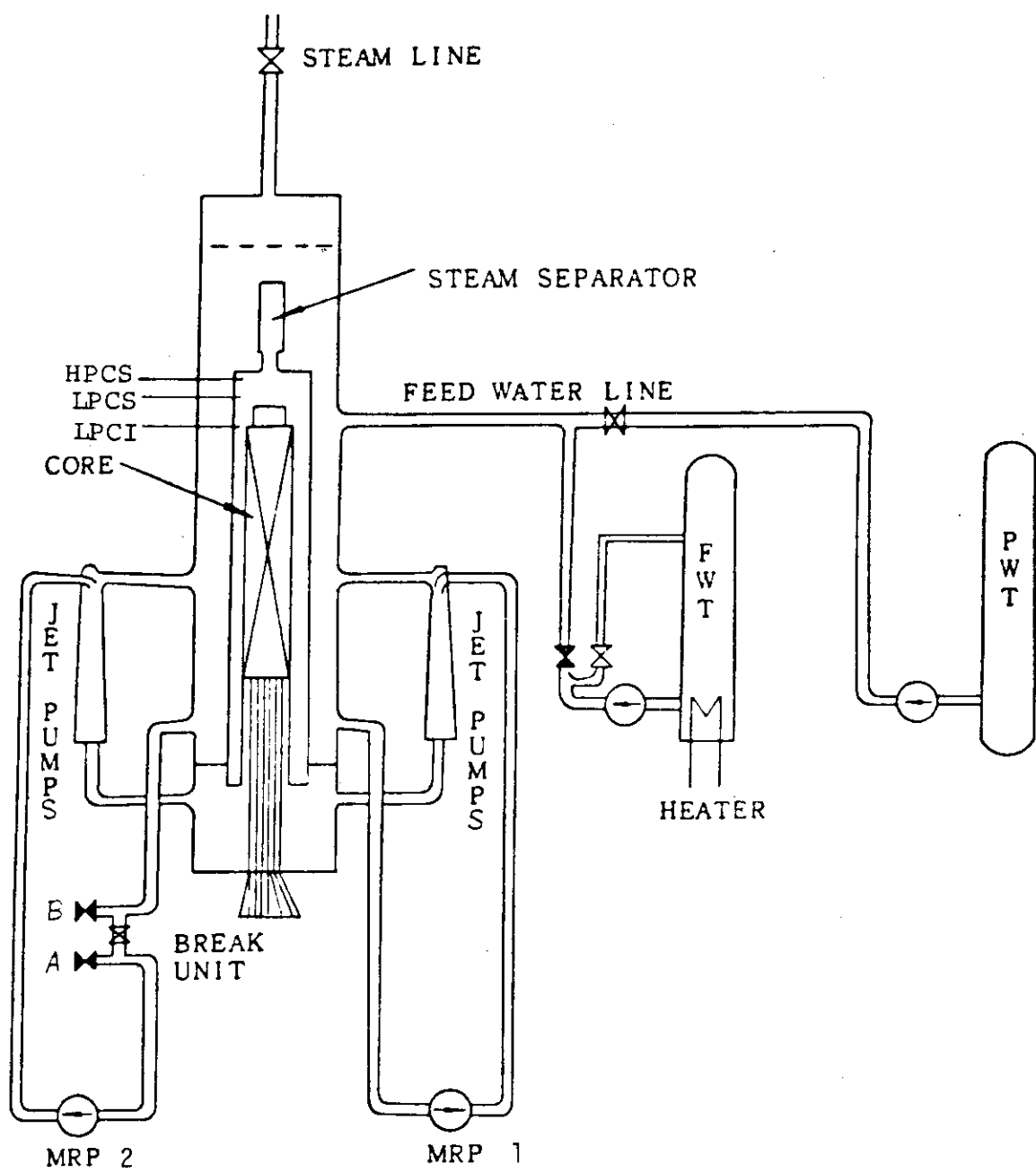


Fig. 2.1 Schematic Drawing of ROSA III Test Facility

JAERI-M 8300

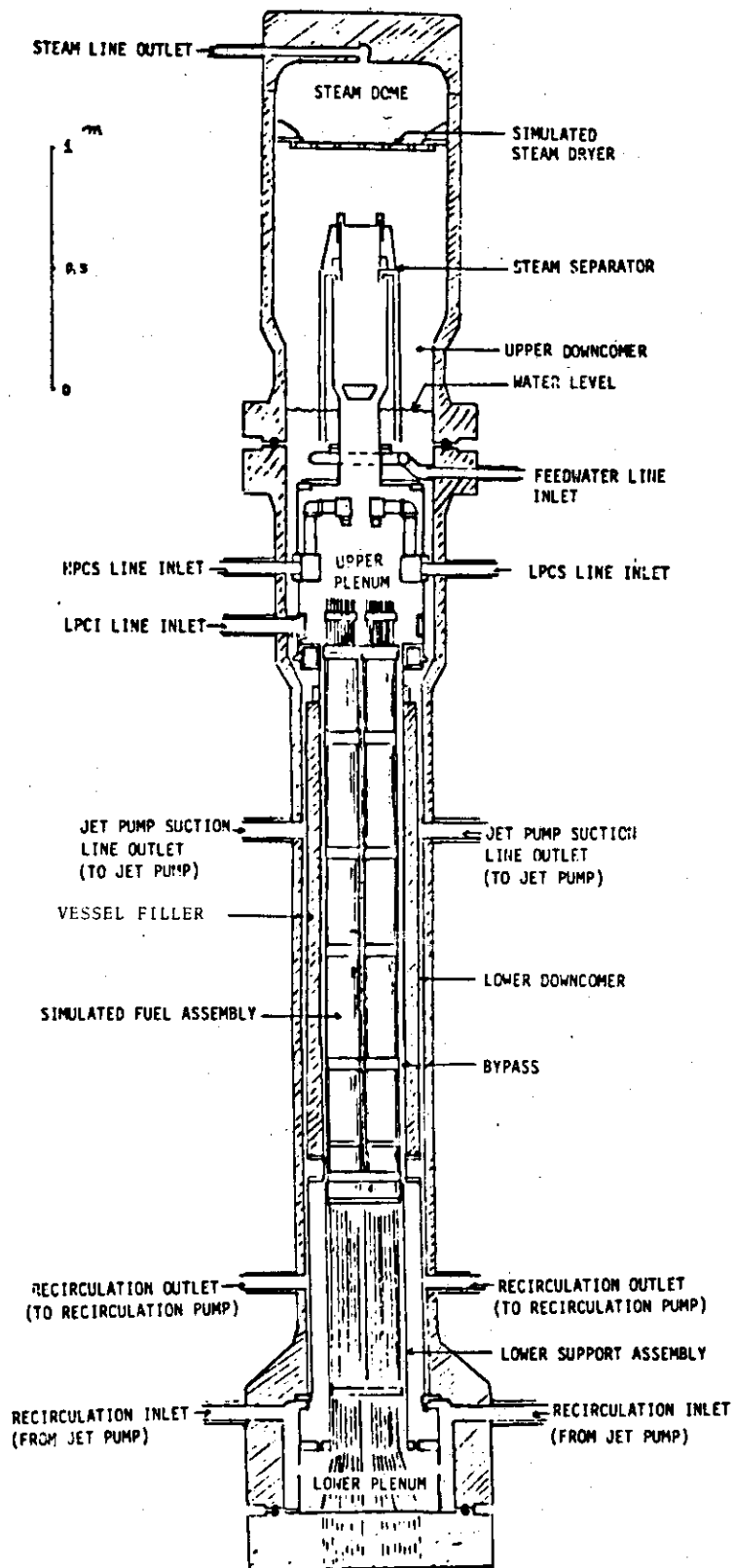


Fig. 2.2 Pressure Vessel of ROSA III

Table 2.1 Specified Experiment Conditions of RUN 703 and Used Conditions in Analysis

	Specified Experiment Conditions of RUN 703	Experiment Condition Used in Analysis
Break Conditions		
Location	Recirculation Pump Suction Line	Recirculation Pump Suction Line
Break Area	$5.389 \times 10^{-4} \text{ m}^2$	$3.589 \times 10^{-4} \text{ m}^2$
System Conditions		
Steam Dome Pressure	7.16 MPa (72 kg/cm <sup>2</sup> )	7.22 MPa (72.7 kg/cm <sup>2</sup> )
Steam Dome Temperature	287 °C	288 °C
Flowrate at Core Inlet	$36.4 \text{ kg/c m /s}$ *1	$36.7 \text{ kg/s m /s}$
Broken Loop Flowrate	$7.8 \times 10^{-3} \text{ m}^3/\text{s}$ *1	$7.7 \times 10^{-3} \text{ m}^3/\text{s}$
Intact Loop Flowrate	$7.8 \times 10^{-3} \text{ m}^3/\text{s}$ *1	$7.8 \times 10^{-3} \text{ m}^3/\text{s}$
Initial Core Power	3.73 MW	3.73 MW
Water Level in Pressure Vessel	4.62 m	4.62 m
Feed Water Condition		
Pressure	7.46 MPa (75.0 kg/cm <sup>2</sup> )	7.40 MPa (75.5 kg/cm <sup>2</sup> )
Temperature	205 °C	205 °C
Injection Flowrate	$2.41 \times 10^{-3} \text{ m}^3/\text{s}$ (2.07 kg/s)	$2.41 \times 10^{-3} \text{ m}^3/\text{s}$ (2.07 kg/s)
Steam Discharge Condition		
Discharge Flowrate	2.07 kg/s	2.07 kg/s
Discharge Line Orifice Diameter	20.0 mm	20.0 mm

Table 2.1 Specified Experiment Conditions of RUN 307 and Used Conditions in Analysis (Cont'd)

ECCS Conditions	Specified Experiment Conditions or RUN 703	Experiment Condition Used in Analysis
HPCS		
Initiation	27 sec after Break	27 sec after Break
Coolant Temperature	20 °C	Function of Pressure in Vessel
Injection Flow rate	Function of Pressure in Vessel 13.7 l/min at 8.00 MPa 58 l/min at 0.945 MPa	15.0 l/min at 7 MPa 65.7 l/min at 3 MPa *2 Upper Plenum
Injection Location	Upper Plenum	
LPCS		
Initiation	Pressure in Vessel at 2.16 MPa (21 kg/cm <sup>2</sup> g)	Pressure in Vessel at 2.16 MPa (21 kg/cm <sup>2</sup> g)
Coolant Temperature	Room Temperature	20°C
Injection Flowrate	58 l/min	Function of Pressure in Vessel
Injection Location	Upper Plenum	40.0 l/min at 2.1 MPa 52.0 l/min at 0.3 MPa *3 Upper Plenum
LPCI		
Initiation	Pressure in Vessel at 2.16 MPa (21 kg/cm <sup>2</sup> g)	Pressure in Vessel at 2.16 MPa (21 kg/cm <sup>2</sup> g) with 13 sec delay
Coolant Temperature	Room Temperature	20 °C
Injection Flowrate	230 l/min	Function of Pressure in Vessel
Injection Location	Upper Plenum	190 l/min at 1.5 MPa 238 l/min at 0.5 MPa *4 Upper Plenum

Table 2.1 Specified Experiment Conditions of RUN 703 and used Conditions in Analysis (Cont'd)

	Specified Experiment Condition of RUN 703	Experiment Condition Used in Analysis
ADS Condition		
Open	120 sec after Break	120 sec after Break
Close	600 sec after Break	600 sec after Break
ADS Line Orifice Diameter	6.0 mm	6.0 mm

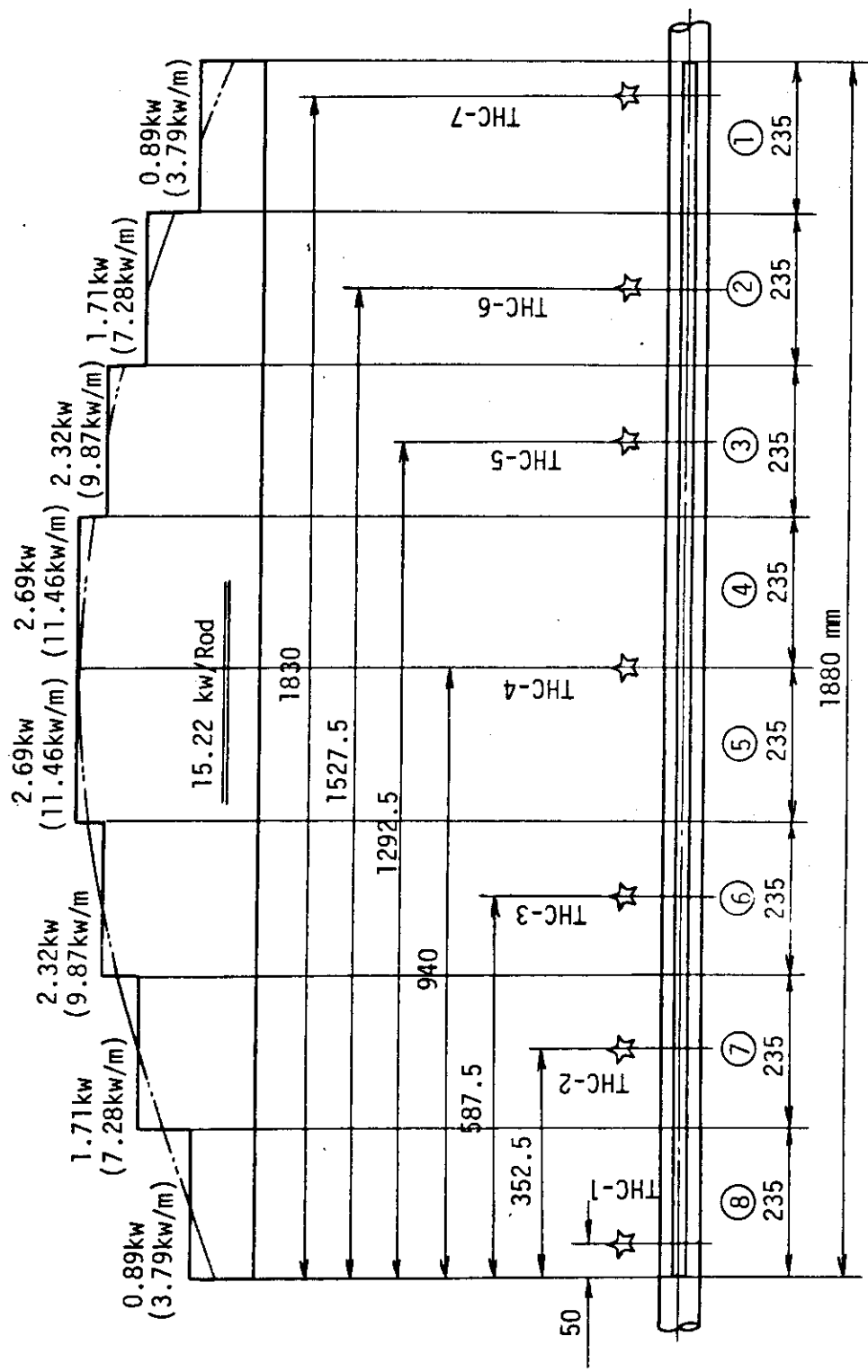
## Note

\*1 : supposed value, adjusted to obtain specified core inlet flowrate.

\*2 : based on pump performance data of RUN 701

\*3 : based on pump performance data of RUN 701

\*4 : based on pump performance data of RUN 701



\* indicates position of thermocouple.

Fig. 2.3 Axial Power Distribution of Heater Rod

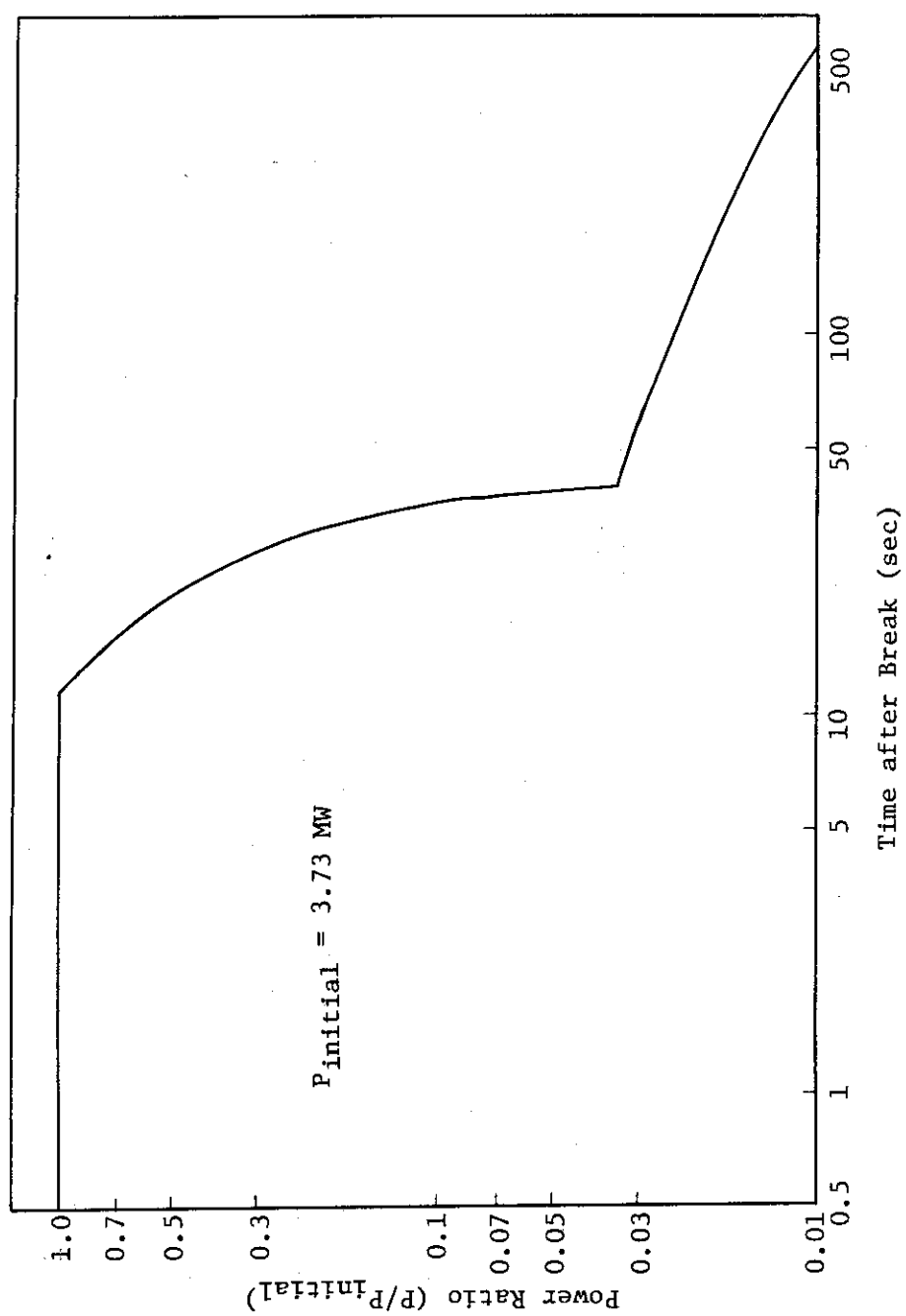


Fig. 2.4 Power Transient

**JAERI-M 8300**

Table 2.2 Primary Timer Setting for RUN 703

Time Index	Item	Signal	Set Time	Sequential Time after Break
T2*	Break of rupture disc	break	0.0*	= 0.0
T1	Quick shut off valve	close	0.0	- 0.0
T3	Intact loop recirculation pump control	on	0.0	T2+T1+T3 = 0.0
T4	Broken loop recirculation pump control	on	0.0	T2+T1+T4 = 0.0
T5	Power supply to intact loop pump	off	0.0	T2+T1+T3+T5 = 0.0
T6	Power supply to broken loop pump	off	0.0	T2+T1+T4+T6 = 0.0
T10	HPCS initiation	on	27.0	T2+T10 = 27.0
T11	ADS valve	open	93.0	T2+T10+T11 = 120
T12	ADS valve	close	480	T2+T10+T11+T12 = 600
T13	Steady state steam discharge valve	close	0.0	T2+T13 = 0.0
	Transient steam discharge valve	open	0.0	T2+T13 = 0.0
	Feed water pump	on	0.0	T2+T13 = 0.0
T14	Transient steam discharge valve	close	3.0	T2+T13+T14 = 3.0
T15	Feed water pump	off	2.0	T2+T13+T15 = 2.0
T16	LPCS injection	on	0.0	0.0 sec after low PV pressure at 2.16 MPa
T17	LPCI injection	on	13.0	13.0 sec after low PV pressure at 2.16 MPa

Table 2.3 Major Chronology after Break for RUN 703

Time after Break sec	Events
0.0	Breaks Initiate core power control <sup>(1)</sup> Terminate intact loop recirculation pump power <sup>(2)</sup> Terminate broken loop recirculation pump power <sup>(3)</sup> Steam discharge valve open <sup>(4)</sup> Start feed water pump <sup>(5)</sup>
2.0	Feed water pump stops
3.0	Steam discharge valve closes
27.0	HPCS initiates
$T_p$	Pressure in pressure vessel becomes 2.16 MPa (21 kg/cm <sup>2</sup> g) LPCS initiates
$T_p + 13$	LPCI initiates
120	ADS valve opens
600	ADS valve closes
900	End of data acquisition

## Notes:

- (1) Simulation of decay heat + delayed neutron effect + stored heat
- (2) Simple coast down.
- (3) Simple coast down.
- (4) Open for 3.0 sec after break.
- (5) Operate for 2.0 sec after break.

### 3. RELAP 4Jによる計算結果

計算に用いたコードは RELAP 4J である。RUN 702 実験の予測計算<sup>(6)</sup>の場合と同様、計算は2つの手順を踏んで行なった。はじめに炉心を1ボリュームとしてシステム全体の流動状態を計算した。次に、この結果を用いて炉心入口の条件を与える、炉心を5ボリューム、13ヒートスラブに分割して炉心解析を行ない、燃料棒表面温度を計算した。以下に、システム全体の解析に用いた入力データ、炉心解析に用いた入力データの順に述べる。

#### 3.1 システム全体の解析に用いた入力データ

RUN 702 実験の予測解析で用いたのと同一のノーディングを行ない、ROSAⅢを31ボリューム、50ジャンクション、41ヒートスラブで表わした。炉心は1ボリューム、1ヒートスラブである。図3.1にノーディングの構成を示す。図中、○で囲んだ数字はボリューム番号を、□で囲んだ数字はヒートスラブ番号を、無印の数字はジャンクション番号を表わす。なお、炉心はボリューム4、ヒートスラブ4 (V 4, Slab 4) である。表3.1～表3.3は各ボリューム、ジャンクション、ヒートスラブに対し説明を加えたものである。表中の番号は図3.1中の番号に対応している。ボリュームの分割方法、ジャンクションデータの決め方などについては続報で詳細に述べる予定である。なお、ボリューム29 (V 29) は、気水分離器 V6 で水だけを分離しそれをジャンクション34 (J 34) から V29 に流入させることを計算上可能にする目的で設けられた小さなボリュームである。本解析では簡単のため V 29, J 29, J 34 は用いなかった。

表3.4は入力データとして用いた各ボリュームの初期圧力、初期温度である。これらは実験の設定条件をもとに矛盾のない入力データ上のバランスがとれるように決定したものである。表3.5はジャンクションデータとして用いた流量、形状損失係数である。図3.2は解析で用いた破断後の給水流量である。これをフィルテープルにしてジャンクション45に適用した。図3.3は解析で用いた破断後の放出蒸気量である。これを負のフィルテープルとしてジャンクション47に適用した。RELAP 4J ではリークテーブルで流量を与えられないので、流量を与えることのできるフィルテープルで負の流量を与えて正のリーク量とし、放出流量を定めた。図3.2、図3.3で破断後0.1秒で定格流量となるようにしてあるのは、ROSAⅢでこの部分に取り付けられている弁は開信号を受けてから完全に開ききるのに0.1秒程度要することによる。同じ理由により、ジャンクション46の破断前蒸気放出口は破断後0.1秒で閉じるようにした。

破断後の炉心発熱量は図2.4に示してある時間変化曲線で与えた。

HPCS、LPCS、LPCI の各流量は図3.4に示すそれぞれの流量特性曲線を圧力対流量のフィルテープルにして与えた。図中2点鎖線はHPCSの、1点鎖線はLPCSの、実線はLPCIの流量特性曲線である。これらの特性曲線はRUN 703 実験とほぼ同一の実験条件で行なわれたRUN 701 実験で測定されたHPCS、LPCS、LPCI の各流量を圧力容器内圧力に対しプロットしたものである。実験での各注入条件は、表2.1に示すようであって、HPCSの流量は圧力容器内圧力の関数として、LPCSとLPCIの流量は一定流量として実験条件を設定する。しかし、

各ポンプの特性との関係から流量特性は図3.4のようになっている。従って、本解析ではHPCS, LPCS, LPCIの流量特性に図3.4を用いた。

RUN 703 実験の実験条件と本解析で用いた入力データとが表2.1で比較してある。両者間に多少の差異があるが、これは単位変換などの過程で生じたものであり、解析全体には大きな影響を与えない。

RUN 703 実験の実験結果予測計算に用いた全入力データリストを付録1に付けた。この入力データリストの単位はFt-Lb系である。

### 3.2 炉心解析に用いた入力データ

炉心解析では4つの燃料集合体チャンネルのうちの1つだけを考え、これを4つのスペーサを境界として5つのボリュームに分割した。入口ボリュームは炉心入口チャンバ（システム全体の解析のV3に対応）であり、出口ボリュームは上部プレナム（同V5に対応）である。これらの入口、出口ボリュームの時間とともに変化する流体条件には、システム全体の解析結果を用いる。模擬燃料棒はボリューム境界および発熱密度の違いに応じて13ヒートスラブに分割した。模擬ウォータロッド（タイロッド）およびチャンネルボックスの熱的影響は無視した。図3.5は炉心の分割状況を図示したもので、表3.6～表3.8はこの場合のボリューム、ジャンクション、ヒートスラブに対し説明を加えたものである。この炉心解析に用いたRELAP 4J入力データリストを付録2に付した。

### 3.3 RELAP 4J の主な特色

RELAP 4J<sup>(5)</sup>は日本原子力研究所においてRELAP 4 / Mod 2<sup>(8)</sup>に改良を加えた計算コードである。主な特色は次に示すようなものである。

- (1) Moody臨界流量<sup>(9)</sup>に対する放出係数C<sub>D</sub>に実験から定められたクオリティxの影響を加えた関係式

$$C_D = 0.57 + \frac{0.002}{x}$$

を用いることができる。

- (2) サブクール臨界流量にはZaloudeck<sup>(10)</sup>の結果を用い、飽和域のC<sub>D</sub>を付加したMoody臨界流量になめらかに接続する。
- (3) 高クオリティ域での臨界流量はMoody臨界流量と蒸気音速から決まる臨界流量のどちらか大きい方で与えることができる。これを適用するクオリティ域は入力で与えるが、x ≥ 0.8が推奨値である。
- (4) 気泡離脱速度にWilson<sup>(11)</sup>の実験式を用いることができる。
- (5) 気水分離モデルの適用は流動状態に応じて自動的に選択され、液位の形成がより現象に即している。

本解析では(1)の臨界流放出係数関係式は臨界流の起り得る可能性のある所、すなわち、破断ループ側ジェットポンプ駆動流ノズル(J 20, J 37), 健全ループ側ジェットポンプ駆動流ノズル(J 29, J 40), 破断前蒸気放出口(J 46), 破断後蒸気放出口(J 47), 圧力容器側破断口

**JAERI-M 8300**

(J 49), ポンプ側破断口 (J 50) に適用した。(4)の Wilson モデルは上部ヘッド (V 7), 蒸気ドーム (V 8), ダウンカマ (V 11), 上部ダウンカマ (V 28) に適用した。(3)については推奨値  $x \geq 0.8$  を用いた。

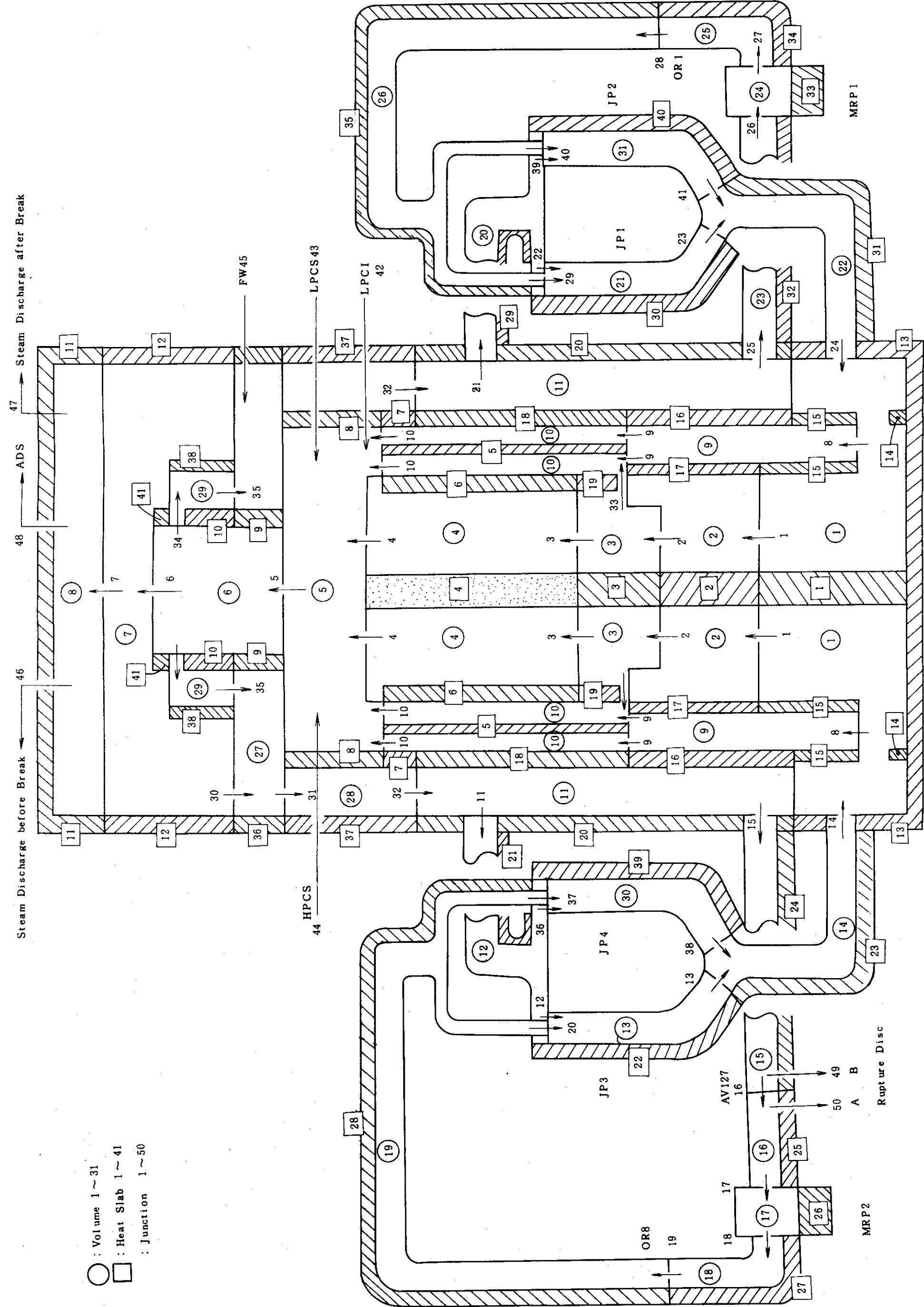


Fig. 3.1 Node Junction Representation of ROSA III

Table 3.1 Description of Volumes

Volume	Description
1	Lower plenum below tie grid
2	Lower plenum above tie grid
3	Core inlet chambers
4	Core
5	Upper plenum
6	Steam separator
7	Upper head
8	Steam dome
9	guide tube simulator
10	Bypass
11	Downcomer
12	Broken loop jet pump suction line
13	Broken loop jet pump 3
14	Broken loop jet pump discharge line
15	Broken loop recirculation pump suction line, vessel side
16	Broken loop recirculation pump suction line, pump side
17	Broken loop recirculation pump
18	Broken loop recirculation pump discharge line
19	Broken loop jet pump drive line
20	Intact loop jet pump suction line
21	Intact loop jet pump 1
22	Intact loop jet pump discharge line
23	Intact loop recirculation pump suction line
24	Intact loop recirculation pump
25	Intact loop recirculation pump discharge line
26	Intact loop jet pump drive line
27	Feed water inlet space
28	Upper downcomer
29	Steam separator downcomer (not used)
30	Broken loop jet pump 4
31	Intact loop jet pump 2

Table 3.2 Description of Junctions

Junction	from	to	Description
1	1	2	Lower plenum tie grid
2	2	3	Core inlet orifice
3	3	4	Lower tie plate
4	4	5	Upper tie plate
5	5	6	Steam separator inlet
6	6	7	Steam separator outlet
7	7	8	Steam dryer simulator
8	1	9	Guide tube simulator inlet
9	9	10	Bypass inlet
10	10	5	Bypass outlet
11	11	12	Outlet from downcomer to broken loop jet pump suction
12	12	13	Broken loop jet pump 3 suction
13	13	14	Broken loop jet pump 3 delivery
14	14	1	Broken loop recirculation flow inlet to lower plenum
15	11	15	Outlet from downcomer to broken loop recirculation pump
16	15	16	Quick shutoff valve
17	16	17	Broken loop recirculation pump suction
18	17	18	Broken loop recirculation pump delivery
19	18	19	Broken loop recirculation line flow resistance simulation orifice
20	19	13	Broken loop jet pump 3 drive nozzle
21	11	20	Outlet from downcomer to intact loop jet pump suction
22	20	21	Intact loop jet pump 1 suction
23	21	22	Intact loop jet pump 1 delivery
24	22	1	Intact loop recirculation flow inlet to lower plenum
25	11	23	Outlet from downcomer to intact loop recirculation pump
26	23	24	Intact loop recirculation pump suction
27	24	25	Intact loop recirculation pump delivery
28	25	26	Intact loop recirculation line flow resistance simulation orifice
29	26	21	Intact loop jet pump 1 drive nozzle
30	7	27	Upper head
31	27	28	Upper downcomer inlet
32	28	11	Downcomer inlet

Table 3.2 Description of Junctions (Contd.)

Junction	from	to	Description
33	3	10	Flow path from core inlet chamber to bypass
34	6	29	Steam separator outer cylinder inlet, (not used)
35	29	27	Steam separator outer cylinder outlet, (not used)
36	12	30	Broken loop jet pump 4 suction
37	19	30	Broken loop jet pump 4 drive nozzle
38	30	14	Broken loop jet pump 4 delivery
39	20	31	Intact loop jet pump 2 suction
40	26	31	Intact loop jet pump 2 drive nozzle
41	31	22	Intact loop jet pump 2 delivery
42	0	5	LPCI (not used)
43	0	5	LPCS (not used)
44	0	5	HPCS (not used)
45	0	27	Feed water inlet
46	8	0	Steam discharge before break
47	8	0	Steam discharge after break
48	8	0	ADS (not used)
49	15	0	Break plane vessel side
50	16	0	Break plane pump side

Table 3.3 Description of Heat Slabs

Heat slab	Description
1	Lead rods in lower plenum below tie grid
2	Lead rods in lower plenum above tie grid
3	Lead rods in core inlet chambers
4	Heater rods
5	Control rod simulator
6	Channel box wall
7	Upper downcomer wall between bypass and upper downcomer
8	Upper downcomer wall between upper plenum and upper downcomer
9	Steam separator wall below bottom of steam separator outer cylinder
10	Steam separator wall between steam separator and steam separator downcomer
11	Steam dome wall
12	Upper head wall
13	Lower plenum wall
14	Lower support structure in lower plenum below tie grid
15	Lower support structure between lower plenum below tie grid and guide tube simulator
16	Downcomer wall between downcomer and guide tube simulator
17	Lower support structure between guide tube simulator and lower plenum above tie grid
18	Downcomer wall between downcomer and bypass
19	Core inlet chamber wall
20	Vessel side downcomer wall
21	Broken loop jet pump suction line pipe wall
22	Broken loop jet pump 3 wall
23	Broken loop jet pump discharge line pipe wall
24	Vessel side broken loop recirculation pump suction line pipe wall
25	Pump side broken loop recirculation pump suction line pipe wall
26	Broken loop recirculation pump casing
27	Broken loop recirculation pump discharge line pipe wall
28	Broken loop jet pump drive line pipe wall
29	Intact loop jet pump suction line pipe wall
30	Intact loop jet pump 1 wall
31	Intact loop jet pump discharge line pipe wall

Table 3.3 Description of Heat Slabs (Contd.)

Heat slab	Description
32	Intact loop recirculation pump suction line pipe wall
33	Intact loop recirculation pump casing
34	Intact loop recirculation pump discharge line pipe wall
35	Intact loop jet pump drive line pipe wall
36	Feed water inlet space wall
37	Vessel side downcomer wall
38	Steam separator outer cylinder
39	Broken loop jet pump 4 wall
40	Intact loop jet pump 2 wall
41	Steam separator wall between steam separator and upperhead

Table 3.4 Initial Pressure and Temperature Distribution

Volume	Pressure MPa	Temperature °C
1	7.315	279.4
2	7.310	279.4
3	7.278	279.4
4	7.264	0.000436(1)
5	7.246	0.03739 (2)
6	7.236	0.03769 (3)
7*	7.227	0.0 (4)
8*	7.227	288.0 (5)
9	7.268	279.4
10	7.255	283.9
11*	7.243	279.4
12	7.218	278.9
13	7.350	279.4
14	7.317	279.4
15	7.239	278.9
16	7.198	278.9
17	8.107	279.4
18	8.998	280.0
19	8.951	280.0
20	7.218	278.9
21	7.346	279.4
22	7.318	279.4
23	7.232	278.9
24	8.159	279.4
25	9.032	280.0
26	8.995	280.0
27	7.229	279.5
28*	7.232	279.4
29*	7.235	0.0 (6)
30	7.350	279.4
31	7.346	279.4

\* : Mixture level was considered.

(1), (2), (3) : Quality in volume.

(4) : Quality below mixture level in volume.

(5) : Filled with only vapor.

(6) : This volume was not used.

Table 3.5 Initial Condition of Junction

Junction	Flowrate kg/s	K <sub>F</sub>	K <sub>R</sub>	K <sub>Residual</sub>
1	36.1	0.622	0.713	0.000318
2	36.1	1.19	1.31	0.0000162
3	34.7	0.958	0.958	-0.0453
4	34.7	1.04	1.01	0.762
5	36.6	1.06	1.08	0.0106
6	36.6	1.22	0.522	0.0130
7	1.38	1.66	1.66	0.00324
8	0.592	1.45	1.45	-0.000448
9	0.592	1.83	2.40	0.00140
10	1.96	1.08	0.640	0.00224
11	12.6	0.74	1.24	-0.287
12	6.28	2.09	1.76	-0.467
13	9.16	8.82	7.86	-4.42
14	18.3	1.75	1.25	-0.662
15	5.76	1.46	1.97	0.0312
16	5.76	6.52	6.52	0.00335
17	5.76	15.3	17.3	0.0181
18	5.76	1.13	1.16	0.00626
19	5.76	2.90	2.90	0.00191
20	2.88	0.0690	1.62	-0.0570
21	12.5	0.740	1.24	-0.261
22	6.24	2.09	1.76	-0.175
23	9.16	3.67	2.72	0.0626
24	18.3	1.75	1.25	-0.574
25	5.85	3.79	4.31	0.0471
26	5.85	2.88	2.49	0.00426
27	5.85	6.61	6.63	0.00365
28	5.85	0.960	0.960	-0.0170
29	2.93	0.0690	1.624	-0.0569
30	35.3	0.152	0.114	0.0779
31	36.6	0.278	0.328	-0.00450
32	36.6	0.328	0.519	0.000970
33	1.37	2.65	2.65	-0.00497
34	0.0	0.0	0.0	0.0 (1)
35	0.0	0.0	0.0	0.0 (2)
36	6.28	2.09	1.76	-0.467

Table 3.5 Initial Condition of Junction (Contd.)

Junction	Flowrate kg/s	$K_F$	$K_R$	$K_{\text{Residual}}$
37	2.88	0.0690	1.62	-0.0570
38	9.16	8.82	7.86	-4.42
39	6.24	2.09	1.76	-0.175
40	2.93	0.0690	1.62	-0.0569
41	9.16	3.67	2.72	-0.0626
42	0.0	0.0	0.0	0.0
43	0.0	0.0	0.0	0.0
44	0.0	0.0	0.0	0.0
45	0.0	0.0	0.0	0.0
46	1.38	35.0	35.0	0.0
47	0.0	0.0	0.0	0.0
48	0.0	117.0	117.0	0.0
49	0.0	1.70	1.70	0.0
50	0.0	1.74	1.74	0.0

(1), (2) These junctions were not used.

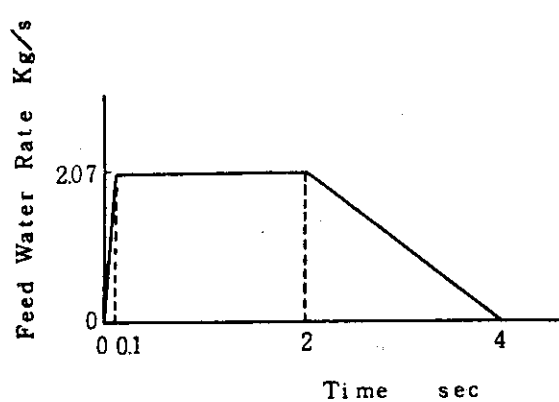


Fig. 3.2 Feed Water Rate Used  
in Analysis

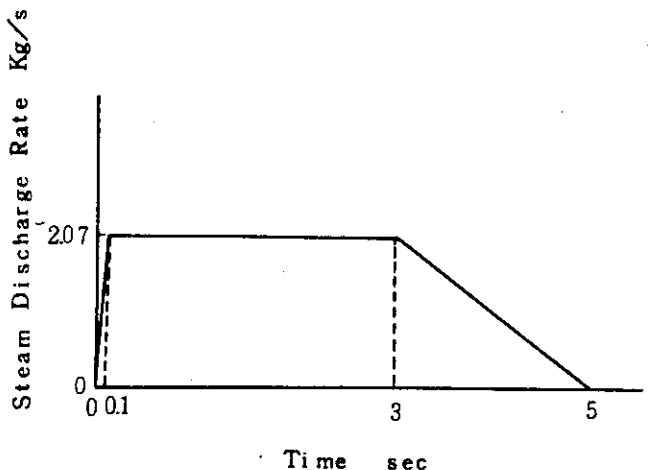


Fig. 3.3 Steam Discharge Rate Used  
in Analysis

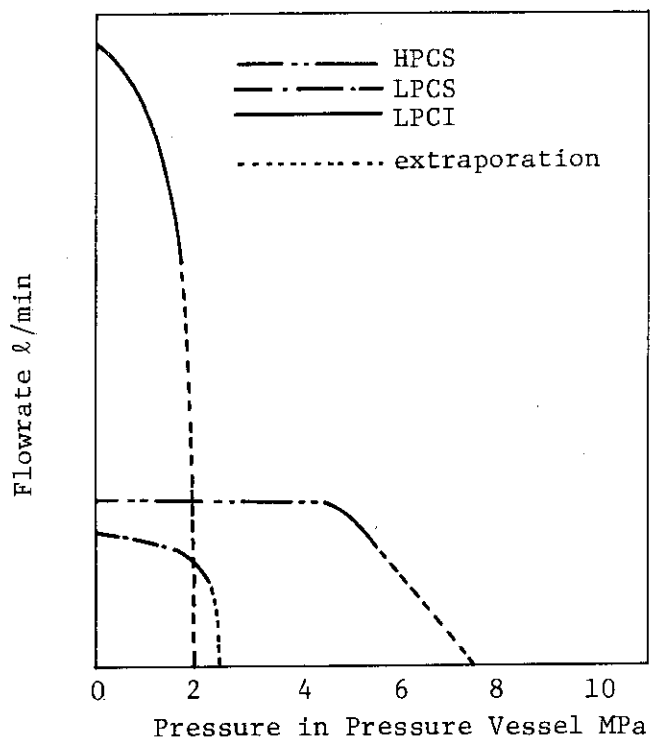


Fig. 3.4 Characteristics of ECCS Pumps

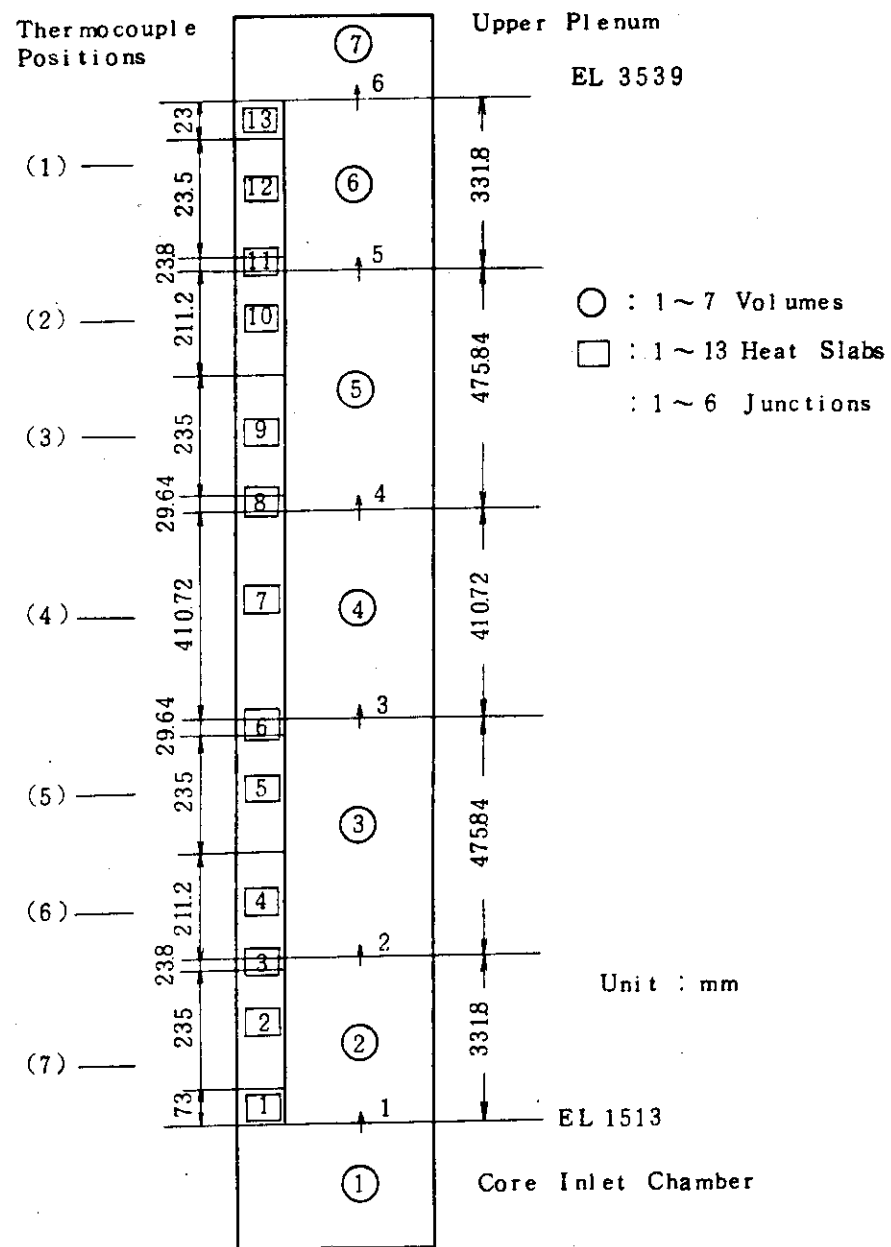


Fig. 3.5 Node and Junction in Core Analysis

Table 3.6 Description of Volumes in Core Analysis

Volume No.	Description
1	Core Inlet Chambers (Volume 3 in Table 3.1)
2	Core
3	Core
4	Core
5	Core
6	Core
7	Upper Plenum (Volume 5 in Table 3.1)

Table 3.7 Description of Junctions in Core Analysis

Junction No.	"From" Volume	"To" Volume	Description
1	1	2	Lower Tie Plate
2	2	3	Spacer
3	3	4	Spacer
4	4	5	Spacer
5	5	6	Spacer
6	6	7	Upper Tie Plate

Table 3.8 Description of Heat Slabs in Core Analysis

Heat Slab No.	Volume in Contact	Description	Power Fraction Density [1/m]
1	2	Heater Rods	0.0
2	2	Heater Rods	0.248
3	2	Heater Rods	0.478
4	3	Heater Rods	0.478
5	3	Heater Rods	0.649
6	3	Heater Rods	0.753
7	4	Heater Rods	0.753
8	5	Heater Rods	0.753
9	5	Heater Rods	0.649
10	5	Heater Rods	0.478
11	6	Heater Rods	0.478
12	6	Heater Rods	0.248
13	6	Heater Rods	0.0

## 4. 計算結果とその考察

### 4.1 計算で予測した諸事象

計算で予測した破断後の諸事象を時間に対して整理したものが表 4.1 である。

炉心発熱量は破断と同時に発熱時間変化曲線に従って変化する。健全側、破断側両再循環ポンプの電源は切られ、ポンプはコーストダウン状態となる。また、蒸気放出弁、給水弁は定常時用が閉じられ、破断後用が開かれる。この破断後用の蒸気放出弁、給水弁は 2 秒後、3 秒後に閉じはじめ、2 秒間で完全に閉じる。HPCS は 27 秒に作動を開始し、ADS 弁は 120 秒後に開く、以上は入力データとして与えたとおりである。

ポンプ側破断口では破断直後に二相流放出状態となる。破断ループ側ジュットポンプの吐出流、吸込流が逆流となるのは破断直後の 0.8 秒である。圧力容器側の破断口から未飽和水の放出が終了するのは破断後 3.2 秒である。ダウンカマ内の液位がジェットポンプの吸込側に通じているダウンカマ出口ノズルの上端に達するのは破断後 8.5 秒である。健全ループ側のジェットポンプ吸込流は破断後 8.5 秒で逆流に転じ、吐出流も 10.5 秒で逆流となる。下部プレナムフラッシングは 11.2 秒で発生する。<sup>\*</sup> ダウンカマ内液位が再循環ポンプの吸込側に通じるダウンカマ出口ノズル上端に達するのは破断後 12.0 秒である。HPCS は入力で与えた破断後 27.0 秒で作動を開始している。LPCS は圧力が 2.16 MPa (入力で与えている。) に減少した破断後 53.9 秒で作動を開始している。LPCI はその 13 秒後 (入力で与えている。) に作動を開始している。ポンプ側破断口では 61.0 秒までは 2 相流放出状態で、その後蒸気単相放出状態となり、79.0 秒で再び 2 相流出状態に戻る。また圧力容器側破断口では 73.9 秒後に蒸気単相放出状態となり、78.1 秒で 2 相流放出状態に戻る。計算は 152.9 秒で終了させた。燃料棒表面は最も長い期間のもので破断後 9 秒から 33 秒までドライアウト状態にあり、表面温度の最高値は 500 °C である。

### 4.2 計算結果

ROSA III の計測点は 250 点あり、それらは圧力、流体温度、差圧、構造物温度、燃料棒表面温度、流量、密度、ポンプ回転数などである。このうちの殆どの測定値に対応して予測計算結果を得た。表 4.2 は実験での測定量、測定位置と、それに対応する計算値および計算結果を示した図 4.1 ~ 図 4.72 の図番をまとめたものである。表 4.3 は表 4.2 で示した以外に重要な計算結果、図 4.73 ~ 図 4.121、を図番とともに示したものである。これらは、技術上有るいは装置上の制約から現在実験では測定できないが、現象の解釈には貴重な資料となる。

以下で各計算結果に対し検討を加える。4.2.1 ~ 4.2.9 節は実験データとの対応を考え表 4.2 で示した計算結果について主に述べる。4.2.10 節では表 4.3 で示した計算結果について述べる。

---

\* 本報で下部プレナムと呼んでいるのは図 3.1 に示すボリューム 1 のことである。

#### 4.2.1 圧力、差圧

図4.1～図4.12は圧力の計算結果、図4.13～図4.23は差圧の計算結果である。差圧の計算結果は、実験で差圧計のとりつけられている箇所に対応するボリュームの圧力計算結果の差をとることにより求めた。

破断管路以外の圧力、図4.1～4.4、図4.7、図4.10、図4.11はそれぞれ一様な時間変化を示している。破断後3.8秒までは急減し、その後一時回復して、ゆるやかに減少していく、3.8秒以後の圧力の一時的回復は、蒸気放出弁が閉じていくために、エンタルピ流出量が炉心内発熱量より小さくなることによる。図4.1に示す下部プレナム圧力と、図4.39、図4.99に示す流体温度とクオリティから、下部プレナムフラッシングは破断後11.2秒で開始することがわかる。

図4.8、図4.9、図4.23は破断ループ再循環ポンプ前後の圧力、差圧である。ポンプが大きな抵抗になっていると言え、図4.38のポンプの回転数から明らかなように、ポンプが逆回転に移る6秒以前はその度合はかなり大きい。図4.19、図4.21は破断ループジェットポンプの吐出側と吸込側の差圧であり、図4.20は駆動流側と吸込側間の差圧である。図4.32、図4.78、図4.80はそれぞれ破断ループジェットポンプの吐出、吸込み、駆動流の流量であるが、これらからわかるように破断ループ側ジェットポンプでは破断後ただちに逆流となり、吐出側から駆動流ノズルの流れと吐出側から吸込側への流れとを生じる。それ故、図4.19と図4.21の吐出側と吸込側の差圧は破断後も正の値を保つ。図4.20より、吸込側と駆動流側との間に大きな圧力差が生じていることがわかる。図4.19、図4.21からわかるように吐出側の圧力(AP V13)と吸込側の圧力(AP V12)とはそれほど大きな差ではなく、従って、図4.20に示す差圧はジェットポンプ駆動ノズル側と吐出側との圧力差と見てもさしつかえない。この差圧と図4.25のポンプでの差圧、図4.8のポンプ側破断ロオリフィスの上流側圧力(オリフィス前後の差圧に相当)より、破断ループ側の駆動流ラインを通って流出していく流れでは、駆動流ノズル、ポンプ、破断口オリフィス位置が大きな抵抗になっていることがわかる。なお、駆動流ノズル位置では、破断後18秒から102秒まで流れは臨界流状態であった。図4.10で12秒付近から計算結果に細かい振動が見られるが、これは図4.114に示すようにダウンカマ内液位が再循環ポンプへ通じるダウンカマ出口ノズルの位置まで下がったことによる。

図4.13は下部プレナムと上部プレナム間の圧力差である。この圧力差は初めの数秒間を除いてほぼこれらの間の水頭に対応している。40秒程度まで下部プレナムより上にかなり水が残っていることを示している。また、60秒付近から再び蓄水していくことを示している。差圧に見られる激しい振動は、計算上の各ボリューム内圧力が流体の質量移動に伴って変化するために生じるもので、ボリューム間の圧力差で定義した差圧の場合には誇張されて現われる。図4.15は下部プレナムと蒸気ドーム間の差圧であり、図4.13に示した下部プレナムと上部プレナム間の差圧と同様のことが言える。

図4.16～図4.18、図4.22は健全側ループの各差圧である。健全側ループのポンプ入口からジェットポンプ駆動流ノズルまではほぼ正流が維持されていることがわかる。図4.22はポンプ前後の差圧で、ほぼポンプヘッドに対応する。この値は7.5秒～9.5秒付近で不規則な変動をしている。ボイドの発生する以前であり、これはポンプ特性曲線の不備に起因していると考えられる。それ以後、振動的に減少しそれぞれに漸近する。これは、ポンプは破断後自由コーストダウンで

あること、およびダウンカマ液位がポンプ吸込口へ通じるダウンカマ出口ノズル上端に達しそれ以後蒸気が吸出され始め、ポンプ吸込側の流体の蒸気含有率が上昇しポンプ機能が低下したことによる。このことは図 4.38 に示すポンプ回転数および図 4.111 に示す再循環ポンプ吸込側クオリティからも容易に理解されよう。

#### 4.2.2 流量

図 4.24 は主蒸気管からの蒸気放出量である。この流量は、破断後 3 秒間は一定流量  $2.07 \text{ kg/s}$ 、5 秒後にゼロとなるように入力で与えている。RELAP 4J では Leak Table で流量を与えることができない。それゆえ、流量を与えることができる Fill Table で負の流量を与え、放出量を決めた。

図 4.25 は ADS の流量である。120 秒で ADS は作動開始しているが、これは入力で与えている。

図 4.26～図 4.28 は ECCS の HPCS, LPCS, LPCI の各流量である。作動開始時刻はそれぞれ、27.0 秒、53.9 秒、66.9 秒である。作動開始は、HPCS は時刻で、LPCS は圧力で、LPCI は LPCS 作動後の時間で与えている。

図 4.29 は給水流量である。入力データで破断後 2 秒間は一定流量  $2.07 \text{ kg/s}$ 、4 秒後にはゼロとなるように与えている。

図 4.30, 図 4.31 は健全ループ側ジェットポンプの各流量で、図 4.34 は 2 つのジェットポンプの合計の吐出流量である。流れは 10.5 秒で逆流に転じている。これは図 4.114 に示すようにダウンカマ内の水位が 8.5 秒でジェットポンプへ通じるダウンカマ出口ノズル上端に達し、その後このノズルが蒸気相中に露出したことによる。これ以後は図 4.82 に示す健全ループ側ジェットポンプ吸込流量および図 4.84 に示す健全ループ側ジェットポンプ吐出流量から明らかなように、ジェットポンプはポンプとしては機能しなくなり、吐出側から吸込側への流れと、駆動側から吸込側への流れが生じる。

図 4.32, 図 4.33 は破断ループ側ジェットポンプ吐出流量を、図 4.35 は 2 つのジェットポンプ吐出流量の和を示したものである。図 4.78, 図 4.80 に示す吸込側流量、駆動側流量からもわかるように、流れは破断後すぐに逆流となり、吐出側から駆動流ノズルを通って破断口から流出する流れと、ダウンカマへの流れとが形成される。その後全期間を通じて逆流であり正流に戻ることはない。

図 4.36 はポンプ側破断口からの流出流量である。図 4.98 はこの位置におけるクオリティである。破断後 61.0 秒から 79.0 秒までの流れは蒸気単相の状態であり、その後 ECC 水が流れ出すようになり、二相流放出状態にもどる。

#### 4.2.3 炉心発熱量

図 4.37 は炉心発熱量を初期発熱量  $3.74 \text{ MW}$  で無次元化した発熱量時間変化曲線であって、入力データとして与えている。

#### 4.2.4 ポンプ回転数

図4.38は健全、破断両ループの再循環ポンプの回転数を示したものである。本解析で用いた特性曲線は、ROSAⅢ実験装置で用いている再循環ポンプの特性試験結果に、一部推定値を加えて求めたものである。従って必ずしも精度の高いポンプ特性曲線でないことを注意したい。たとえば、図4.22、図4.84の健全ループ側ジェットポンプ吐出、吸込間の差圧、駆動流量が、ダウンカマ液位がジェットポンプサクションへのノズル位置に到達する(8.5秒)以前の7.5秒から12秒にかけて不規則な変化を示しているのは、ポンプ特性曲線の不満によるものであろう。健全ループ側のポンプは破断後も正回転であるが、破断ループ側のポンプは破断後6秒で逆回転となる。これは、ポンプ側の破断口に向って流れが逆流しているためである。

#### 4.2.5 流体温度

図4.39～図4.56は流体温度の計算結果である。図中、TS(○印)とあるのは、飽和温度である。

図4.39は下部プレナム流体温度である。図4.99の下部プレナムクオリティからも明らかなように、破断後11.2秒までは未飽和状態、それ以後は飽和状態となる。従って下部プレナムフラッシングは破断後11.2秒で開始している。ECC水の下部プレナムにおける蓄水効果が顕著となるのは、LPCI作動開始後の76.8秒以後である。(図4.99のボリューム1内クオリティ、図4.123のボリューム1内保有水量参照)

図4.40は上部プレナムの流体温度である。破断後、飽和温度に沿って変化し、76.5秒でECC水のため、未飽和水となっている。

図4.41は蒸気ドームの流体温度である。

図4.42は上部ダウンカマ内流体温度である。このボリュームには液位形成モデルが適用されている。破断後、3.8秒から飽和温度に沿って振動的に変化する。これは、図4.96に示すダウンカマ入口クオリティ、すなわち上部ダウンカマの出口クオリティ、図4.113に示す上部ダウンカマ内クオリティおよび図4.115に示す上部ダウンカマ内液位から明らかなように、計算の過程でボリューム内に液位の形成と消滅が繰り返されるためである。このボリュームの下に連なるダウンカマV11にも同様に液位形成モデルを適用しているが、この2つの縦に連なるボリューム内にそれぞれ液位が計算上できる。(図4.104のダウンカマ内クオリティおよび図4.114のダウンカマ内液位参照のこと。) RELA 4Jではこの2つのボリューム内の液位を1つの液位にすることできず、上記のような計算結果となる。従って、縦に連なるボリューム内にそれぞれ液位形成モデルを適用する場合には注意が必要である。

図4.43はダウンカマ内流体温度である。破断後7秒で飽和温度になった後は、飽和温度に沿って変化する。

図4.44、図4.46、図4.47、図4.50、図4.51、図4.55は健全ループ管路内および健全ループジェットポンプ内の流体温度である。ジェットポンプの吐出側流体温度図4.46、図4.47、図4.55は、破断後系が飽和に達した後は、全期間を通じ飽和温度である。これは、ジェットポンプ吸込側配管露出まではダウンカマから、それ以後は下部プレナムから飽和流体が流入してくるためである。図4.44、図4.50、図4.51の下部プレナムからジェットポンプまでの再循環管路

内の流体温度は、71秒から78秒にかけて一時期過熱蒸気温度を示している。ダウンカマから健全ループ側再循環ポンプへの流れは破断後15秒ほどで逆流となるのに対し、ジェットポンプ駆動ノズル位置では、78秒付近まで正流が保たれる。（図4.84のジェットポンプ駆動流量参照。）従ってこの管路内の流体はしだいに停滯し蒸気で満たされるようになり、周囲構造物の影響を受けて過熱蒸気となる。その後、ジェットポンプ駆動ノズル位置も逆流となりダウンカマからの飽和二相流体が流入してくるため、飽和温度に戻る。

図4.45は破断ループジェットポンプの駆動流ノズル流体温度、図4.48、図4.49は破断ループジェットポンプ吐出側流体温度、図4.52は破断ループ再循環ポンプ吸込側流体温度、図4.53は破断ループ吐出側流体温度、図4.56は破断ループジェットポンプ出口流体温度である。図4.48、図4.49、図4.56と図4.45、図4.52、図4.53とは異なった温度変化を示しているが、これは駆動流ノズルで流れは臨界状態となっており、ここで大きな圧力降下があるためである。図4.48、図4.49において、62秒から71秒にかけて一時期過熱蒸気温度となる。この時期、図4.32、図4.78、図4.80の破断ループ側ジェットポンプの吐出、吸込、駆動の各流量から分るように、ジェットポンプ内流れは停滯し、蒸気で満たされるようになり（図4.105のジェットポンプ内クオリティ参照）、周囲構造物の影響を受けて過熱蒸気となる。

図4.54は圧力容器側破断口のある管路内の流体温度である。破断口では破断後0.5秒以前に流れは臨界流状態となり破断口オリフィス前後の圧力差に比べ管路内圧力損失は無視しうるほどの大きさで、この管路内圧力はほぼ圧力容器内の圧力に近い変化をし、温度変化も同様の傾向を示す。14秒以降振動的変化を示すが、これはダウンカマ内の二相液位の変動に伴いダウンカマから蒸気一水二相流と蒸気単相流とが交互に流出するためである。また、73秒から78秒にかけて過熱蒸気となっているのはダウンカマ内の液位が下がり、再循環ポンプへのダウンカマ出口ノズルが蒸気中に露出し、蒸気のみが流入してくるようになって、周囲構造物の影響を受けて過熱蒸気となるためである。その後、ECC水の影響を受けて流れは飽和二相流に戻る。

#### 4.2.6 ROSAⅢ構造物温度

ROSAⅢ構造物の表面温度を図4.57～図4.61に示す。

図4.57は圧力容器内つめ物の炉心バイパス側表面温度、図4.58はこのつめ物のダウンカマ側の表面温度である。80秒付近までは相互の差はほとんどなく、温度降下も小さいが、ECC水のバイパスへの流入が顕著となる80秒以降ではバイパス側の表面温度は大きく降下する。なお、ROSAⅢ実験装置のつめ物は断面が弓型の筒状の物で内部に空気が入っているが、RELAP 4Jの計算では一枚の金属板として扱った。

図4.59～図4.61は圧力容器の上部ダウンカマ、ダウンカマ、下部プレナム部の内壁面温度である。全期間を通しての温度の降下はかなり小さい。厚さの幾分薄いダウンカマ側壁は他に比してやや冷える速度がはやい。

#### 4.2.7 燃料棒表面温度

燃料棒表面温度の計算結果を図4.62～図4.68に示す。これは3.2節で述べた炉心解析の計算結果である。ROSAⅢでは炉心内半径方向および縦方向の炉心内温度分布が得られるように14本

の燃料棒に総計68個の熱電対が取り付けられている。しかし、本解析で用いた計算モデルでは炉心半径方向の温度分布を一様と仮定したので、同一高さでの各燃料棒間の表面温度の差は求められない。図中、丸で囲まれた数字は RELAP 4J での下に示す熱伝達様式を示している。

- 1 : Subcooled liquid forced convection, Dittus and Boelter equation,
- 2 : Nucleate boiling, Thom equation,
- 3 : Forced convection vaporization, Schrock and Grossman equation,
- 4 : Transition boiling, McDonough, Milich and King equation,
- 5 : Stable flow film boiling, Groeneveld equation,
- 6 : Pool film boiling, Berenson equation,
- 7 : Transition pool boiling,
- 8 : Superheated steam forced convection, Dittus and Boelter equation,
- 9 : Low pressure flow film boiling, Dougall and Rohsenow equation.

なお、4, 5, 6, 7 は伝熱面ドライアウト後 (Post CHFC) の熱伝達様式である。

燃料棒表面温度の最高値は図 4.65 に示す発熱量の最も高い燃料棒中位（ポジション 4, 図 3.5 参照）で 500 °C である。また、燃料棒表面がドライアウトする期間は、この位置が最も長く、約 9 秒から 33 秒まで続く。このドライアウト発生時刻は健全ループジェットポンプの機能低下、ジェットポンプ吸込側配管露出（図 4.34 の健全ループ側ジェットポンプ出口流量、図 4.114 のダウンカマ水位参照）の 8.5 秒に対応している。また、下部プレナムフラッシング発生（11.2 秒）によって rewet していない。rewet は HPCS 作動（27 秒）後、数秒後である。図 4.116～図 4.120 は図 4.62～図 4.68 の燃料棒表面温度計算位置に対応するボリューム内クオリティである。燃料棒がドライアウトしている期間のクオリティは 0.4 以上 0.7 以下で高クオリティ域といえる。

#### 4.2.8 チャンネルボックス内壁面温度

図 4.69 はチャンネルボックスの内壁面温度である。図中実線が内壁面温度で破線は流体温度である。本解析では、バイパス内及び炉心内流体温度はほとんど等しい。なお、チャンネルボックスは 1 つのヒートスラブとして取扱っている。チャンネルボックスが急冷するのは、LPCI 注入開始後の破断後 77 秒である。

#### 4.2.9 流体密度

図 4.70～図 4.72 は流体密度の計算値である。

図 4.70 は健全ループ側の、図 4.71 は破断ループ側のジェットポンプ出口流体密度計算値である。両者とも、ほとんど同様の変化を示す。

図 4.72 はポンプ側破断口のある管路の流体密度である。図 4.98 はポンプ側破断口のクオリティであるが、これより明らかのように、破断と同時に流れは水一蒸気の 2 相状態となり、破断後 61.0 秒で蒸気単相状態となり 79.0 秒で再び 2 相状態に戻る。しかし、流体密度はほとんど蒸気単相に近い。

なお、図 4.121 は圧力容器側破断口のある管路内流体密度の計算値である。流れは破断後 5.8 秒で蒸気一水二相状態となり、73.9 秒から 78.1 秒までは蒸気単相状態でその後再び蒸気一水の

二相状態となっている。（図4.107の管路内クオリティ参照のこと。）全体的にみて、圧力容器側破断口における流体密度はポンプ側破断口の流体密度より大きい。

#### 4.2.10 そのほかの重要な計算結果

4.2.1～4.2.9で述べたものはROSAⅢ実験のデータと比較できるものであった。この節で述べるものは実験データとしては得られないが、これまでにいくつか引用してきたように、解析結果の解釈あるいは実験データの考案の際に貴重な情報を提供すると思われる計算結果である。

##### (a) 流量

図4.73～図4.85は流量の計算結果である。この中で注目すべきものの1つは図4.77～図4.80に示す破断ループ側ジェットポンプまわりの流量である。ジェットポンプは破断後直ちに逆流を開始し、流れは、吐出側から駆動流ノズル側へと（図4.78）、吐出側から吸込側へ（図4.80）とに変る。すなわち、下部プレナムからジェットポンプ、ジェットポンプ駆動流ノズルを通ってポンプ側破断口へ向う流れと、下部プレナムからジェットポンプ、ジェットポンプ吸込側配管、ダウンカマを通って圧力容器側破断口へ向う流れとが形成される。なお、計算では駆動流ノズルの所で破断後約18秒から約102秒まで流れは2相臨界流となっていた。

次に注目すべきものは、図4.81～図4.84に示す健全ループ側ジェットポンプまわりの流量である。ジェットポンプは破断後8.5秒で吸込流が逆流となり（図4.82）、10.5秒で図4.34、図4.83に示す吐出流量も逆流となる。これは、8.5秒でダウンカマ液位（図4.114）がジェットポンプ吸込側に通じるダウンカマ出口ノズル以下に下がり吸込能力を失い、更に再循環ポンプの流量低下によりジェットポンプ駆動流が減少したためで、流れはこれ以後、下部プレナムからジェットポンプ吐出側、ジェットポンプ吸込側、ダウンカマへの流れと、ダウンカマから再循環ポンプ駆動流ノズル、ジェットポンプ吸込側、ダウンカマへの流れという2つの向きに変る。なお、再循環ポンプへ通じるダウンカマ出口ノズルでの流れは破断後15秒で逆流となる。これは、ダウンカマ液位がこの位置まで下がり再循環ポンプ吸込側に蒸気が流入することになる。およびポンプの回転数が低下したことにより、ポンプがポンプとしての機能を失うためである。なお、図4.84に示すように、ジェットポンプ駆動流ノズル流れは78秒まで正流またはゼロである。一方ダウンカマから再循環ポンプ吸込への流れは15秒で逆流開始後、負の流れが保たれる。従って、再循環ポンプが機能を失った後は、健全ループ配管内に残っていた水一蒸気2相流体はジェットポンプ駆動流ノズルを通ってダウンカマ上部への流れと、再循環ポンプの吸込側を通ってダウンカマ下部へ向う流れと2方向に分れて流れ出していく。78秒以後ジェットポンプ駆動流ノズル流れが逆流するのはECC水の蓄水効果が表われ、下部プレナムからジェットポンプを通して流れ出していくためである。

図4.73、図4.74は炉心入口、出口の流量である。炉心入口流量は破断と同時に急減するが、その後健全側ジェットポンプの吐出流量（図4.34）の減少に伴い漸減し、ゼロとなり、11.2秒後の下部プレナムフラッシングにより一時間回復するが、その後流量はほとんどゼロといえる。LPCI作動後の78秒付近から計算は振動的で不安定となる。なお、下部プレナムフラッシングによる炉心流入量の増加はそれほど顕著ではない。炉心出口流量は、炉心入口流量の変化に比べ、破断後ゆるやかに減少し、20秒付近でゼロとなる。これは、図4.102の炉心内クオリティからも

分るよう、破断後、圧力の減少、炉心入口流量の減少に伴い、炉心内クオリティが増加し、炉心内流体の比容積が増加するため、炉心内では上向き流が維持され、ゆるやかに減少していくためである。なお、78秒以降で、計算は振動的で不安定である。

図4.75は気水分離器入口流量である。炉心出口流量とほぼ同様の変化を示し、78秒以降振動的となる。図4.73～図4.75における78秒以降の振動的不安定性はLPCIが作動し、注入水が上部プレナムを満たしきったあと、未飽和水として隣接するボリューム、炉心、気水分離器に流出していった際に引き起こされると考えられる。この不安定性は全体の計算結果の安定性に大きな影響を持っていると言える。従って、未飽和水と(飽和)蒸気、飽和二相流体の混合がよりなめらかに行なえるよう計算手法を改良する必要があろう。

図4.85は圧力容器側破断口からの流出流量である。12.9秒付近から振動が見られるが、これはダウンカマ液位が破断口へ通じるダウンカマ出口ノズル位置まで降下し、ダウンカマから水一蒸気二相流と蒸気単相流とが振動的に流出することによる。破断後3.2秒で二相流放出状態となった流れは73.9秒で蒸気単相放出状態となり、78.1秒で再び二相流放出状態に戻る。なお、ポンプ側破断口では、破断後直ちに二相流放出状態となり61.0秒から79.0秒まで蒸気単相放出状態に戻る。(図4.98のポンプ側破断口のクオリティを参照。)圧力容器側破断口からの流出流量は図4.36に示すポンプ側破断口からの流出流量の約3倍である。

圧力容器側破断口では、破断後0.5秒以前から約80秒までおよび、約86秒から計算終了時まで、またポンプ側破断口では破断後0.5秒以前から約66秒まで、また約92秒から約139.2秒まで流れは臨界流状態であった。破断ループ側ジェットポンプ駆動流ノズルでは破断後約18秒から約102秒まで流れは臨界流となっていた。

図4.122はHPCS、LPCS、LPCIの各注入流量の和とポンプ側、圧力容器側各破断口からの流出流量の差をとったもので、ECC水の蓄水率である。破断後54秒で蓄水率は負から正に変わっている。すなわち、この時点からECC注入流量が流出流量を上まわるようになり、ECC注入流量が流出流量を上まわるようになり、ECC水が系内に溜まっていく。

#### (b) クオリティ

図4.86～図4.98はジャンクションクオリティ、図4.99～図4.114はボリューム平均クオリティの計算値である。

図4.91～図4.95、図4.110～図4.112は健全ループ側の各ジャンクション、ボリュームのクオリティである。図4.111、図4.112に見られるように、ダウンカマ液位が再循環ポンプの出口ノズル位置まで下がる(12.0秒)以前に、すでに再循環ポンプの配管(V23:図4.111)、ジェットポンプ駆動ノズルへ通じる配管(V26,図4.112)内には少量ながら蒸気が含まれるようになり、ポンプ回転数の低下とあいまって再循環ポンプの機能低下をもたらす。ダウンカマから健全ループ側ジェットポンプに通じる配管の入口、出口クオリティ図4.91、図4.92で9秒付近に不連続的ピークがあるのは、ダウンカマ内液位がジェットポンプサクションに通じるダウンカマ出口ノズル以下に下がったことにより蒸気が急に流入したためで、これ以後流れは逆転する。なお、健全ループ側配管内クオリティは78秒以後減少を示すが、これは、注入されたECC水が流入してくるためである。

図4.86～図4.90、図4.105～図4.109は破断ループ側の各ジャンクション、配管ボリューム内クオリティである。圧力容器側破断口に通じるダウンカマ出口ノズル位置クオリティ（図4.89）および破断口に通じる配管内クオリティ（図4.107）は、ダウンカマ液位の低下、変動に伴う（図4.114のダウンカマ液位参照）流れの不安定性（図4.77のダウンカマから圧力容器側破断口への流参照）のため、12秒以降振動的となる。図4.88のジェットポンプからの下部プレナム入口におけるクオリティは、60秒から67秒にかけ、細かく振動する。この時期、ECC水のため、炉心内、下部プレナム内の圧力は下がり、下部プレナムからジェットポンプへ逆流していく流れが停滯する（図4.79）。そのため、ややクオリティの低い下部プレナム（図4.99）と、構造物の影響を受けてクオリティの上昇した下部プレナムに接続している配管（図4.106）との間で流出、流入が振動的に繰り返されるためである。

図4.97、図4.98は圧力容器側破断口、ポンプ側破断口のクオリティである。圧力容器側破断口では、ダウンカマ液位が破断口に通じるダウンカマ出口ノズル位置に達すると（12.0秒）振動的となる。

図4.88は上部ダウンカマとダウンカマとの間のジカンクション（J 32）のクオリティである。図4.113は上部ダウンカマ（V 28）のクオリティである。上部ダウンカマボリューム（V 28）内でみかけ上液位の形成と消滅が振動的に繰り返されているようすがわかる。

図4.99～図4.103は下部プレナム（V 1：図4.99、V 2：図4.100、V 3：図4.101）、炉心（V 4：図4.102）と上部プレナム（V 5：図4.95）のボリューム内平均クオリティである。下部プレナムクオリティより、破断後11.2秒で下部プレナムフラッシングが起こることがわかる。図4.102の炉心内クオリティより明らかのように、下部プレナムフラッシングの炉心への影響はそれほど顕著ではない。また、炉心内は破断後22秒から33秒にかけて一時蒸気単相に近い状態となるが、その後HPCSが作動し低クオリティ流体が上部プレナムより流入してくるため炉心内クオリティは減少する（図4.74の炉心出口流量参照）。60秒から68秒にかけて一時炉心内クオリティが増加しているのは、この期間、上部プレナムから炉心への流れが止まるためである。なお、図4.103に示す上部プレナムクオリティより、72秒で上部プレナムは水で満たされており、60～68秒の間は急速に蒸気の凝縮が行なわれるため、このボリューム内の圧力は低下し、入口、出口両方向からこのボリューム内に流れが形成されている。（図4.74、図4.75の上部プレナムの入口、出口流量参照。）

### (c) 液 位

図4.114はダウンカマ内の、図4.115は上部ダウンカマ内の液位計算結果である。図4.114中には液位計算結果のほかに、ジェットポンプサクションへ通じるダウンカマ出口ノズル（J 11、J 21）の上端の位置と再循環ポンプサクションへ通じるダウンカマ出口ノズル（J 15、J 25）上端、下端位置とが書き込まれている。これより、それぞれの位置に液位が到達した時刻は8.5秒、12.0秒、45.5秒であることがわかる。ダウンカマから健全ループ側再循環ポンプへ通じるダウンカマ出口ノズル位置の流れの方向は15秒で逆転し、再循環ポンプは機能を停止する。図4.89に示すダウンカマから破断ループ側再循環ポンプ（破断口）へ通じるダウンカマ出口ノズル位置でのクオリティより、再循環ポンプへ通じるダウンカマ出口ノズルがはじめて蒸気相中に露出するのは42.4秒で、70.4秒から78.0秒にかけて完全に蒸気相中に露出するが、それ以外では、ノズ

ル上端下端付近に水面があると解釈できる。図 4.104 に示すダウンカマ内クオリティは 12.7 秒まで増加するが、これは破断口へ向う低クオリティ流体流出による水位の低下のためである。その後クオリティは減少傾向となる。これは、健全ループ側ジェットポンプが 10.5 秒で逆流開始後下部プレナムから低クオリティ流体が運ばれてくるためである。88秒付近にかけての一時的増加は計算の不安定性に起因していると思われる。

図 115 は上部ダウンカマ内液位である。コードの不備からこのボリューム内にはみかけ上液位の形成と消滅が断続的に繰り返される。（このボリューム内クオリティ図 4.113 も参照。）この液位の振動は他の位置の計算値が振動的であることの原因の一つと考えられる。

Table 4.1 Major Predicted Events

Time after Break sec	Predicted Events	Comments
0.0	Initial core power control Terminate intact loop recirculation pump power supply Terminate broken loop recirculation pump power supply Steam discharge valve open Feed water valve open	as specified as specified as specified as specified as specified
0.8	Start of flow reversal at broken loop jet pump discharge and suction Feed water valve close start	as specified as specified
2.0	Steam discharge valve close start	
3.0	End of subcool discharge from vessel side break	
3.2	Feed water valve close end	
4.0	Steam discharge valve close end	
5.0	Top of nozzle to jet pump suction uncoupling	
8.5	Start of flow reversal at intact loop jet pump suction Occurrence of fuel rod surface dryout*	
9.0	Start of flow reversal at intact loop jet pump discharge	
10.5	Start of lower plenum flashing	
11.2	Top of nozzle to recirculation pump suction uncoupling	
12.0	HPCS initiation	
27.0	Rewetting of dried fuel rod surface*	as specified
33.0		

\* It is the longest dryout duration, which appears at the axially highest power region.  
The maximum fuel rod surface temperature is 500°C.

Table 4.1 (Cont'd)

Time after Break sec	Predicted Events	Comments
53.9	LPCS initiation	
61.0	Start of steam discharge from pump side break	
66.9	LPCI initiation	
73.9	Start of steam discharge from vessel side break	
78.1	End of steam discharge from vessel side break	
79.0	End of steam discharge from pump side break	
120.0	ADS valve open	
152.9	End of calculation	as specified

Table 4.2 Measurement Location and Corresponding Prediction

Item	Location	Data Index	RELAP	Fig. No.
Pressure				
Lower plenum	P1	AP1	4.1	
Upper plenum	P2	AP5	4.2	
Steam dome	P3	AP8	4.3	
Downcomer bottom	P4	AP11	4.4	
Broken loop jet pump drive line	P5 & P6	AP19	4.5	
Broken loop jet pump suction line	P7 & P8	AP12	4.6	
Intact loop pump suction	P9	AP23	4.7	
Broken loop pump suction	P10	AP16	4.8	
Broken loop pump delivery	P11	AP18	4.9	
Upstream of break A (pump side)	P12	AP16	4.8	
Downstream of break A (pump side)	P13	----	----	
Upstream of break B (vessel side)	P14	AP15	4.10	
Downstream of break B (vessel side)	P15	----	----	
Steam line	P16	----	----	
Intact loop jet pump outlet	P17	AP22	4.11	
Broken loop jet pump outlet	P18	AP14	4.12	
Break unit B (pump side)	P19	AP15	4.8	
Differential pressure	D1	AP1-AP5	4.13	
	D2	AP5-AP8	4.14	
	D3	-----	-----	
	D4	-----	-----	

Table 4.2 (Cont'd I)

Item	Location	Data Index	RELAP	Fig. No.
Differential pressure	Vessel bottom to top	D5	AP1-AP8	4.15
	Intact loop jet pump 1 discharge to suction	D6	AP21-AP20	4.16
	Intact loop jet pump 1 drive to suction	D7	AP25-AP20	4.17
	Intact loop jet pump 2 discharge to suction	D8	AP31-AP20	4.18
	Intact loop jet pump 2 drive to suction	D9	AP26-AP20	4.17
	Broken loop jet pump 3 discharge to suction	D10	AP13-AP12	4.19
	Broken loop jet pump 3 drive to suction	D11	AP11-AP12	4.20
	Broken loop jet pump 4 discharge to suction	D12	AP30-AP12	4.21
	Broken loop jet pump 4 drive to suction	D13	AP19-AP12	4.20
	Intact loop pump delivery to suction	D14	AP25-AP23	4.22
	Broken loop pump delivery to suction	D15	AP18-AP16	4.23
			JW47	4.24
Flow rate	Main steam line	F1	JW48	4.25
	ADS steam line	F2	----	----
	Condensed water A (pump side)	F3	----	----
	Cooling water A (pump side)	F4	----	----
	Condensed water B (vessel side)	F5	----	----
	Cooling water B (pump side)	F6	----	----
	HPCS (upper plenum)	F7	JW44	4.26
	HPCS (lower plenum)	F8	----	----
	LPCS (upper plenum)	F9	JW43	4.27
	LPCS (lower plenum)	F10	----	----
	LPCI (upper plenum)	F11	JW42	4.28
	LPCI (lower plenum)	F12	----	----

Table 4.2 (Cont'd II)

Item	Location	Data Index	RELAP	Fig. No.
Flow rate	LPCI (broken loop pump suction) LPCI (intact loop pump suction) Feed water (transient)  Feed water (Steady)	F13 F14 F15  F16	----- ----- JW45  -----	----- ----- 4.29  -----
	Intact loop jet pump 1 discharge Intact loop jet pump 2 discharge Broken loop jet pump 3 discharge (positive) Broken loop jet pump 3 discharge (reverse) Broken loop jet pump 4 discharge (positive) Broken loop jet pump 4 discharge (reverse) Intact loop jet pump outlet Broken loop jet pump outlet Broken unit A (pump side)	F17 F18 F19 F20 F21 F22 F23 F24 F25	JW23 JW41 JW13 JW13 JW38 JW38 JW23+JW41 JW13+JW38 JW50	4.30 4.31 4.32 4.32 4.33 4.33 4.34 4.35 4.36
Core power	550 kVA power supply 1800 kVA power supply 2300 kVA power supply	W1 W2 W3	NQ	4.37
Pump speed (1)	Intact Broken loop	N1 N2	Volume 24 Volume 17	4.38 4.38
Coolant temperature	Lower plenum Upper plenum Steam dome	T1 T2 T3	AT1 AT5 AT8	4.39 4.40 4.41

Table 4.2 (Cont'd III)

Item	Location	Data Index	RELAP	Fig. No.
Coolant temperature	Upper downcomer	T4	AT28	4.42
	Lower downcomer	T5	AT11	4.43
	Intact loop jet pump 1 drive	T6	AT26	4.44
	Intact loop jet pump 2 drive	T7	AT26	4.44
	Broken loop jet pump 3 drive	T8	AT19	4.45
	Broken loop jet pump 4 drive	T9	AT19	4.45
	Intact loop jet pump 1 discharge	T10	AT21	4.46
	Intact loop jet pump 2 discharge	T11	AT31	4.47
	Broken loop jet pump 3 discharge	T12	AT13	4.48
	Broken loop jet pump 4 discharge	T13	AT30	4.49
	Intact loop pump suction	T14	AT23	4.50
	Intact loop pump delivery	T15	AT25	4.51
	Broken loop pump suction	T16	AT16	4.52
	Broken loop pump delivery	T17	AT18	4.53
	Upstream of Break A (pump side)	T18	AT16	4.52
	Upstream water B (vessel side)	T19	AT15	4.54
	Condensed water A (pump side)	T20	---	----
	Condensed water B (vessel side)	T21	---	----
	Intact loop jet pump outlet	T24	AT22	4.55
	Broken loop jet pump outlet	T25	AT14	4.56
	Break A (pump side)	T26	AT16	4.52

Table 4.2 (Cont'd IV)

Item	Location	Data Index	RELAP	Fig. No.
Metal surface temperature (2)	Vessel filler surface	TS15 & 18	Heat Slab 18 (Left)	4.57
	Vessel filler surface	TS21 & 24	Heat Slab 18 (Right)	4.58
	Upper downcomer wall	TS30	Heat Slab 37 (Right)	4.59
	Downcomer wall	TS31	Heat Slab 20 (Right)	4.60
	Lower plenum wall	TS36	Heat Slab 13 (Right)	4.61
Heater rod surface temperature (3)	Position 1	TEL, 8, 15, 22, 29, 39, 50, 58,	Heat Slab 12	4.62
	Position 2	TF2, 9, 16, 23, 30	Heat Slab 10	4.63
	Position 3	TF3, 10, 17, 24, 31, 36, 40, 44, 47, 51, 55, 59, 63, 66	Heat Slab 9	4.64
	Position 4	TF4, 11, 18, 25, 32, 37, 41, 45, 48, 52, 56, 60, 64, 67	Heat Slab 7	4.65
	Position 5	TF5, 12, 19, 26, 33, 38, 42, 46, 49, 53, 57, 61, 65, 68	Heat Slab 5	4.66
	Position 6	TF6, 13, 20, 27, 34	Heat Slab 4	4.67

Table 4.2 (Cont'd V)

Item	Location	Data Index	RELAP	Fig. No.
Heat rod surface temperature (2)	Position 7	TF7,14,21, 28,35,43,54, 62	Heat Slab 2	4.68
Channel box wall surface (2)	Position 1 Position 2 Position 3 Position 4 Position 5 Position 6 Position 7	TB1,8 TB2,9 TB3,10 TB4,11 TB5,12 TB6,13 TB7,14	Heat Slab 6 (Left)	4.69
Fluid density (4)	Intact loop jet pump outlet (Beam 1) Intact loop jet pump outlet (Beam 2) Intact loop jet pump outlet (Beam 3) Broken loop jet pump outlet (Beam 1) Broken loop jet pump outlet (Beam 2) Broken loop jet pump outlet (Beam 3) Break A (pump side) (Beam 1) Break A (pump side) (Beam 2)	DF1 DF2 DF3 DF4 DF5 DF6 DF7 DF8	AR22 AR14 AR16	4.70 4.71 4.72

Note : (1) RELAP4J has no plot record for pump speed.

(2) RELAP4J has no plot record for slab surface temperature except core volume.

(3) Calculated separately from core analysis, see Section 3.2.  
Core was represented by vertically stacked 5 volumes and 13 heat slabs.  
No radial power distribution was considered.

(4) Density is measured by 3 beam gamma densitometer. Thus averaging of the data is required to compare with predicted density that is volume averaged density.

Table 4.3 Additional Calculated Parameter

Item	Parameter	Fig. No.
Flow Rate	JW3	4.73
	JW4	4.74
	JW5	4.75
	JW6	4.76
	JW11	4.77
	JW12, JW36	4.78
	JW14	4.79
	JW20, JW37	4.80
	JW21	4.81
	JW22, JW39	4.82
	JW24	4.83
	JW29, JW40	4.84
Junction Quality	JW49	4.85
	JX11	4.86
	JX12, JX36	4.87
	JX14	4.88
	JX15	4.89
	JX20, JX37	4.90
	JX21	4.91
	JX22, JX39	4.92
	JX24	4.93
	JX25	4.94
	JZ29, JX40	4.95
	JX32	4.96
Average Quality	JX49	4.97
	JX50	4.98
	AX1	4.99
	AX2	4.100
	AX3	4.101
	AX4	4.102
	AX5	4.103
	AX11	4.104
	AX13	4.105

Table 4.3 Additional Calculated Parameter (Cont'd)

Item	Parameter	Fig. No.
Average Quality	AX14	4.106
	AX15	4.107
	AX16	4.108
	AX18	4.109
	AX22	4.110
	AX23	4.111
	AX26	4.112
	AX28	4.113
Mixture Level	ML11	4.114
	ML28	4.115
Average Quality (Core Analysis)	AX2	4.116
	AX3	4.117
	AX4	4.118
	AX5	4.119
	AX6	4.120
Average Density at Break B	AR15	4.121
Rate of ECC Water Accumulator		4.122
Liquid Mass in Volume 1		4.123

JAERI-M 8300

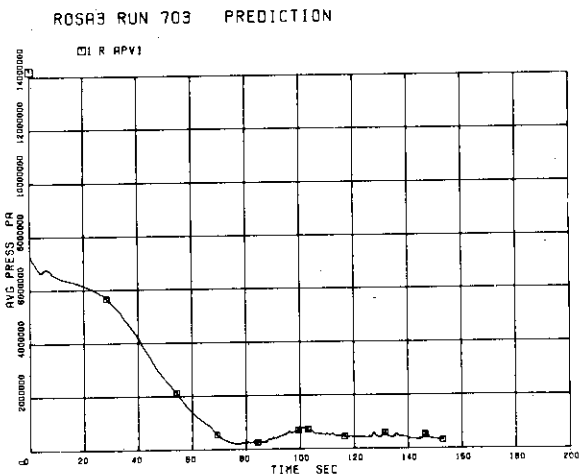


Fig.4.1 Pressure in Lower Plenum  
(P1, AP1)

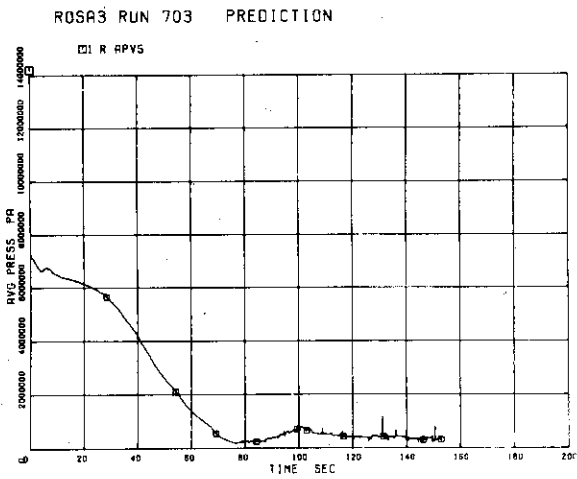


Fig.4.2 Pressure in Upper Plenum  
(P2, AP5)

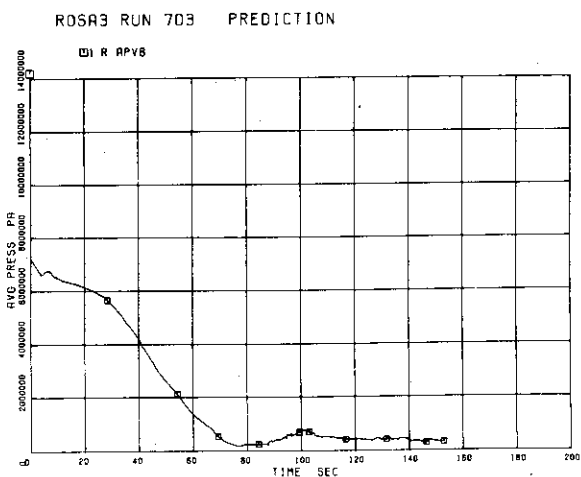


Fig.4.3 Pressure in Steam Dome  
(P3, AP8)

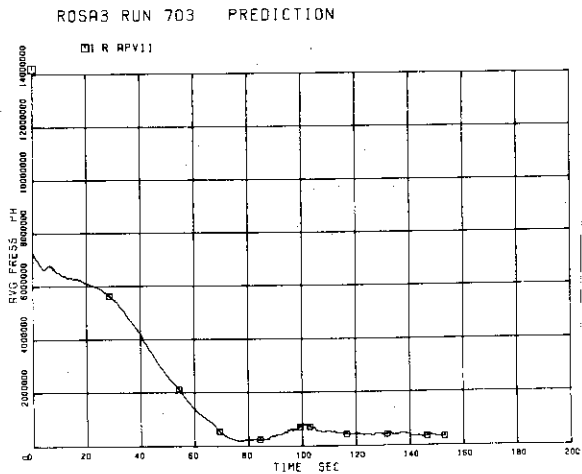


Fig.4.4 Pressure at Downcomer Bottom  
(P4, AP11)

JAERI-M 8300

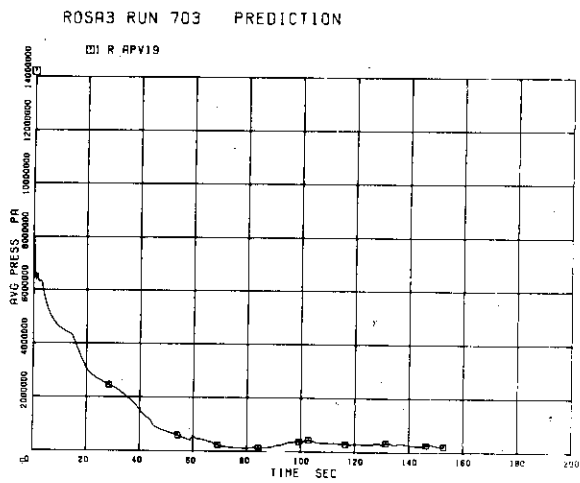


Fig.4.5 Pressure in Broken Loop Jet Pump Drive Line (P5&P6, AP19)

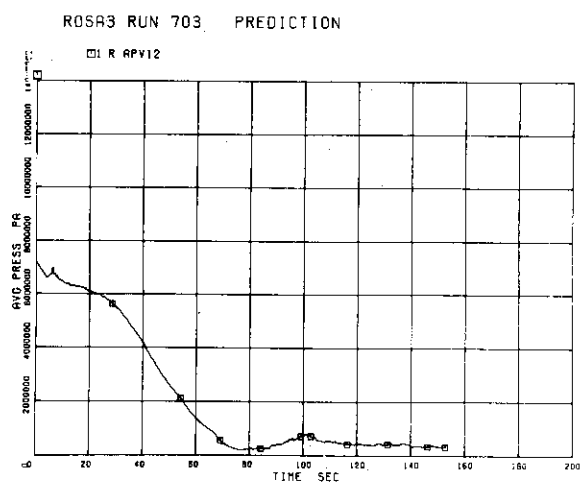


Fig.4.6 Pressure in Broken Loop Jet Pump Suction Line (P7&P8, AP12)

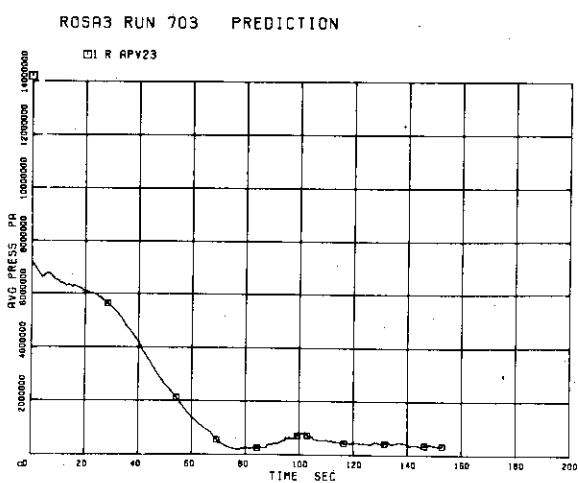


Fig.4.7 Pressure in Intact Loop Pump Suction Line (P9, AP23)

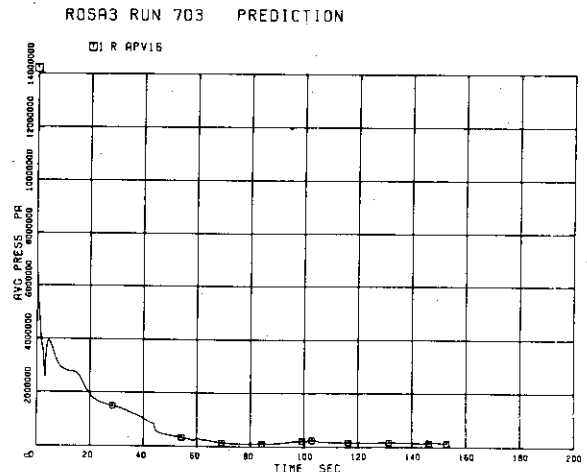
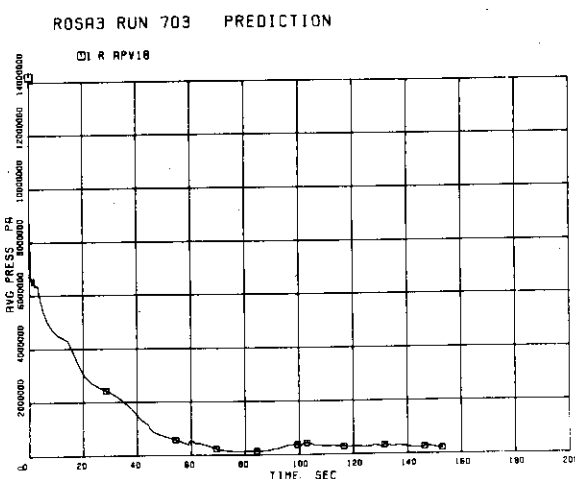
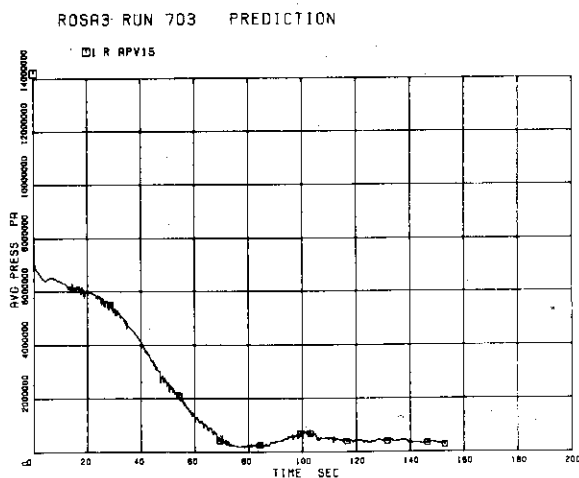


Fig.4.8 Pressure at Broken Loop Pump Suction (P10, AP16)

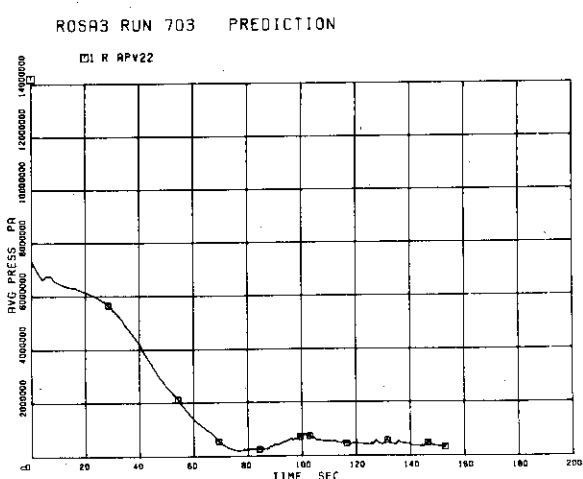
**JAERI-M 8300**



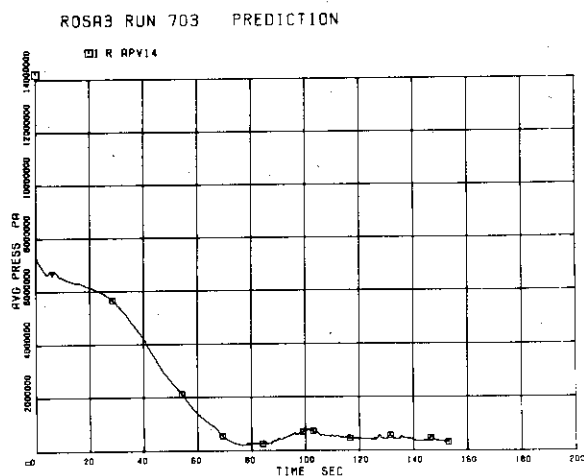
**Fig. 4.9 Pressure at Broken Loop Pump Delivery (P11, AP18)**



**Fig. 4.10 Pressure at Upstream of Break B (Vessel Side), (P14, AP15)**



**Fig. 4.11 Pressure at Intact Loop Jet Pump Outlet (P17, AP22)**



**Fig. 4.12 Pressure at Broken Loop Jet Pump Outlet (P18, AP14)**

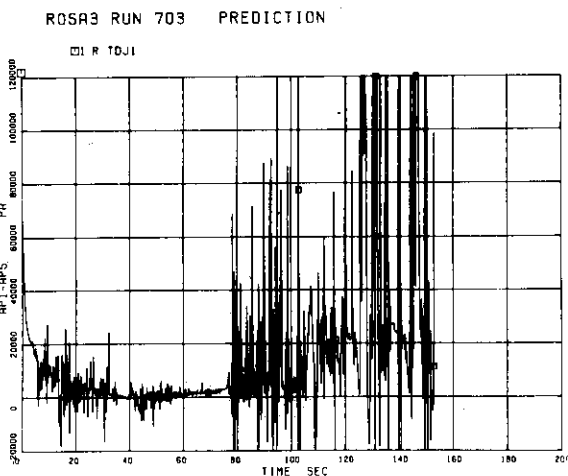


Fig.4.13 Differential Pressure, Lower Plenum to Upper Plenum (D1, AP1-AP5)

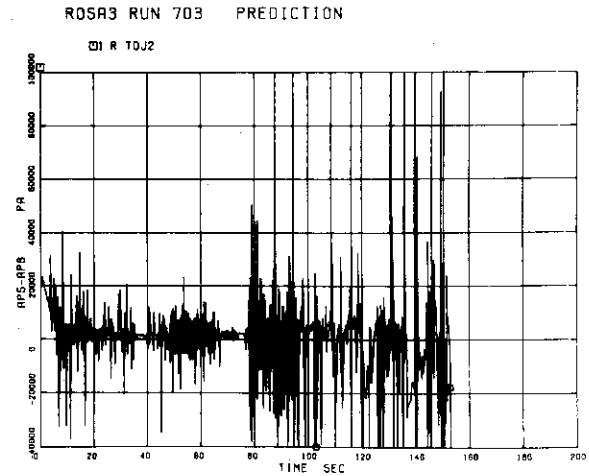


Fig.4.14 Differential Pressure, Upper Plenum to Steam Dome (D2, AP5-AP8)

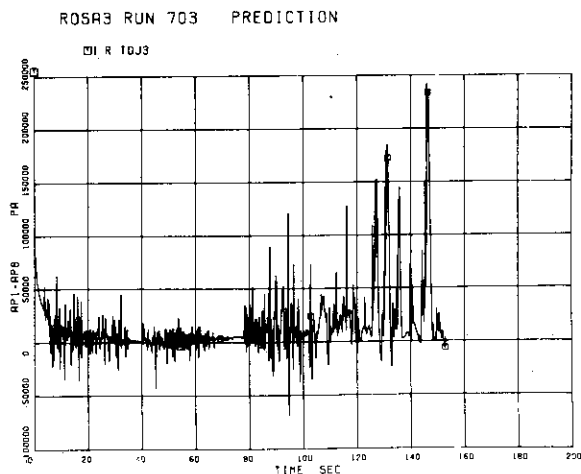


Fig.4.15 Differential Pressure, Vessel Bottom to Top (D5, AP1-AP8)

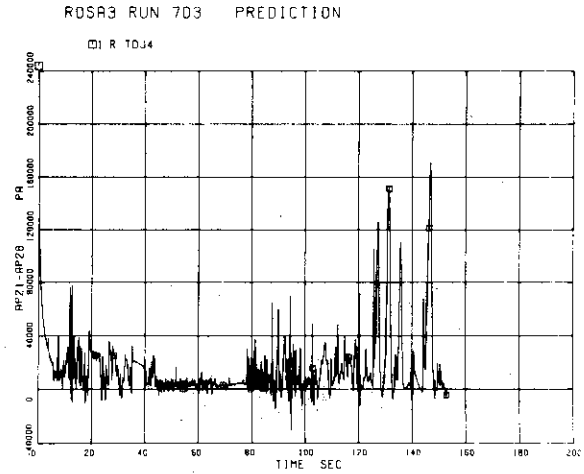
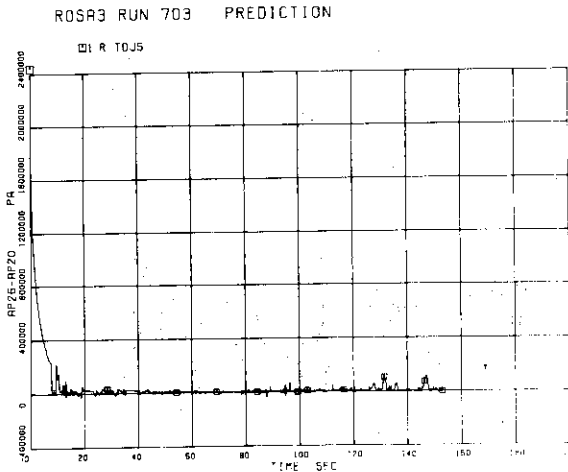
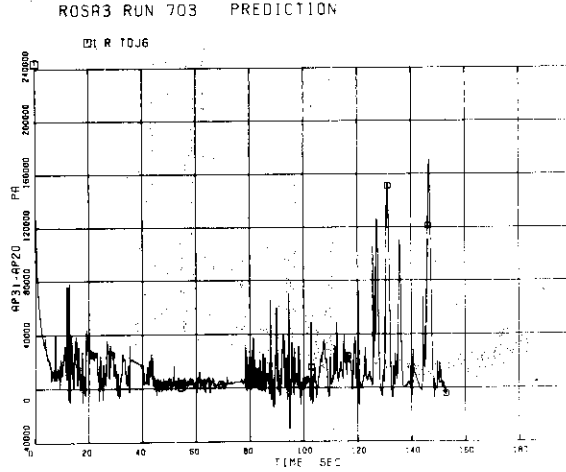


Fig.4.16 Differential Pressure, Intact Loop Jet Pump 1 Discharge to Suction (D6, AP21-AP20)

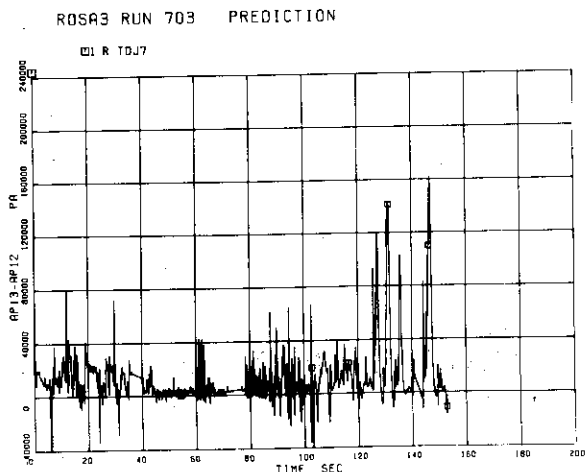
**JAERI-M 8300**



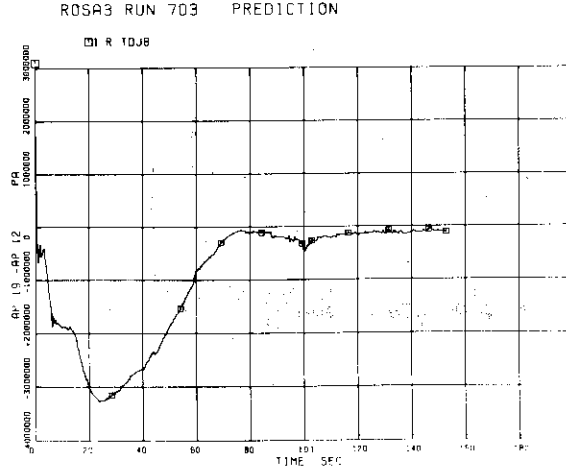
**Fig.4.17** Differential Pressure,  
(Intact Loop Jet Pump 1 Drive  
to Suction ) (D7, AP26-AP20)



**Fig.4.18** Differential Pressure, Intact  
Loop Jet Pump 2 Discharge to  
Suction (D8, AP31-AP20)



**Fig.4.19** Broken Loop Jet Pump 3 Dis-  
charge to Suction  
(D10, AP13-AP12)



**Fig.4.20** Differential Pressure, Broken  
Loop Jet Pump 3 Drive to Suc-  
tion (D11, AP19-AP12)

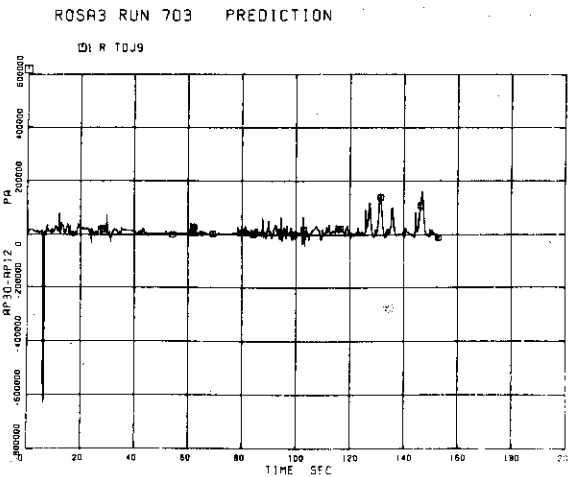


Fig.4.21 Differential Pressure, Broken Loop Jet Pump 4 Discharge to Suction (D12, AP30-AP12)

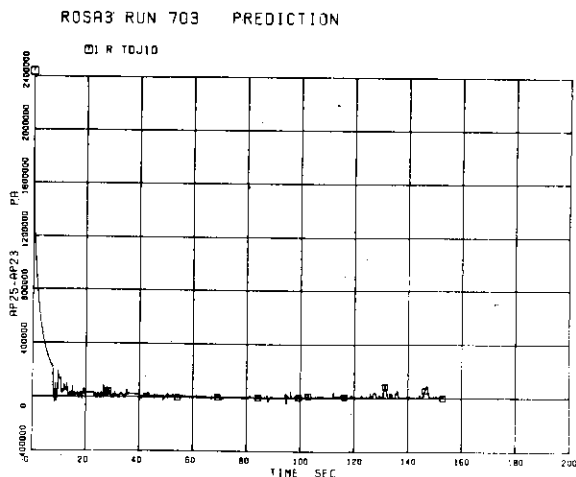


Fig.4.22 Differential Pressure, Intact Loop Pump Delivery to Suction (D14, AP25-AP23)

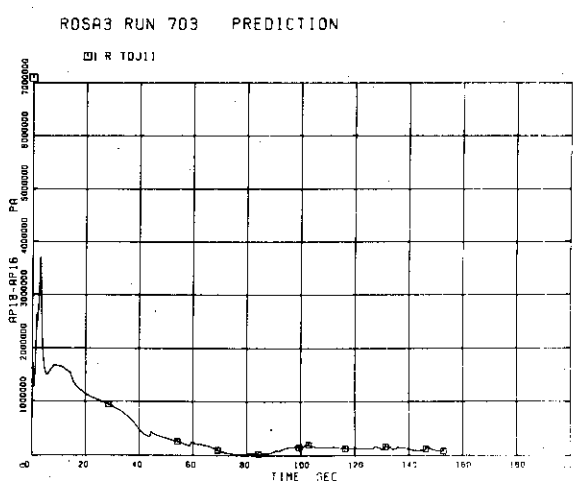


Fig.4.23 Differential Pressure, Broken Loop Pump Delivery to Suction (D15, AP18-AP16)

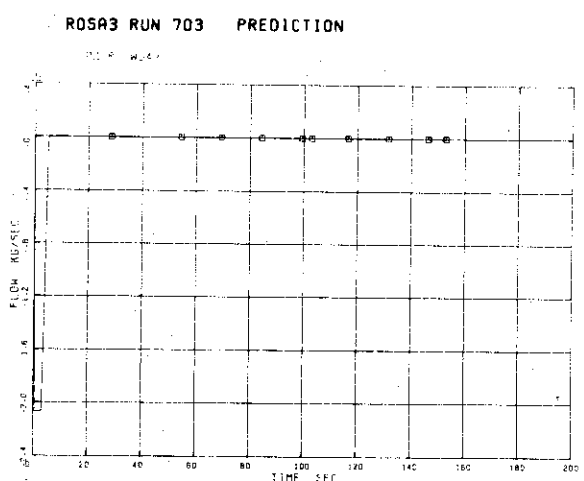
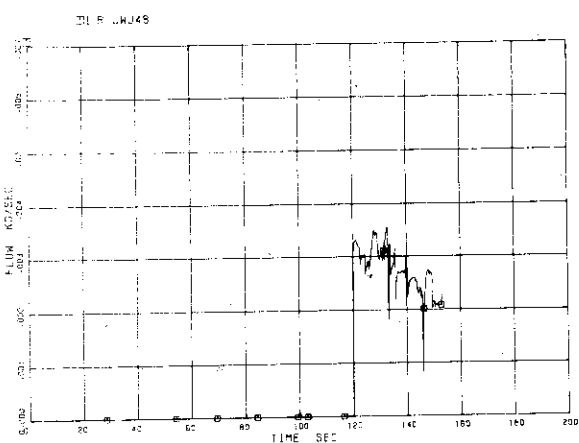


Fig.4.24 Flowrate at Main Steam Line (F1, JW47)

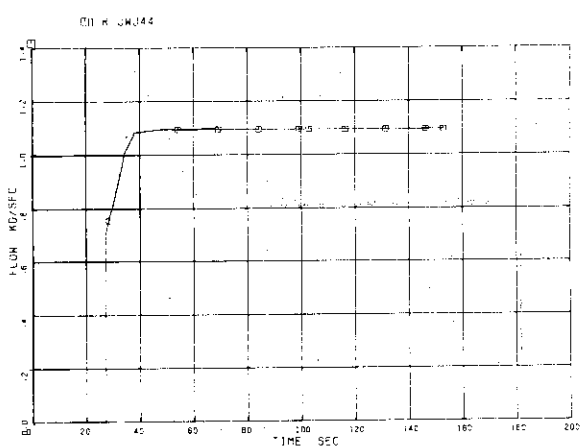
**JAERI-M 8300**

**ROSA3 RUN 703 PREDICTION**



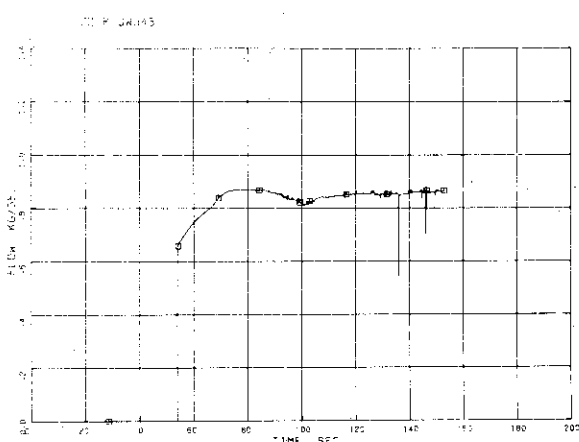
**Fig.4.25 Flowrate in ADS Steam Line  
(F2, JW48)**

**ROSA3 RUN 703 PREDICTION**



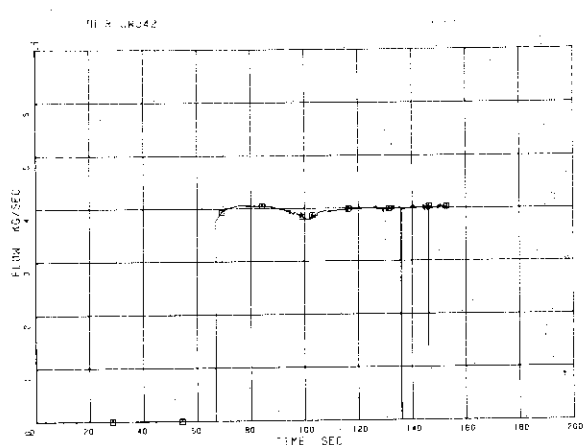
**Fig.4.26 Injection Rate of HPGS  
(F7, JW44)**

**ROSA3 RUN 703 PREDICTION**



**Fig.4.27 Injection Rate of LPCS  
(F9, JW43)**

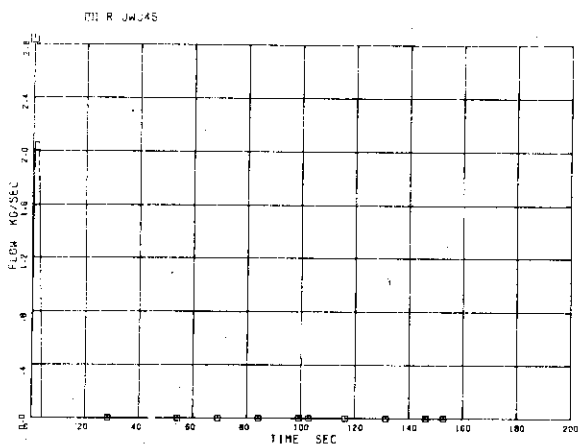
**ROSA3 RUN 703 PREDICTION**



**Fig.4.28 Injection Rate of LPCI  
(F11, JW42)**

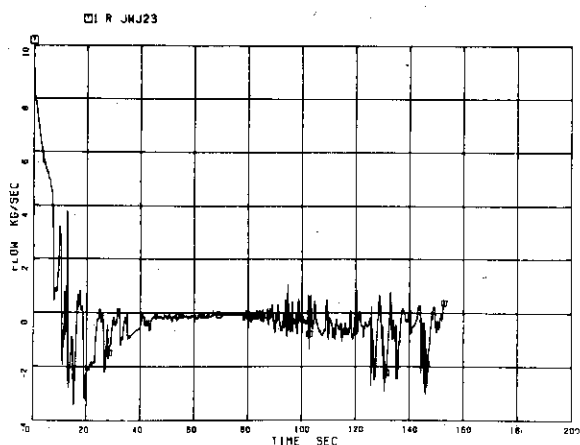
**JAERI-M 8300**

**ROSA3 RUN 703 PREDICTION**



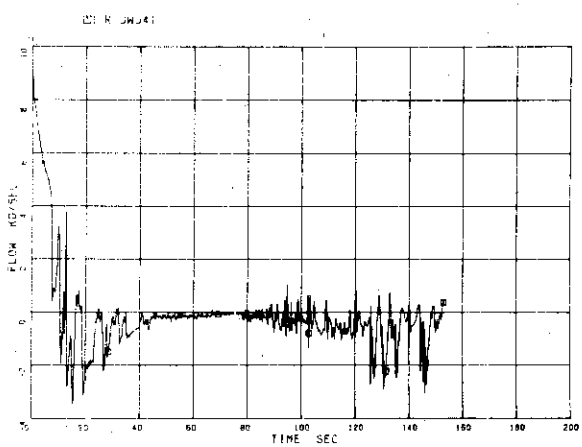
**Fig.4.29 Flowrate of Feed Water  
(F15, JW45)**

**ROSA3 RUN 703 PREDICTION**



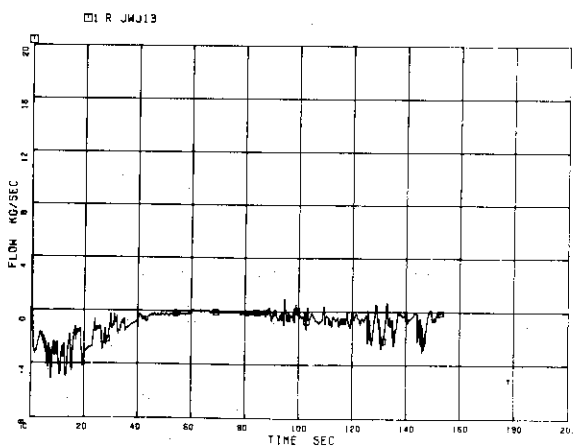
**Fig.4.30 Flowrate at Intact Loop Jet  
Pump 1 Discharge  
(F17, JW23)**

**ROSA3 RUN 703 PREDICTION**



**Fig.4.31 Flowrate at Intact Loop Jet  
Pump 2 Discharge  
(F18, JW41)**

**ROSA3 RUN 703 PREDICTION**



**Fig.4.32 Flowrate at Broken Loop Jet  
Pump 3 Discharge  
(F19&F20, JW13)**

JAERI-M 8300

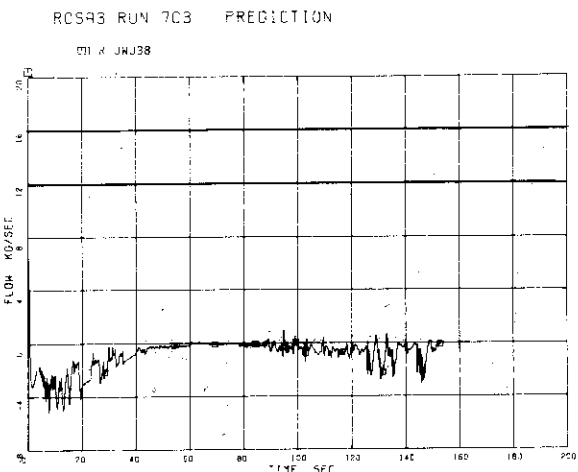


Fig.4.33 Flowrate at Broken Loop Jet Pump 4 Discharge (F21&F22, JW38)

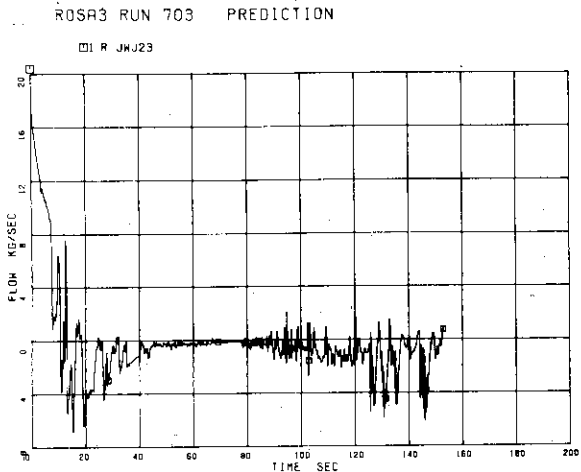


Fig.4.34 Flowrate at Intact Loop Jet Pump Outlet (F23, JW23+JW41)

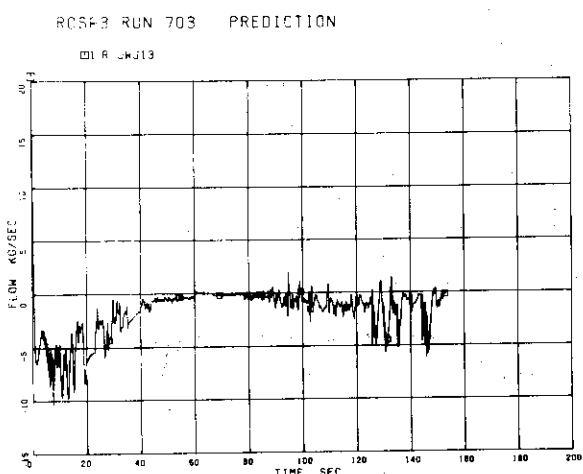


Fig.4.35 Flowrate at Broken Loop Jet Pump Outlet (F24, JW13+JW38)

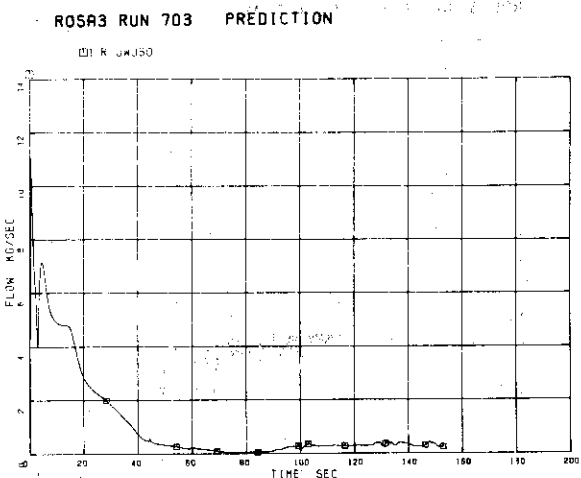


Fig.4.36 Flowrate at Break Unit A (Pump Side), (F25, JW50)

**JAERI-M 8300**

ROSA3 RUN 703 PREDICTION

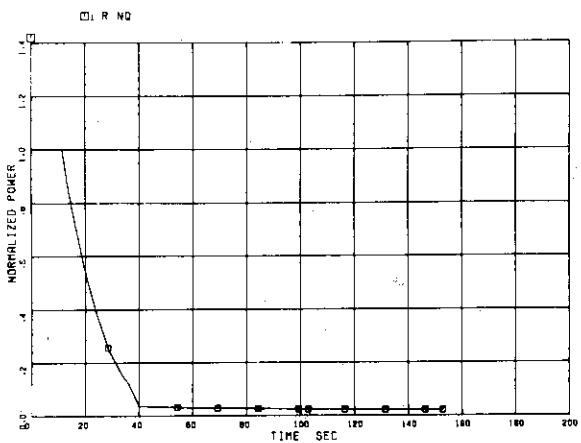


Fig. 4.37 Core Power  
(W1, W2&W3, NQ)

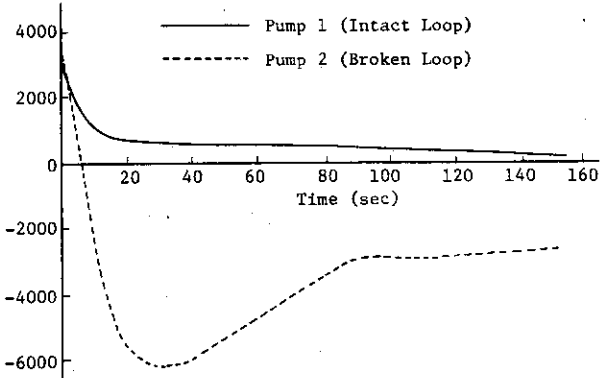


Fig. 4.38 Recirculation Pump Speed  
(N1 and N2, Volume 24 and 17)

ROSA3 RUN 703 PREDICTION

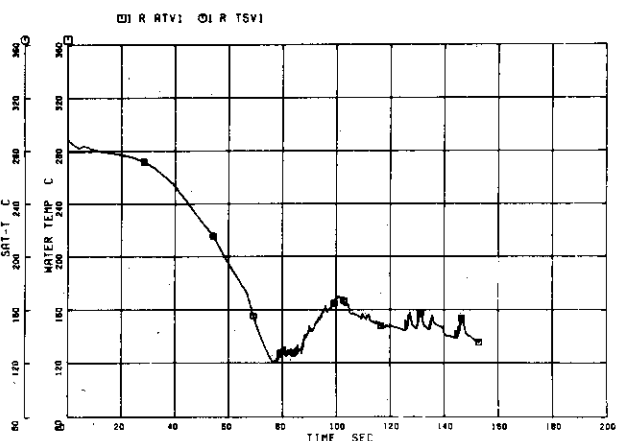


Fig. 4.39 Coolant Temperature in Lower Plenum (T1, AT1&TS1)

ROSA3 RUN 703 PREDICTION

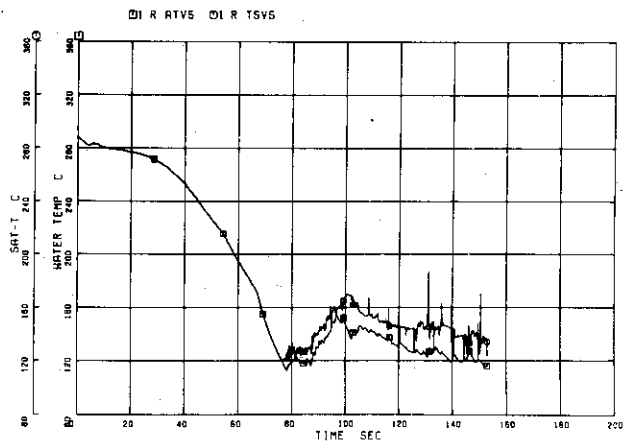


Fig. 4.40 Coolant Temperature in Upper Plenum (T2, AT5&TS5)

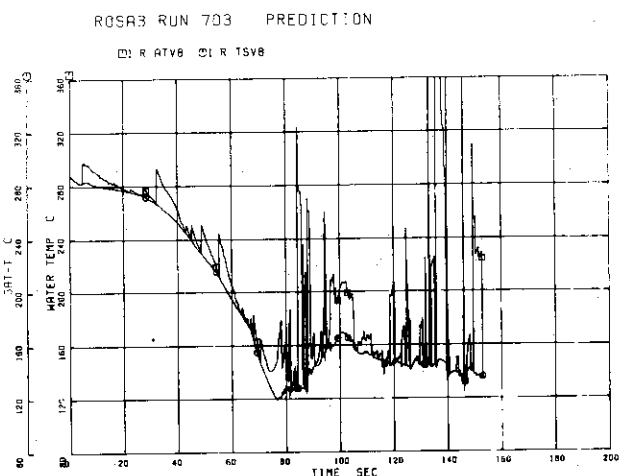


Fig.4.41 Coolant Temperature in Steam Dome (T3, AT8&TS8)

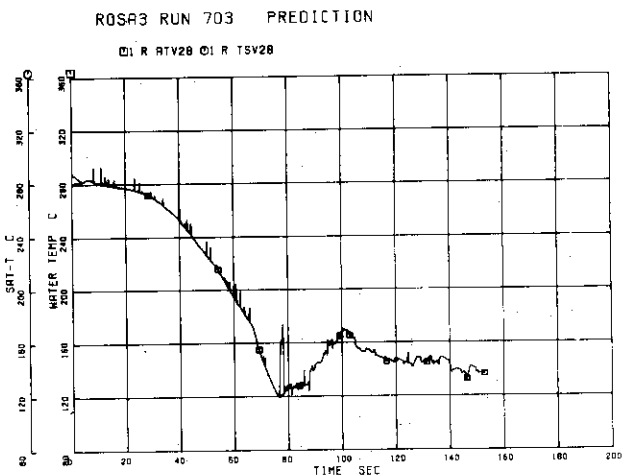


Fig.4.42 Coolant Temperature in Upper Downcomer (T4, AT28, TS28)

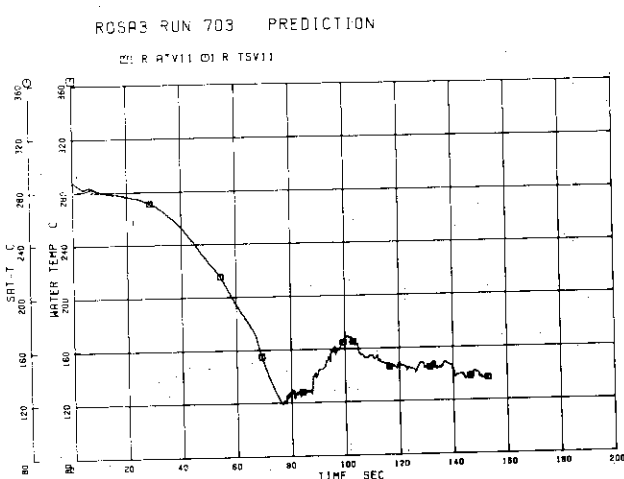


Fig.4.43 Coolant Temperature in lower Downcomer (T5, AT11&TS11)

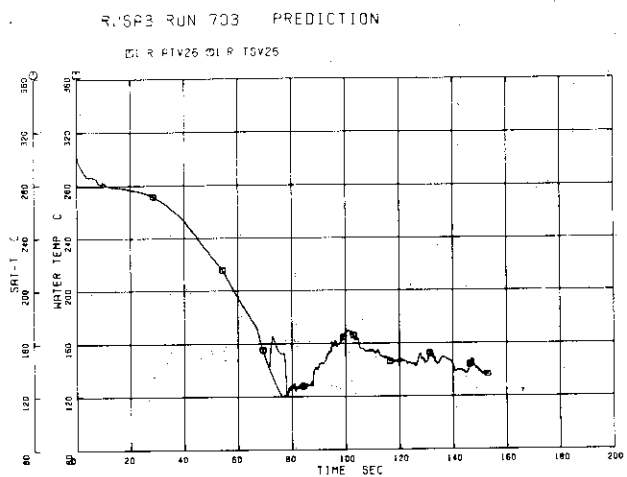
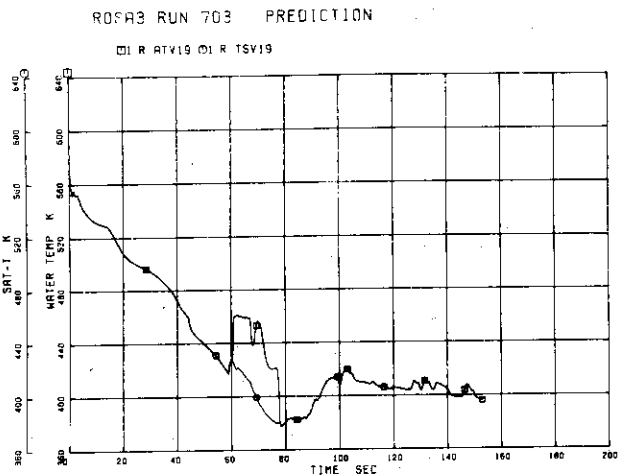
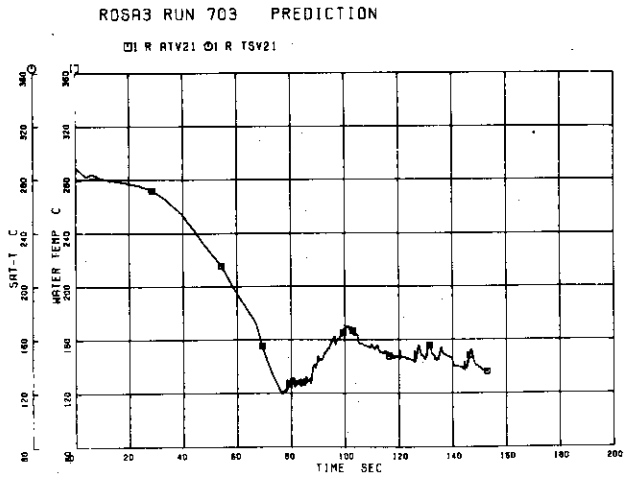


Fig.4.44 Coolant Temperature at Intact Loop Jet Pump Drive (T6&T7, AT26&TS26)

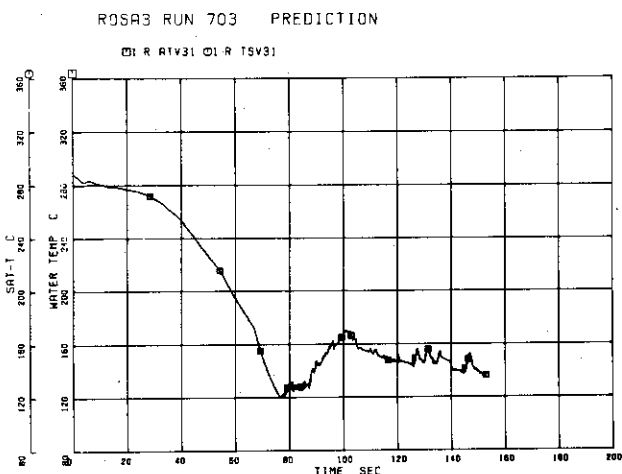
**JAERI-M 8300**



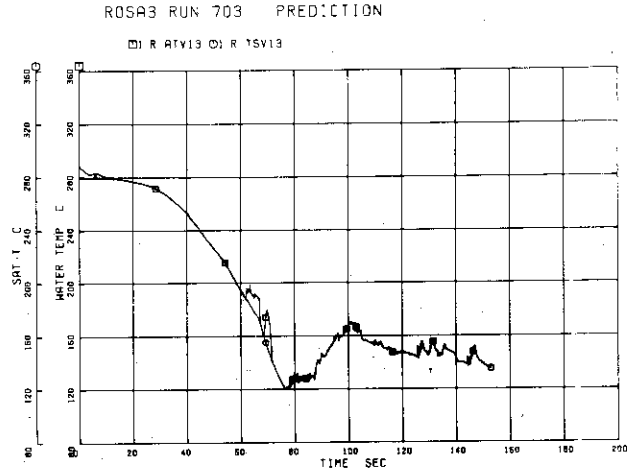
**Fig.4.45** Coolant Temperature at Broken Loop Jet Pump Drive  
 (T8&T9, AT19&TS19)



**Fig.4.46** Coolant Temperature at Intact Loop Jet Pump 1 Discharge  
 (T10, AT21&TS21)

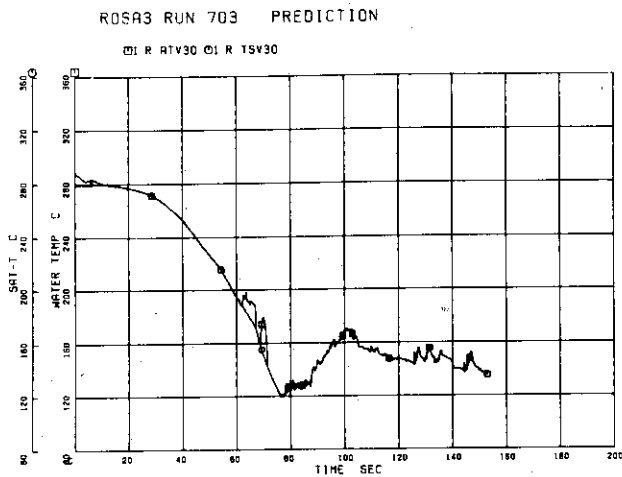


**Fig.4.47** Coolant Temperature at Intact Loop Jet Pump 2 Discharge  
 (T11, AT31&TS31)

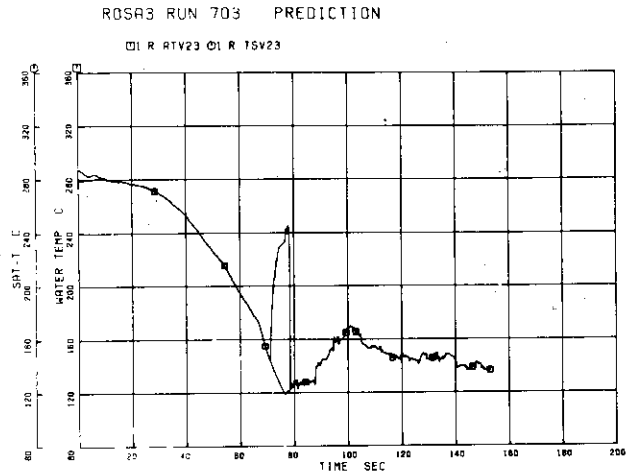


**Fig.4.48** Coolant Temperature at Broken Loop Jet Pump 3 Discharge  
 (T12, AT13&TS13)

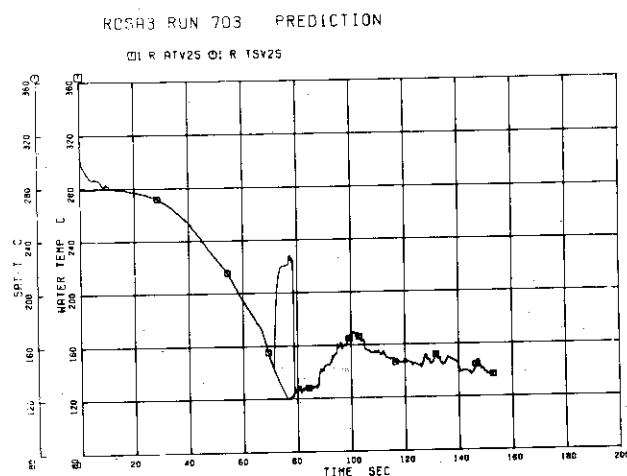
**JAERI-M 8300**



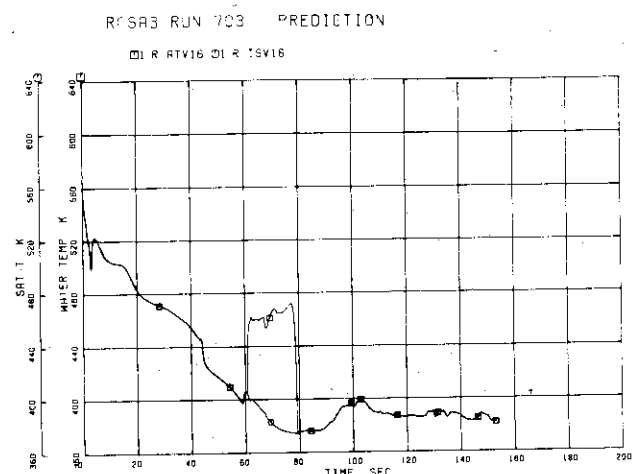
**Fig.4.49 Coolant Temperature at Broken Loop Jet Pump 4 Discharge (T13, AT30&TS30)**



**Fig.4.50 Coolant Temperature at Intact Loop Pump Suction (T14, AT23&TS23)**



**Fig.4.51 Coolant Temperature at Intact Loop Pump Delivery (T15, AT25&TS25)**



**Fig.4.52 Coolant Temperature at Broken Loop Pump Suction (T16, T18&T26, AT16&TS16)**

JAERI-M 8300

ROSAB RUN 703 PREDICTION

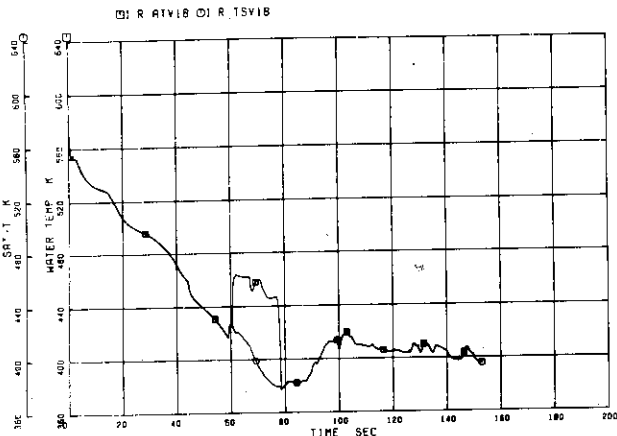


Fig.4.53 Coolant Temperature at Broken Loop Pump Delivery (T17, AT18&TS18)

ROSAB RUN 703 PREDICTION

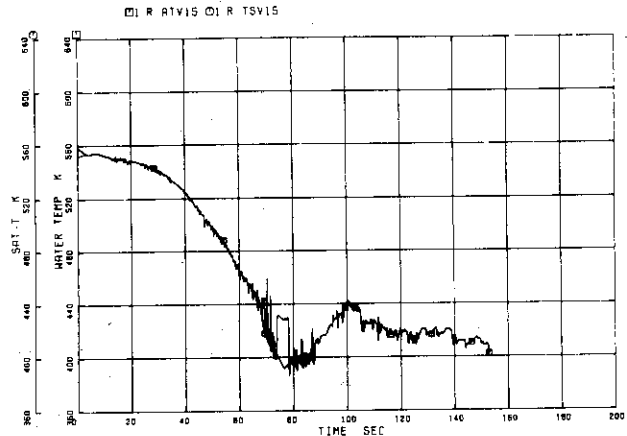


Fig.4.54 Coolant Temperature at Upstream of Break B (Vessel Side), (T19, AT15&TS15)

ROSAB RUN 703 PREDICTION

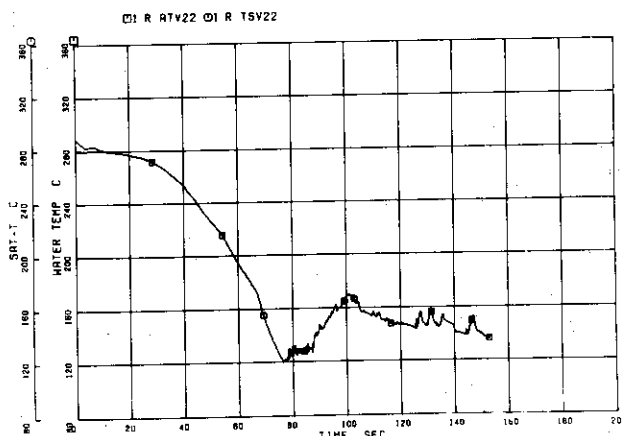


Fig.4.55 Coolant Temperature at Intact Loop Jet Pump Outlet (T24, AT22&TS22)

ROSAB RLN 703 PREDICTION

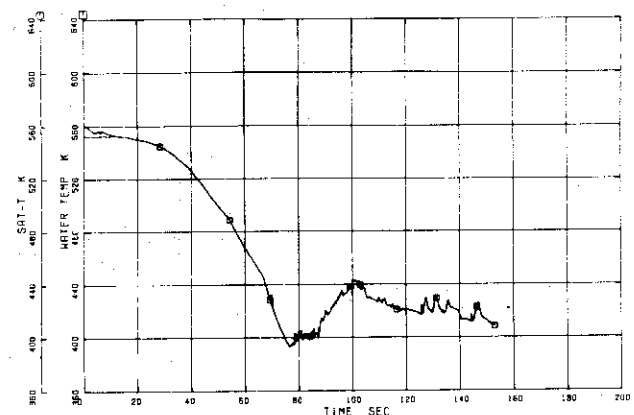
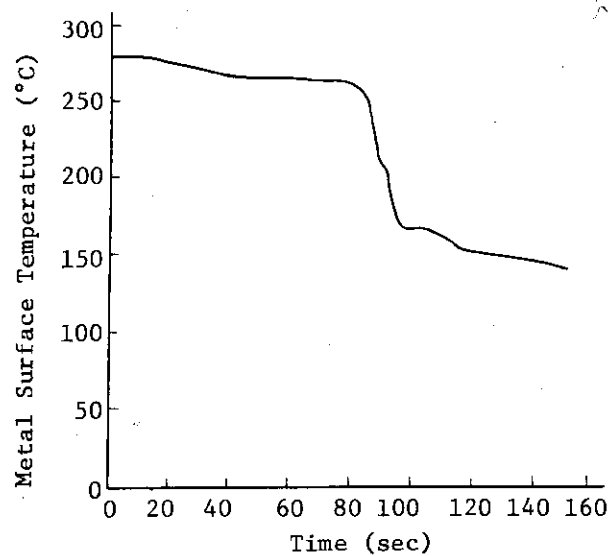
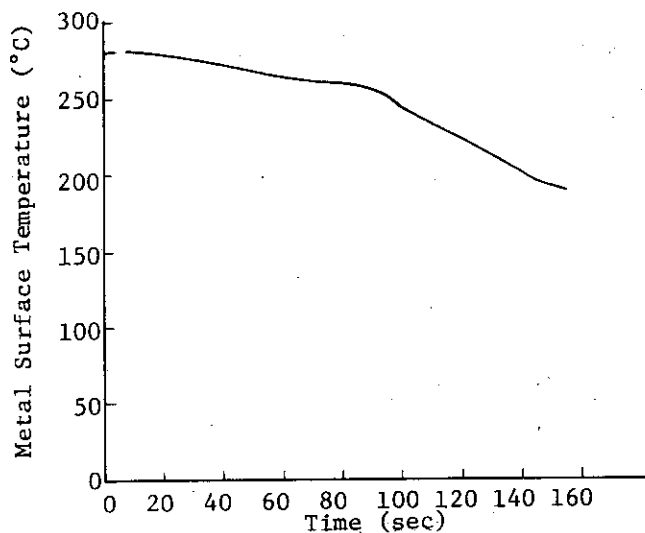


Fig.4.56 Coolant Temperature at Broken Loop Jet Pump Outlet (T25, AT14&TS14)

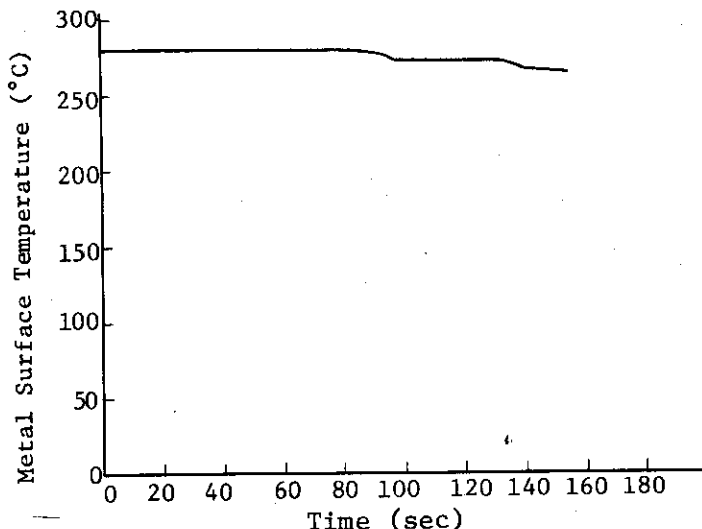
**JAERI-M 8300**



**Fig.4.57 Bypass Side Surface Temperature of Vessel Filler, (TS15 and 18, Heat Slab 18 Left)**



**Fig.4.58 Downcomer Side Surface Temperature of Vessel Filler, (TS21 and 24, Heat Slab 18 Right)**



**Fig.4.59 Surface Temperature of Upper Downcomer, (TS30, Heat Slab 37 Right)**

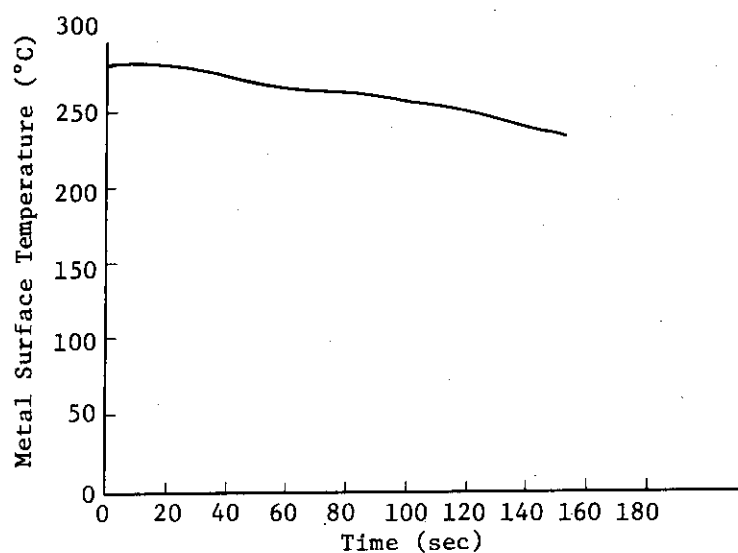


Fig.4.60 Surface Temperature of Downcomer Wall,  
(TS31, Heat Slab 20 Right)

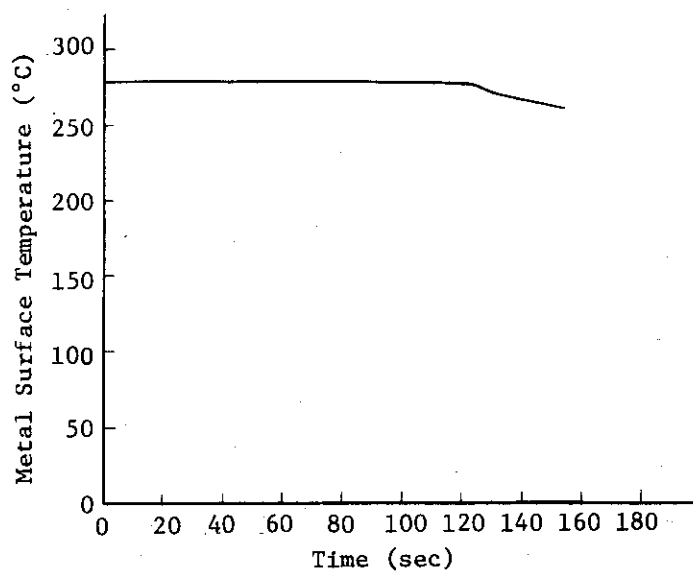


Fig.4.61 Surface Temperature of Lower Plenum Wall,  
(TS36, Heat Slab 13 Right)

JAERI-M 8300

RUN 703 CORE PREDICTION VOL 021776

□1 R STVS

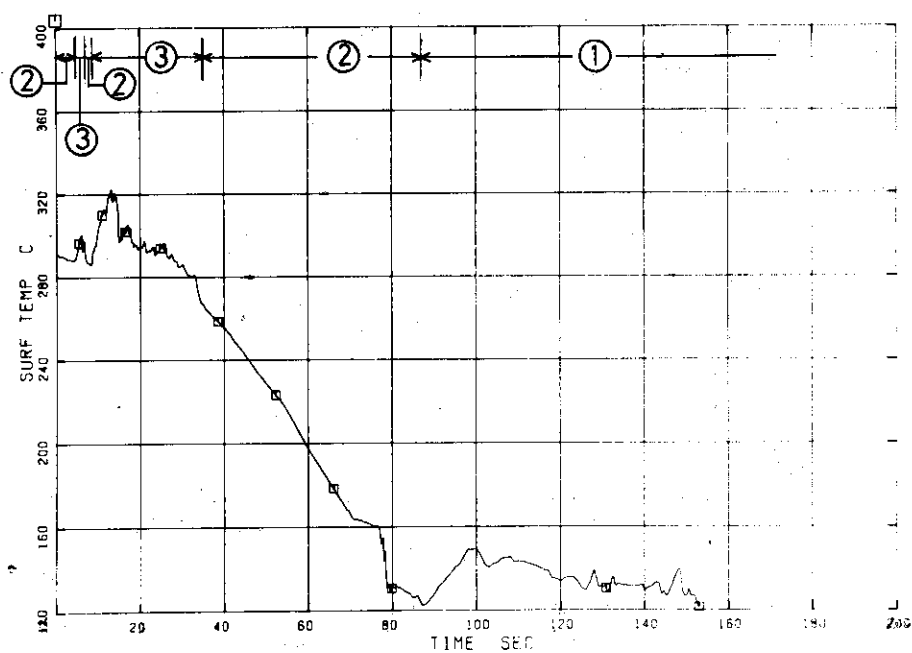


Fig.4.62 Heater Rod Surface Temperature, Position 1  
(TF1, 8, 22, 29, 39, 50 and 58; Heat Slab 12)

RUN 703 CORE PREDICTION VOL 021776

□1 R STVS

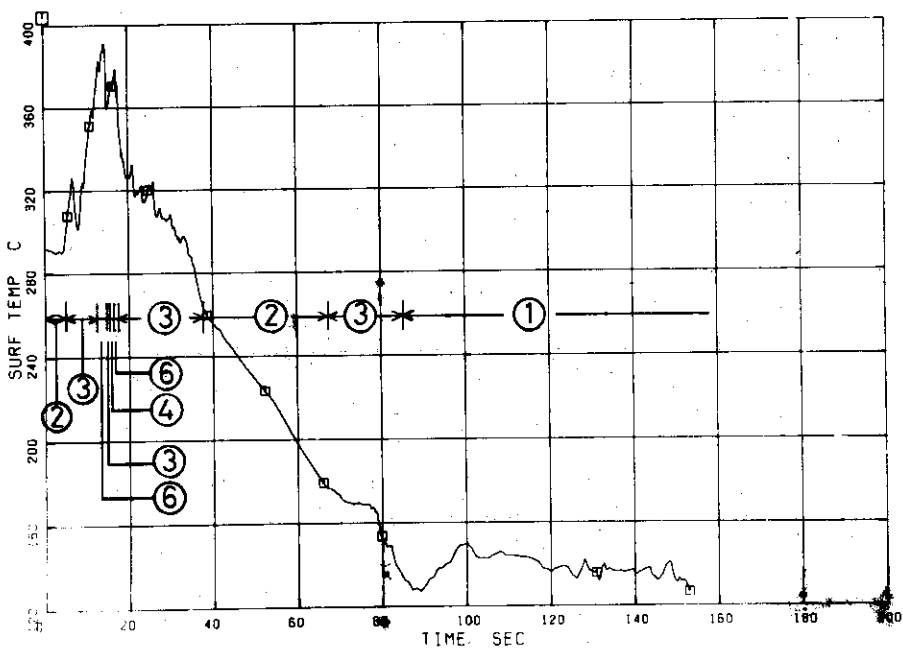


Fig.4.63 Heater Rod Surface Temperature, Position 2  
(TF2, 9, 16, 23 and 30, Heat slab 10)

JAERI-M 8300

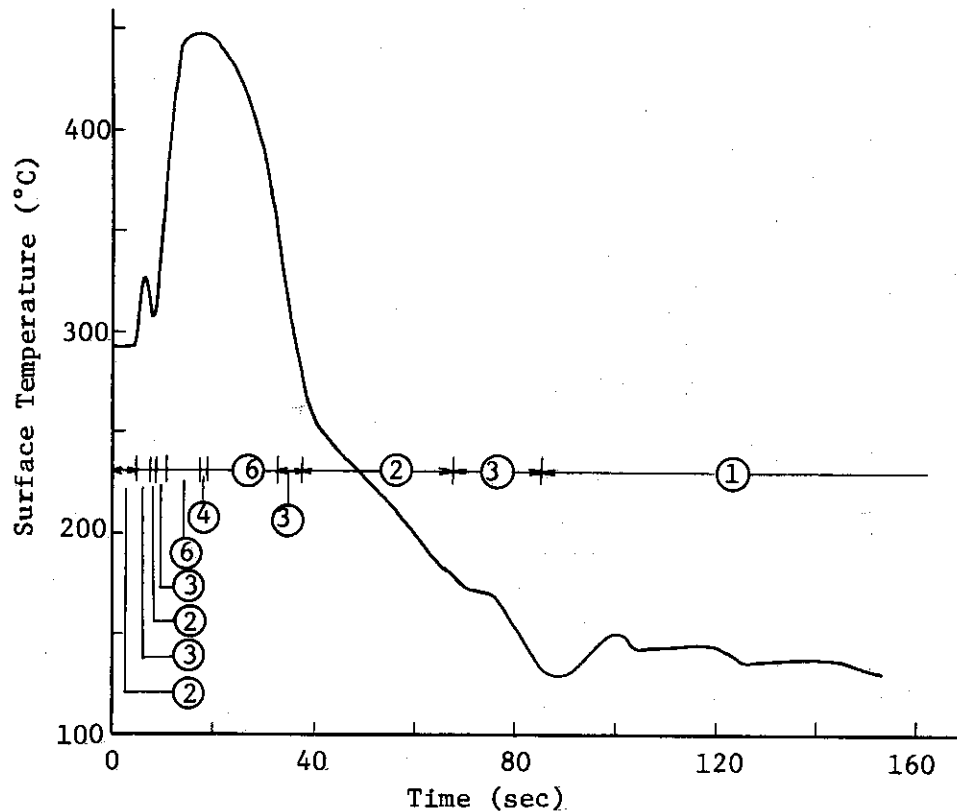


Fig. 4.64 Heater Rod Surface Temperature, Position 3  
(TF3, 10, 17, 24, 51, 55, 59, 63 and 66,  
Heat Slab 9)

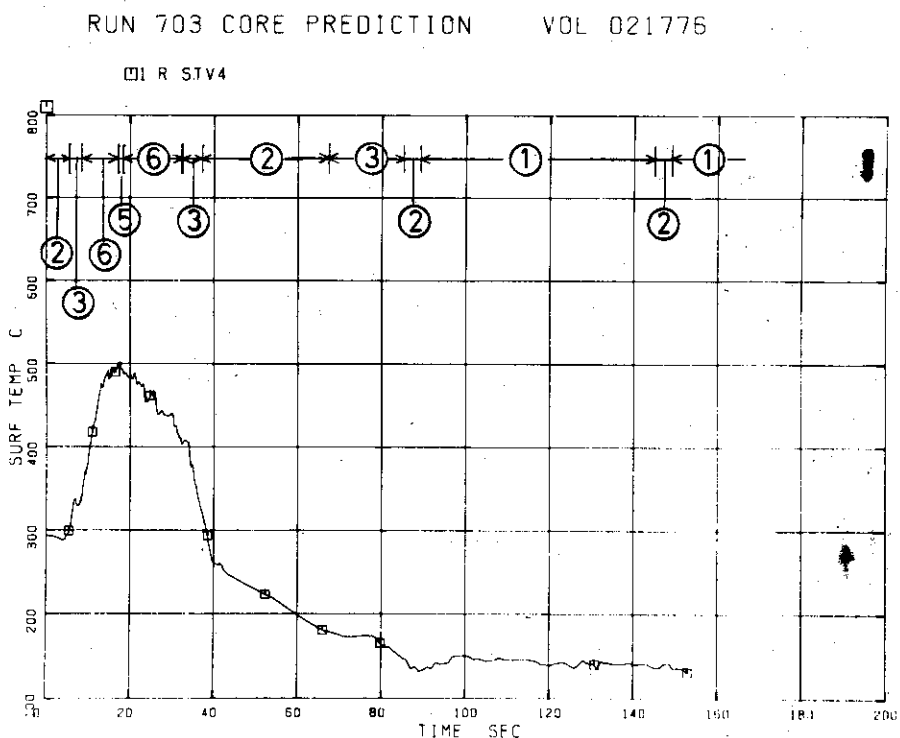


Fig.4.65 Heater Rod Surface Temperature, Position 4  
(TF4, 11, 18, 25, 32, 37, 41, 45, 48, 52, 56, 60, 64 and  
67; Heat Slab 7)

JAERI-M 8300

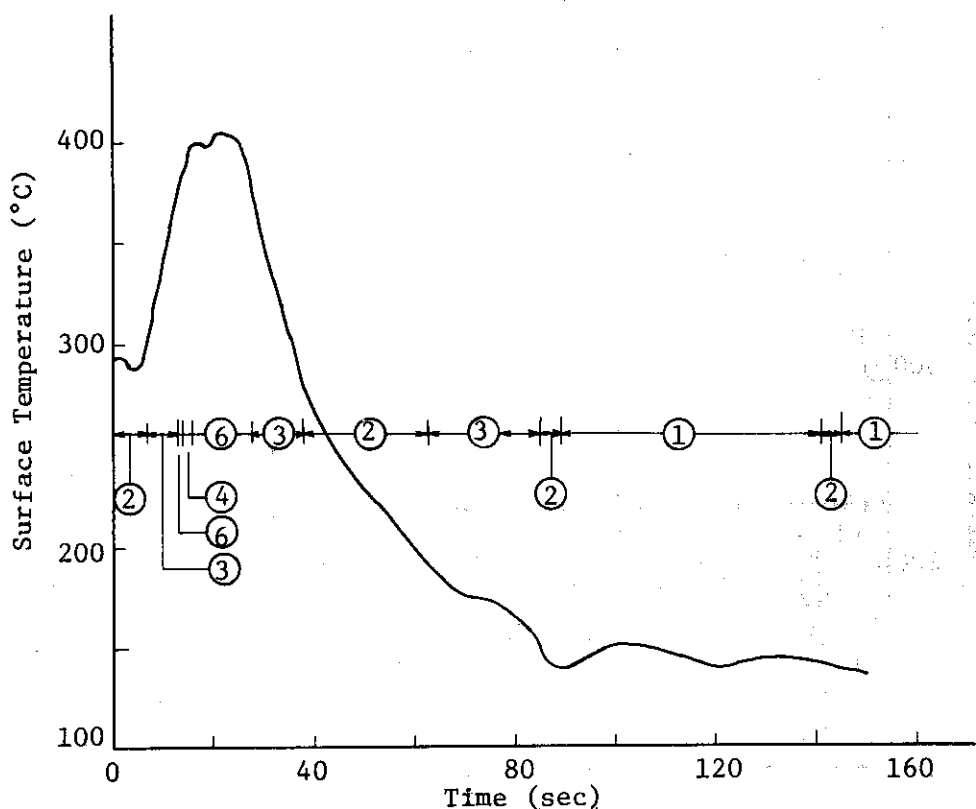


Fig. 4.66 Heater Rod Surface Temperature, Position 5  
 (TF5, 12, 19, 26, 33, 38, 42, 46, 49, 53,  
 57, 61, 65 and 68; Heat Slab 5)

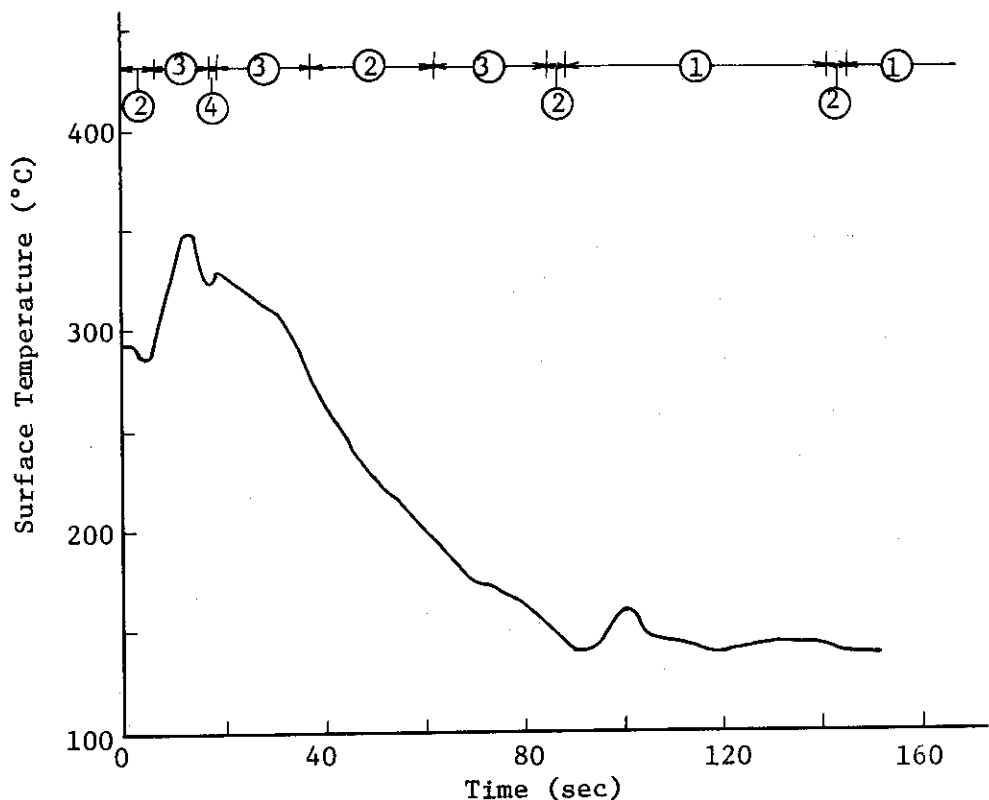


Fig. 4.67 Heater Rod Surface Temperature, Position 6  
 (TF6, 13, 20, 27 and 34; Heat Slab 4)

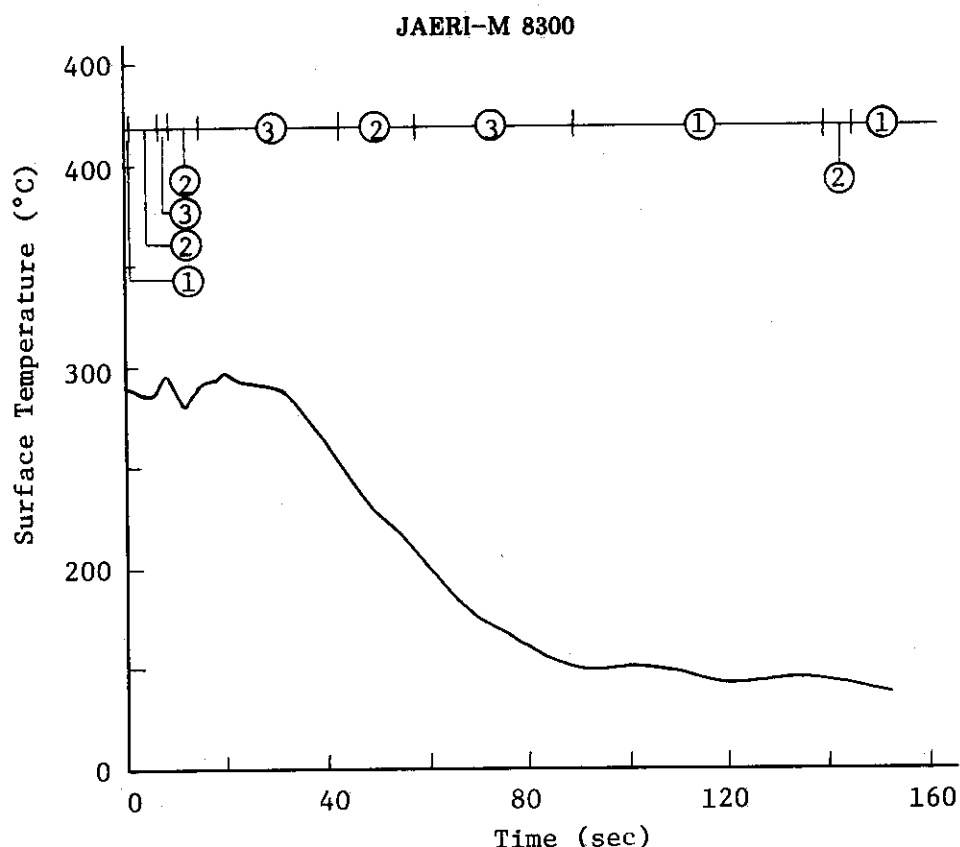


Fig. 4.68 Heate Rod Surface Temperature, Position 7  
(TF7, 14, 21, 28, 35, 43, 54 and 62; Heat Slab 2)

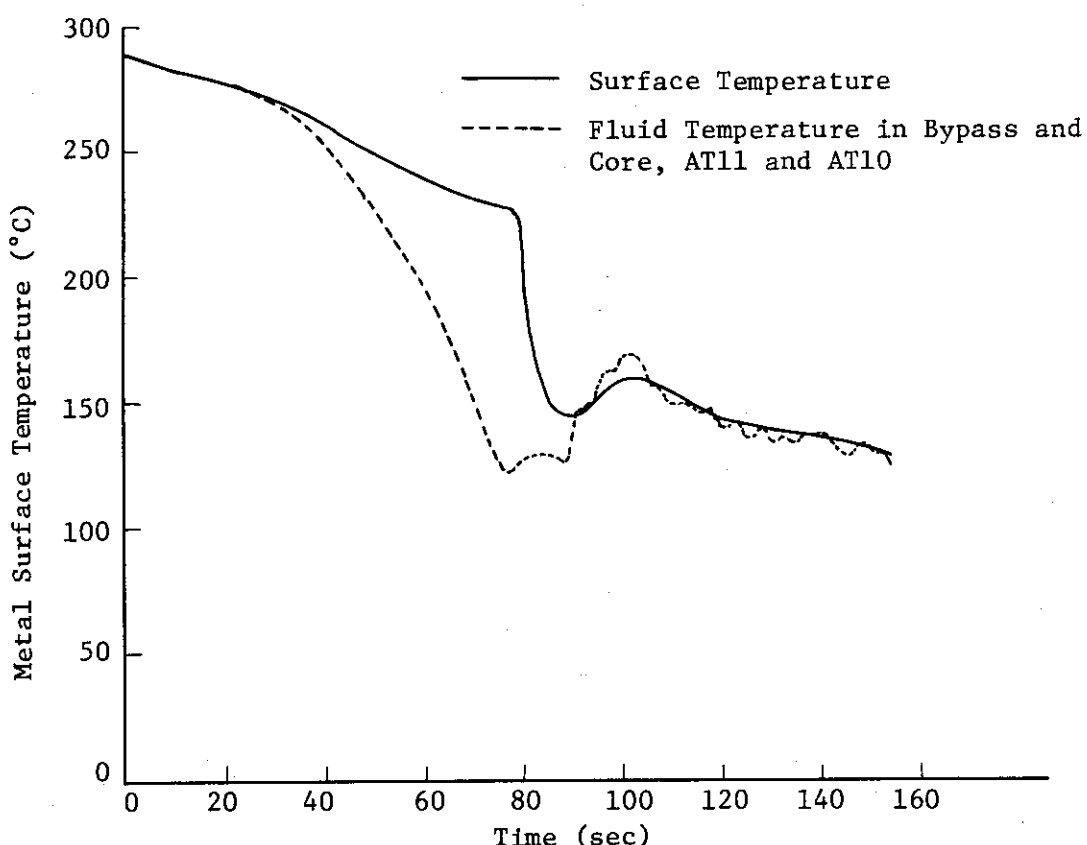


Fig. 4.69 Surface Temperature of Channel Box inner Wall,  
(TB1~14, Heat Slab 6 Left)

**JAERI-M 8300**

ROSH3 RUN 703 PREDICTION

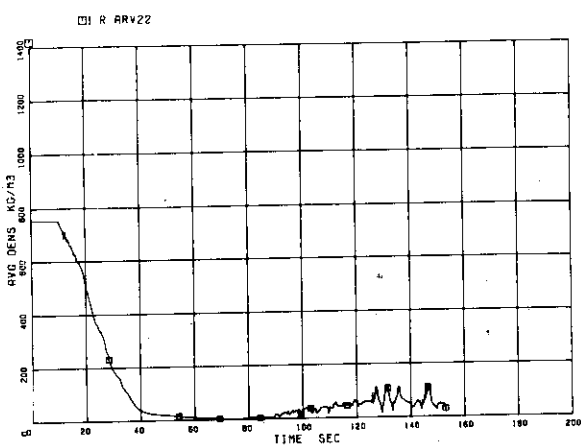


Fig.4.70 Fluid Density at Intact Loop Jet Pump Outlet  
(DF1, DF2&DF3, AR22)

ROSA3 RUN 703 PREDICTION

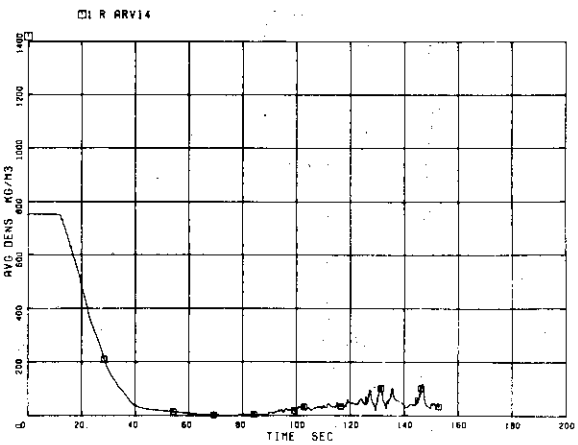


Fig.4.71 Fluid Density at Broken Loop Jet Pump Outlet  
(DF4, DF5 & DF6, AR14)

ROSA3 RUN 703 PREDICTION

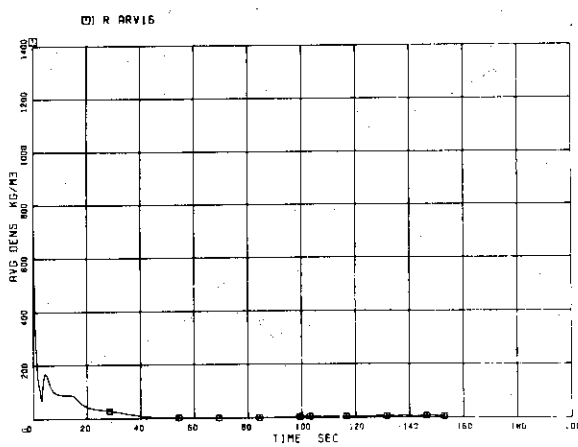
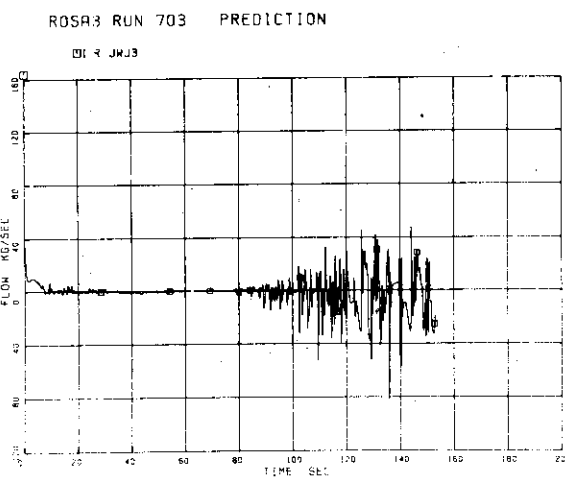
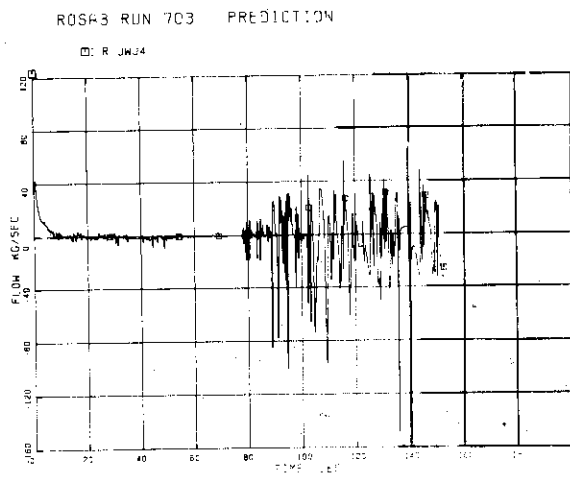


Fig.4.72 Fluid Density at Break A  
(DF7&DF8, AR16)

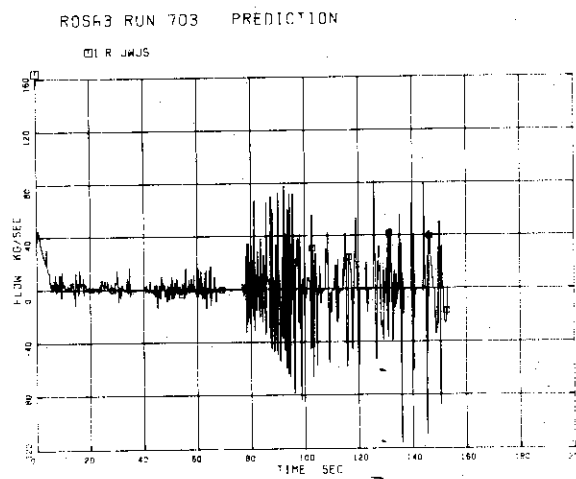
**JAERI-M 8300**



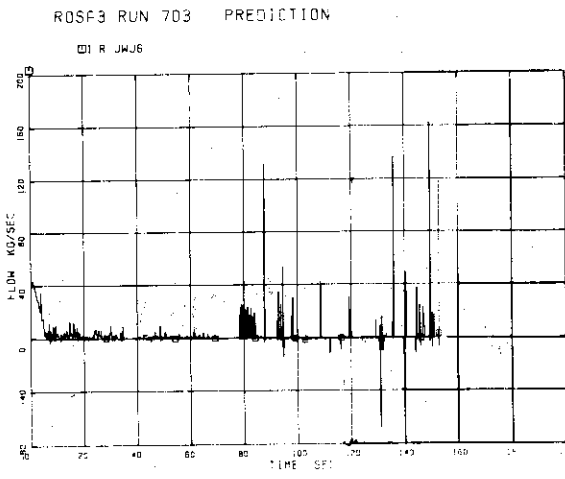
**Fig.4.73** Flowrate at lower Tie Plate,  
JW3



**Fig.4.74** Flowrate at Upper Tie Plate,  
JW4

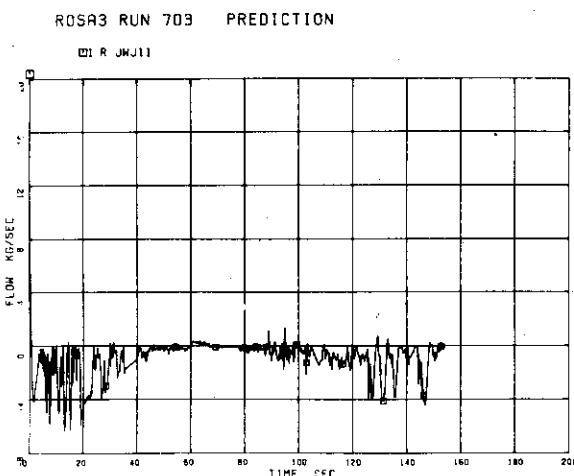


**Fig.4.75** Flowrate at Steam Separator  
Inlet, JW5

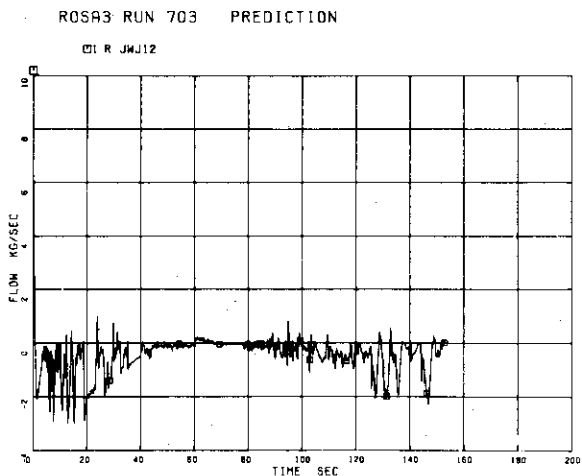


**Fig.4.76** Flowrate at Steam Separator  
Outlet, JW6

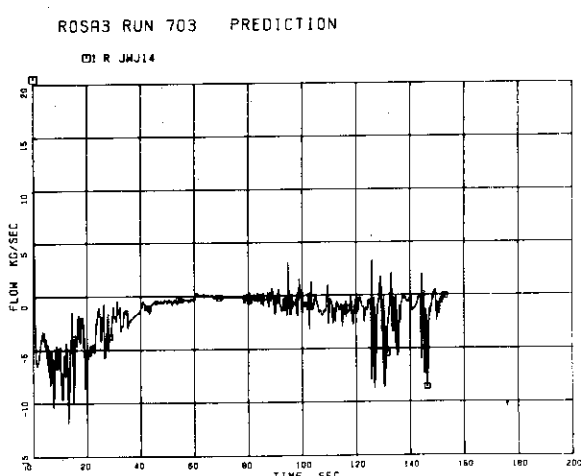
**JAERI-M 8300**



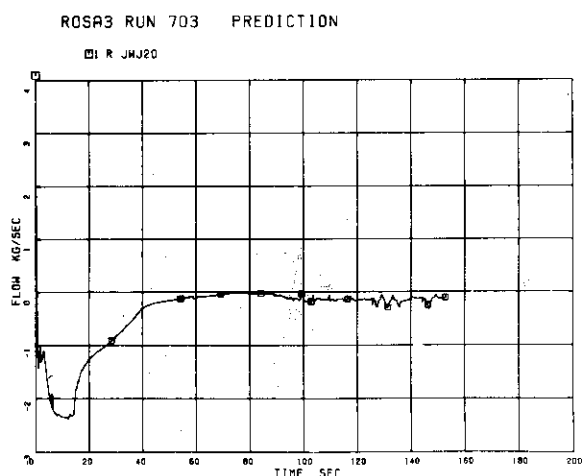
**Fig.4.77** Flowrate at Outlet from Downcomer to Broken Loop Jet Pump3 Section, JW11



**Fig.4.78** Flowrate at Broken Loop Jet Pump Suctions, JW12 and JW36

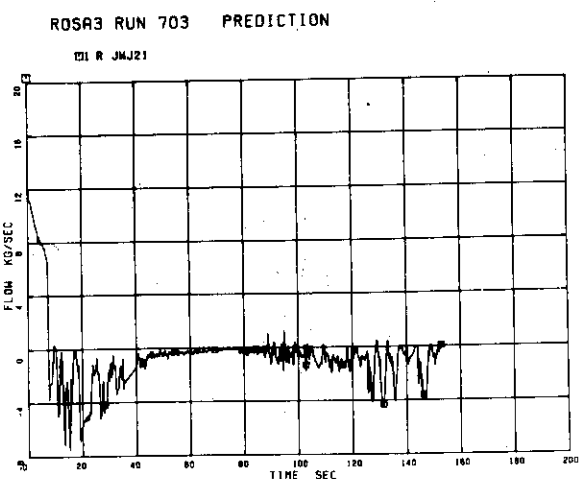


**Fig.4.79** Flowrate at Broken Loop Recirculation Flow Inlet to Lower Plenum, JW14

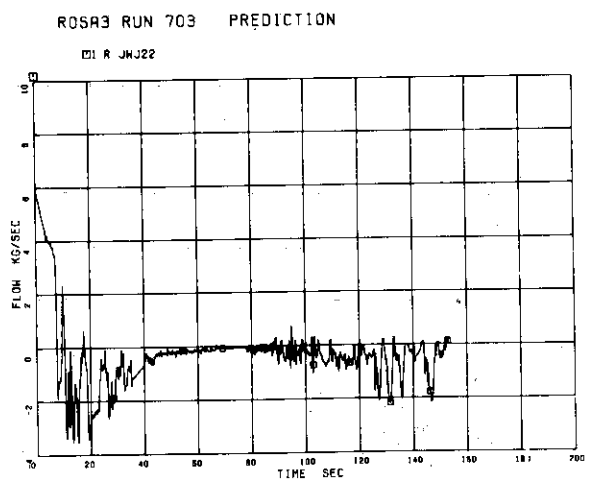


**Fig.4.80** Flowrate at Broken Loop Jet Pump Drive Nozzles, JW20 and JW37

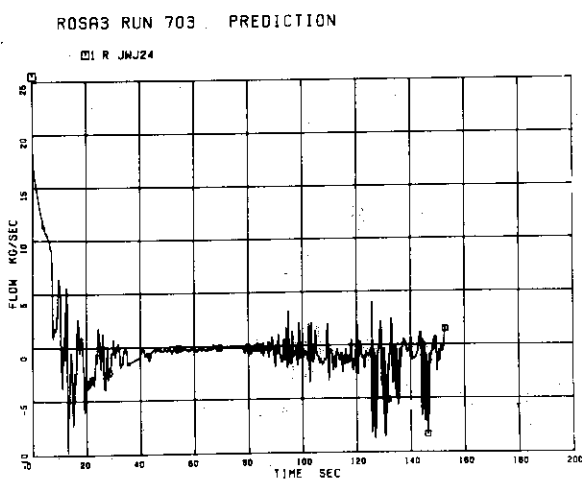
**JAERI-M 8300**



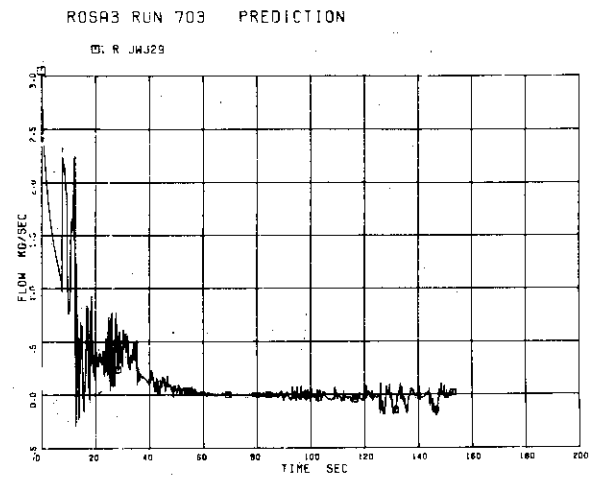
**Fig.4.81** Flowrate at Outlet from Downcomer to Intact Loop Jet Pump Suction, JW21



**Fig.4.82** Flowrate at Intact Loop Jet Pump Suctions, JW22 and JW39

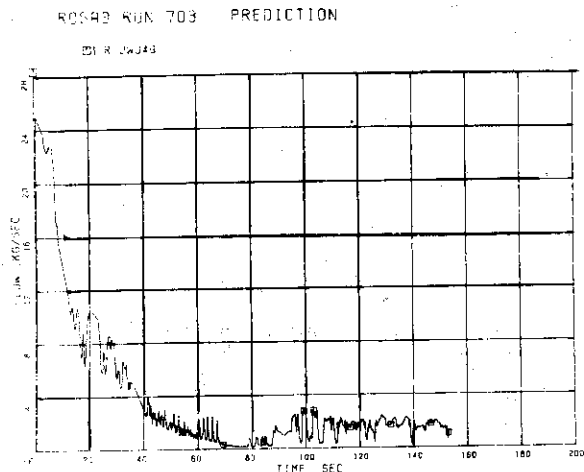


**Fig.4.83** Flowrate at Intact Loop Recirculation Flow Inlet to Lower Plenum, JW24

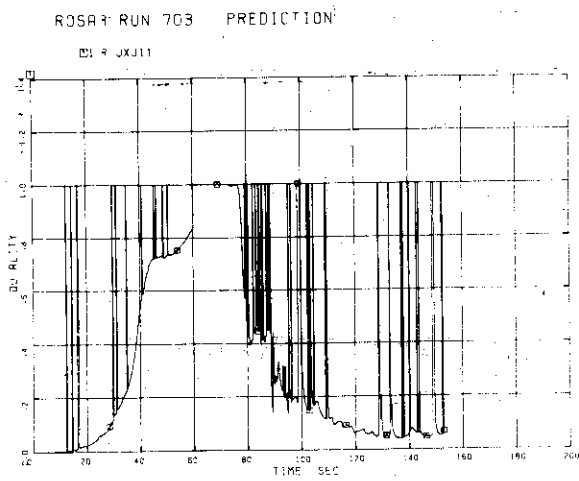


**Fig.4.84** Flowrate at Intact Loop Jet Pump Drive Nozzle, JW29 and JW40

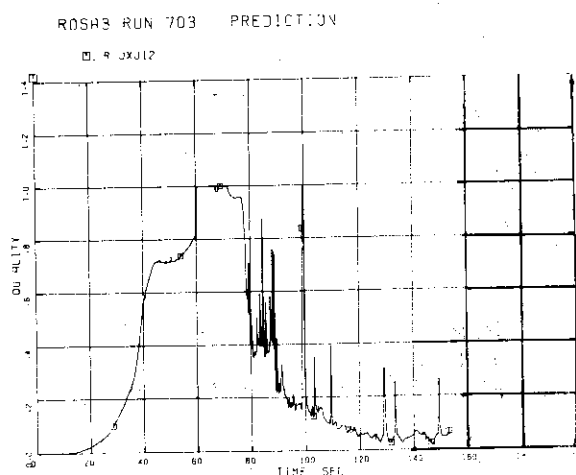
**JAERI-M 8300**



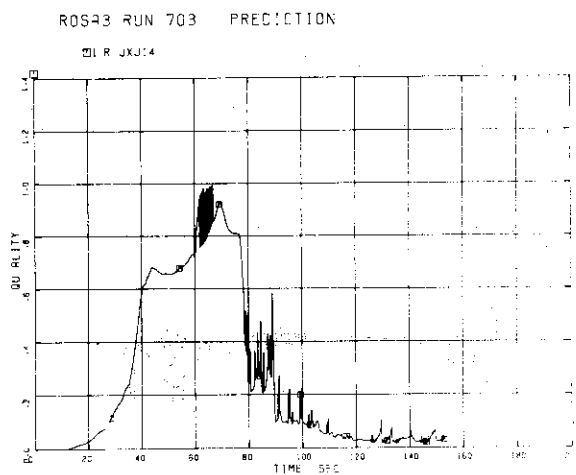
**Fig.4.85 Flowrate at Vessel Side Break Plane, JW49**



**Fig.4.86 Junction Quality at Outlet from Downcomer to Broken Loop Jet Pump Suction, JXJ11**



**Fig.4.87 Junction Quality at Broken Loop Jet Pump Suction, JXJ12**



**Fig.4.88 Junction Quality at Broken Loop Recirculation Flow Inlet to Lower Plenum, JXJ14**

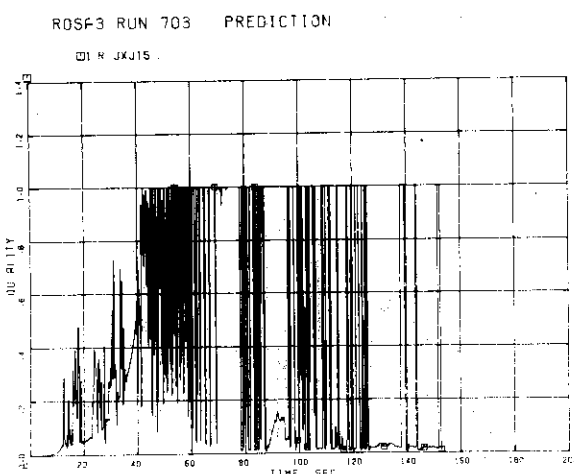


Fig.4.89 Junction Quality at Outlet from Downcomer to Broken Loop Recirculation Pump, JX15

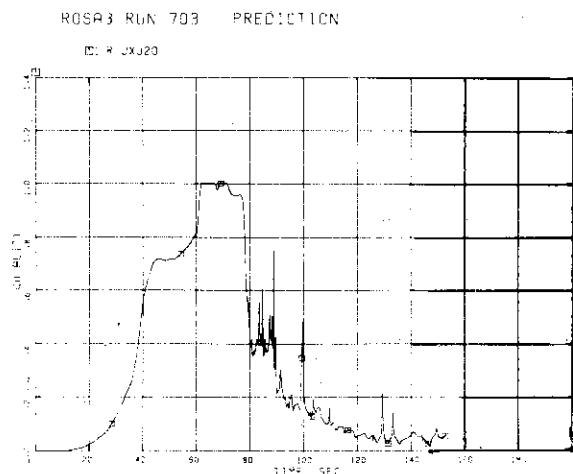


Fig.4.90 Junction Quality at Broken Loop Jet Pump Drive Nozzle, JX20

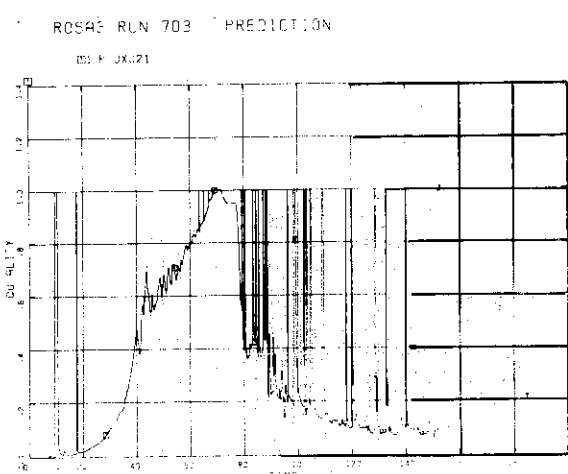


Fig.4.91 Junction Quality at Outlet from Downcomer to Intact Loop Jet Pump Suction, JX21

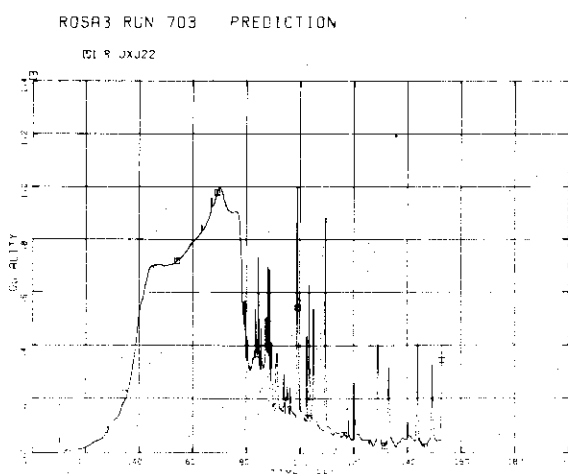


Fig.4.92 Junction Quality at Intact Loop Jet Pump Suction, JX22

JAERI-M 8300

ROSA3 RUN 703 PREDICTION

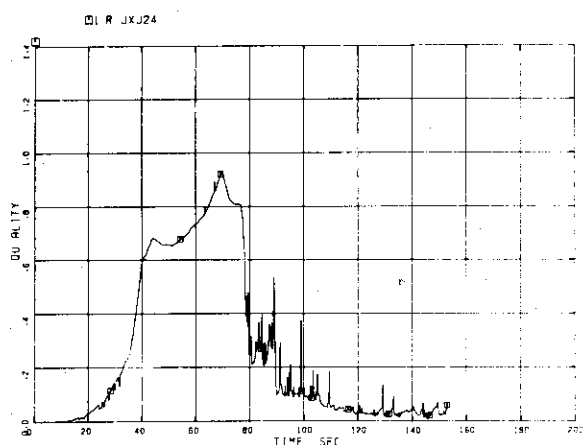


Fig.4.93 Junction Quality at Intact Loop Recirculation Flow Inlet to Lower Plenum, JX24

ROSA3 RUN 703 PREDICTION

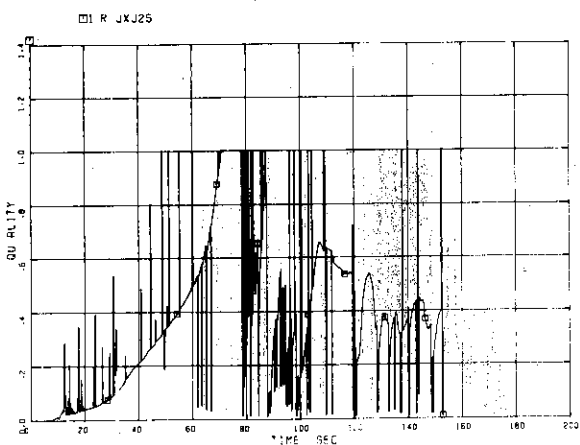


Fig.4.94 Junction Quality at Outlet from Downcomer to Intact Loop Recirculation Pump, JX25

ROSA3 RUN 703 PREDICTION

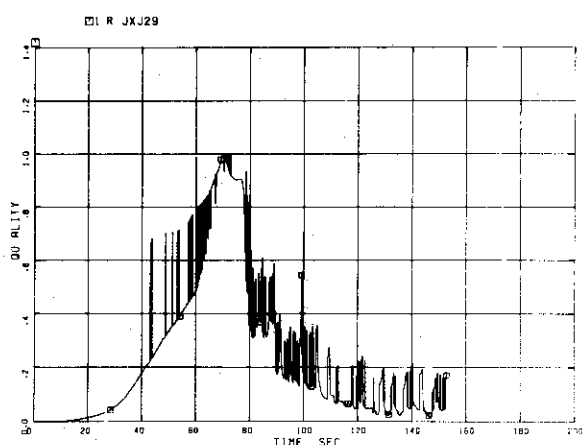


Fig.4.95 Junction Quality at Intact Loop Jet Pump Drive Nozzle, JX29

ROSA3 RUN 703 PREDICTION

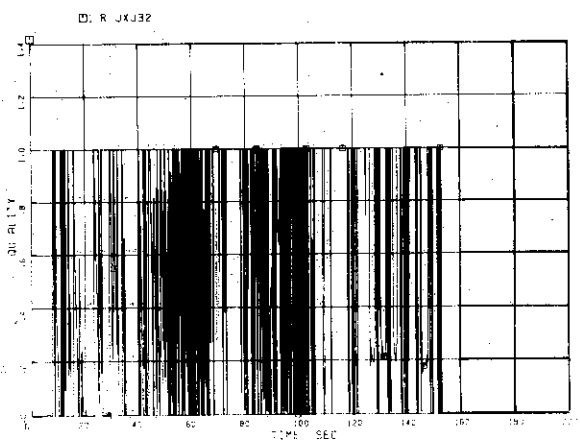
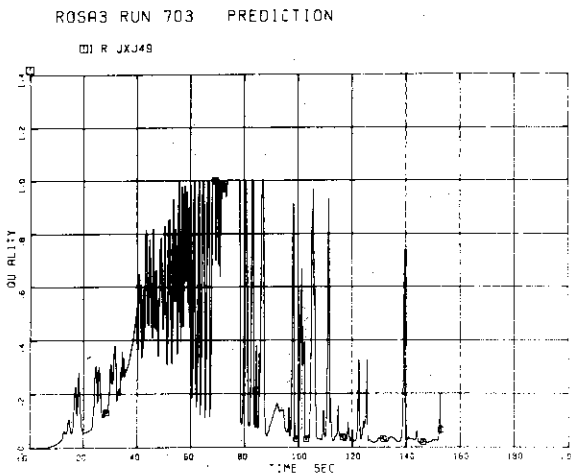
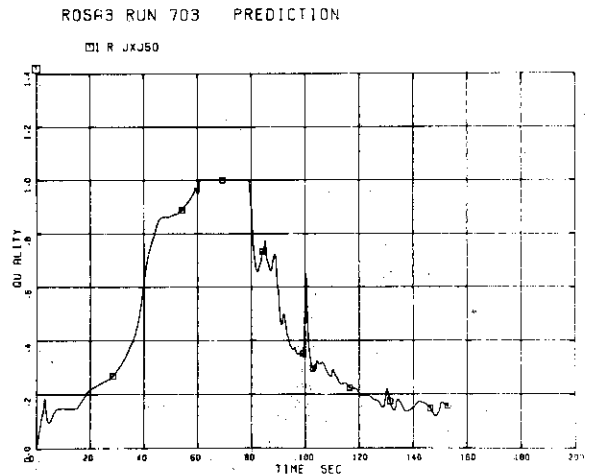


Fig.4.96 Junction Quality at Downcomer Inlet, JX32

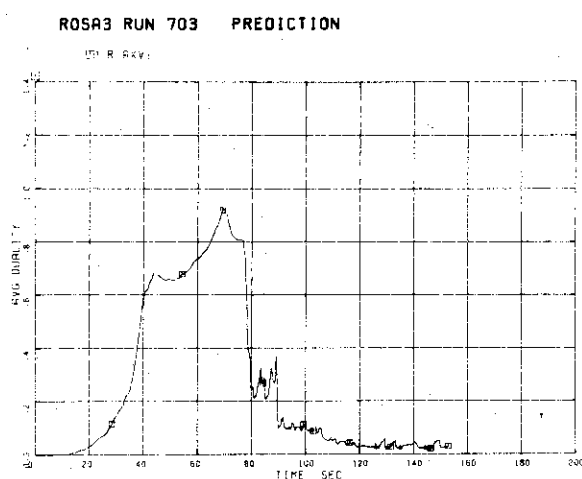
**JAERI-M 8300**



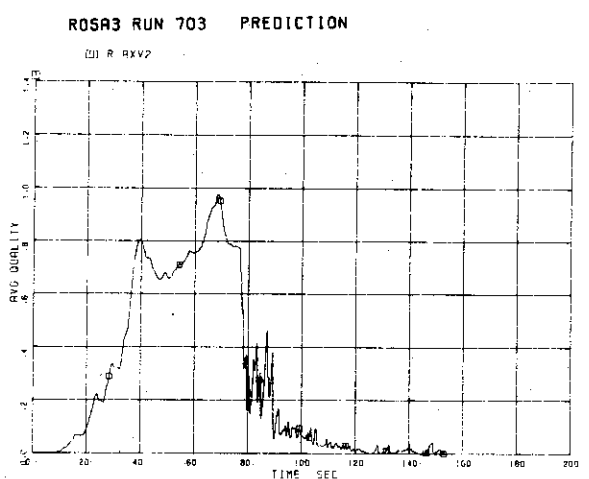
**Fig.4.97 Junction Quality at Vessel Side Break Plane, JX49**



**Fig.4.98 Junction Quality at Pump Side Break Plane, JX50**



**Fig.4.99 Average Quality in Lower Plenum Below Tie Grid, AX1**



**Fig.4.100 Average Quality in Lower Plenum above Tie Grid, AX2**

**JAERI-M 8300**

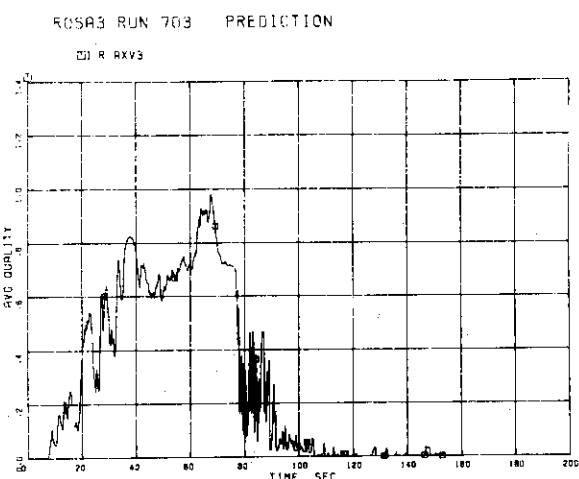


Fig.4.101 Average Quality in Core Inlet Chambers, AX3

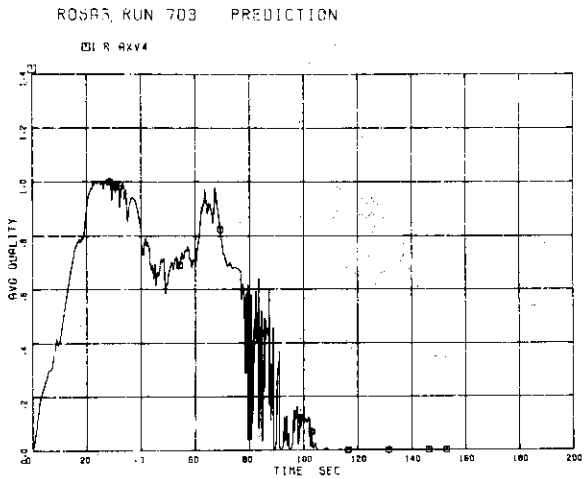


Fig.4.102 Average Quality in Core, AX4

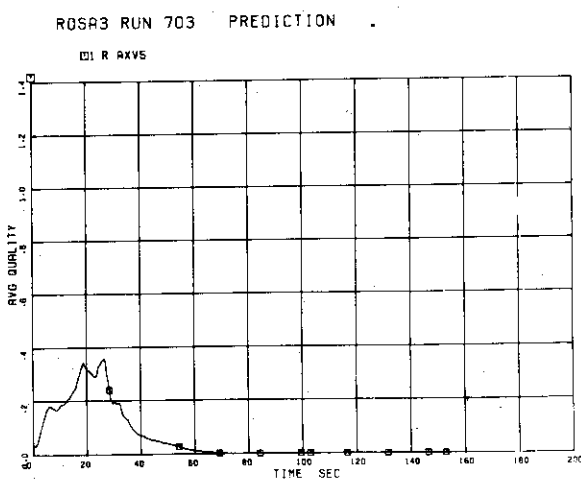


Fig.4.103 Average Quality in Upper Plenum, AX5

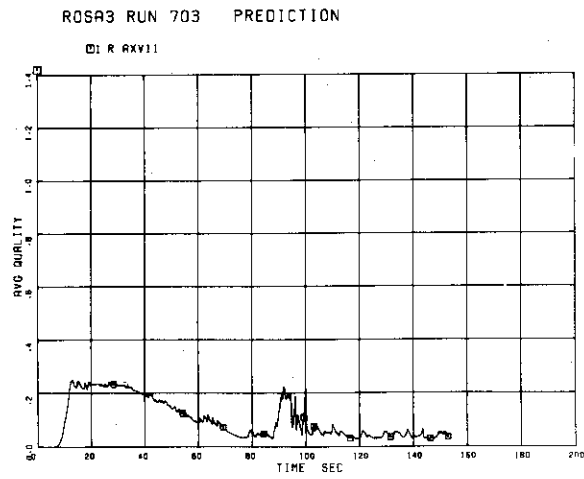
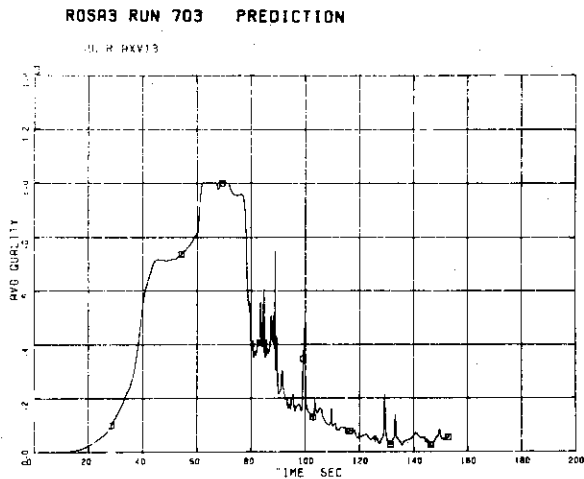
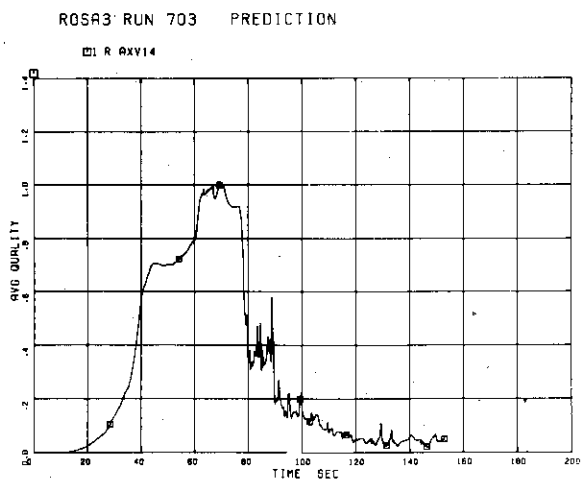


Fig.4.104 Average Quality in Downcomer, AX11

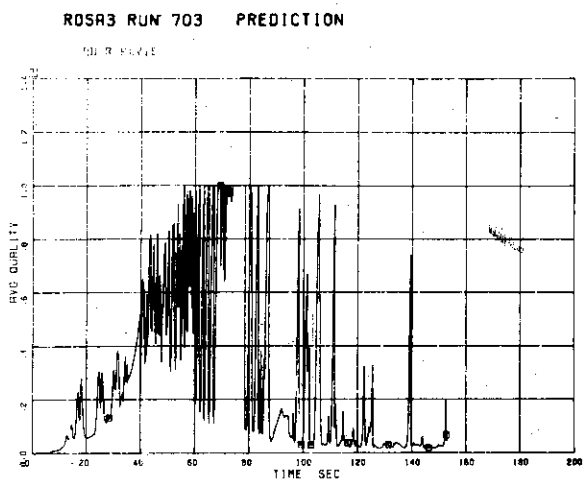
**JAERI-M 8300**



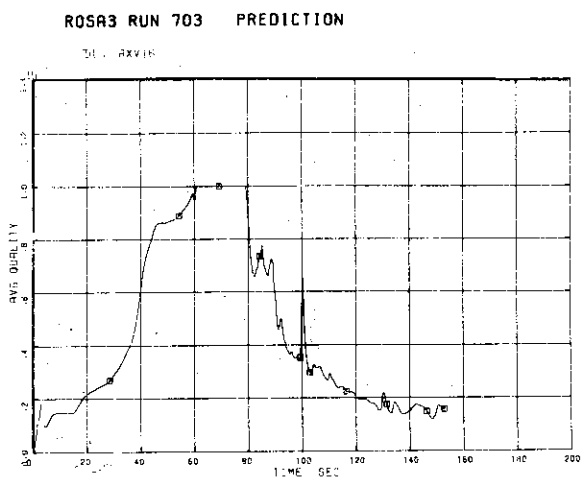
**Fig.4.105** Average Quality in Broken Loop Jet Pump, AX13



**Fig.4.106** Average Quality in Broken Loop Jet Pump Discharge Line, AX14



**Fig.4.107** Average Quality in Broken Loop Recirculation Pump Suction Line, Vessel Side, AX15



**Fig.4.108** Average Quality in Broken Loop Recirculation Line, Pump Side, AX16

JAERI-M 8300

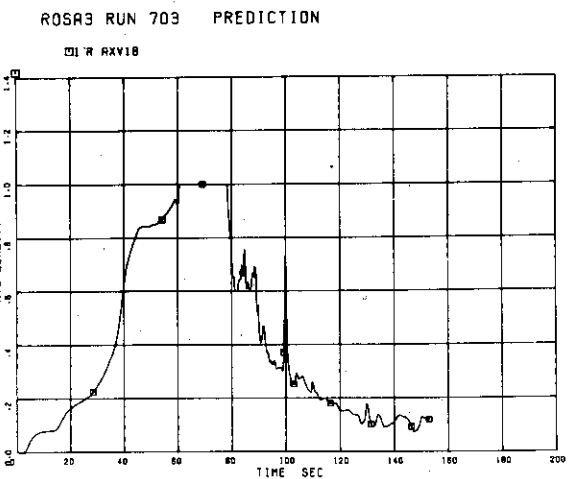


Fig.4.109 Average Quality in Broken Loop Recirculation Line, AX18

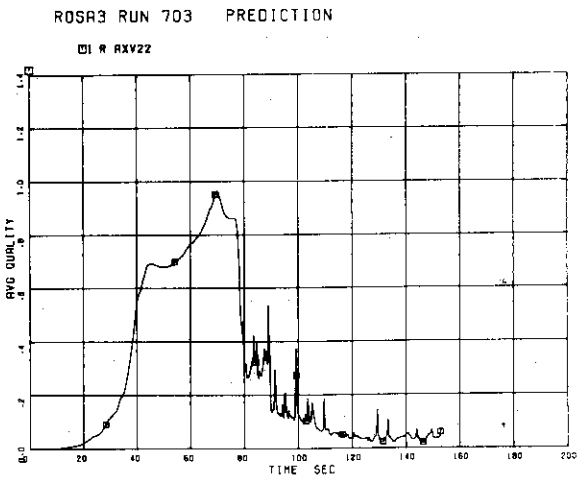


Fig.4.110 Average Quality in Intact Loop Jet Pump Discharge Line, AX22

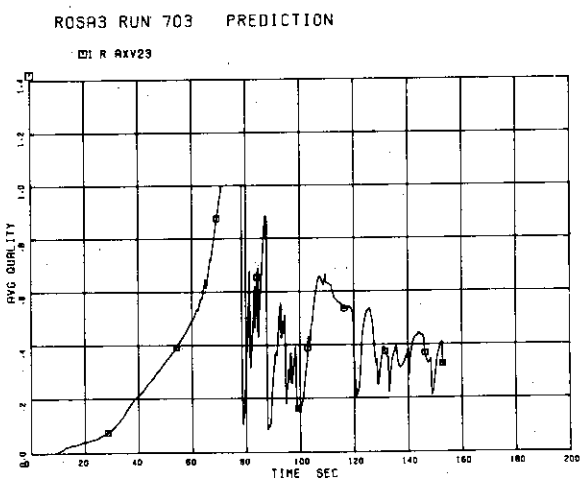


Fig.4.111 Average Quality in Intact Loop Recirculation Pump Suction Line, AX23

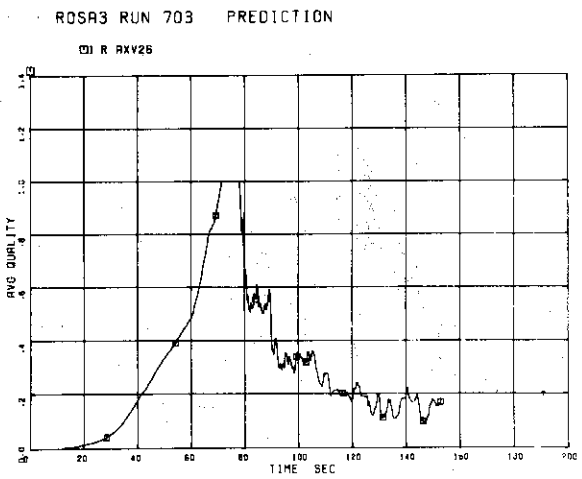


Fig.4.112 Average Quality in Intact Loop Jet Pump Drive Line, AX26

JAERI-M 8300

ROSAB RUN 703 PREDICTION

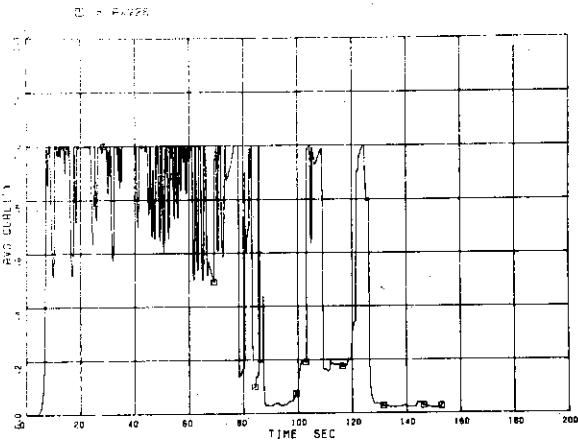


Fig.4.113 Average Quality in Upper Downcomer, AX28

ROSAB RUN 703 PREDICTION

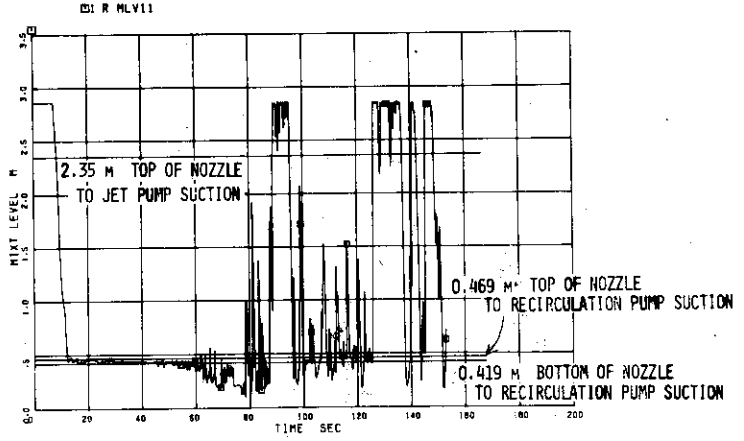


Fig.4.114 Mixture Level in Downcomer, ML11

ROSAB RUN 703 PREDICTION

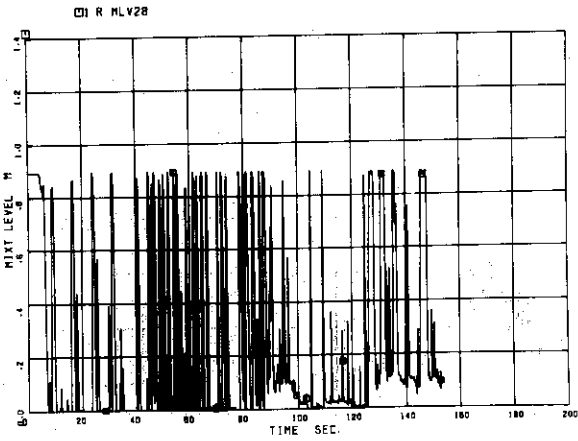


Fig.4.115 Mixture Level in Upper Downcomer, ML28

RUN 703 CORE PREDICTION V.C. 021776

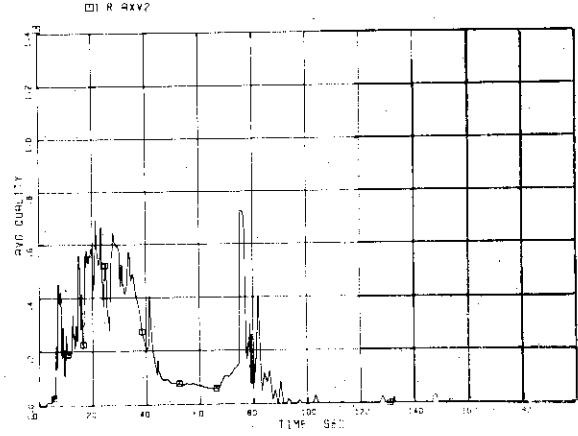


Fig.4.116 Average Quality (Core Analysis), AX2

JAERI-M 8300

RUN 703 CORE PREDICTION VOL 021776

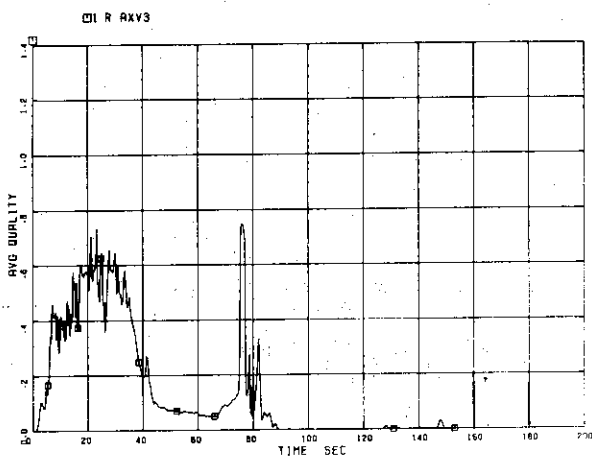


Fig.4.117 Average Quality (Core Analysis), AX3

RUN 703 CORE PREDICTION VOL 021776

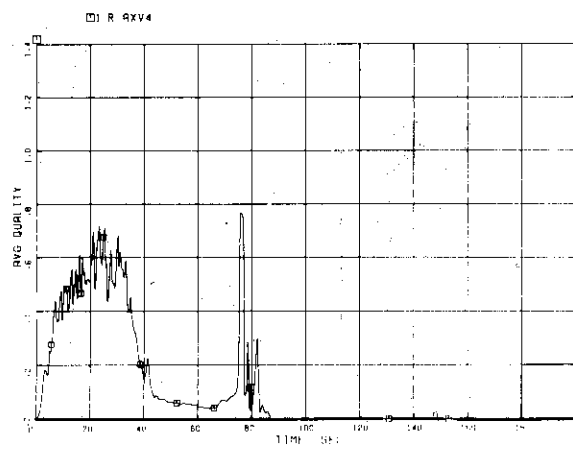


Fig.4.118 Average Quality (Core Analysis), AX4

RUN 703 CORE PREDICTION VOL 021776

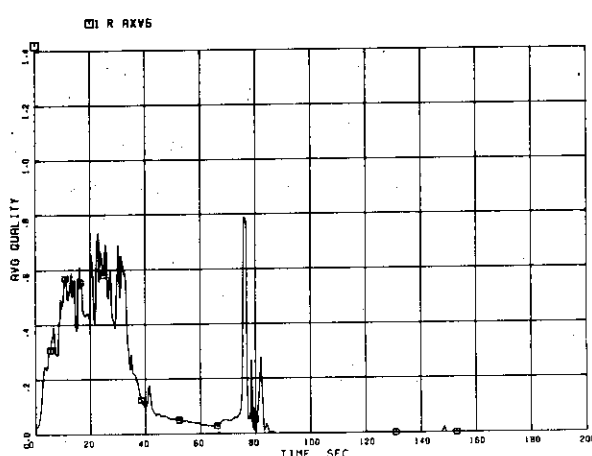


Fig.4.119 Average Quality (Core Analysis), AX5

RUN 703 CORE PREDICTION VOL 021776

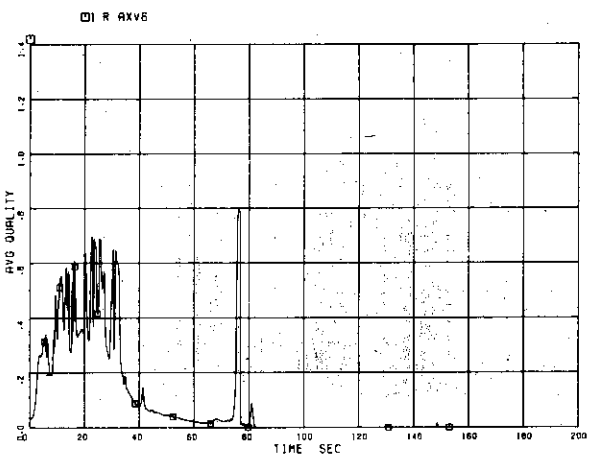


Fig.4.120 Average Quality (Core Analysis), AX6

JAERI-M 8300

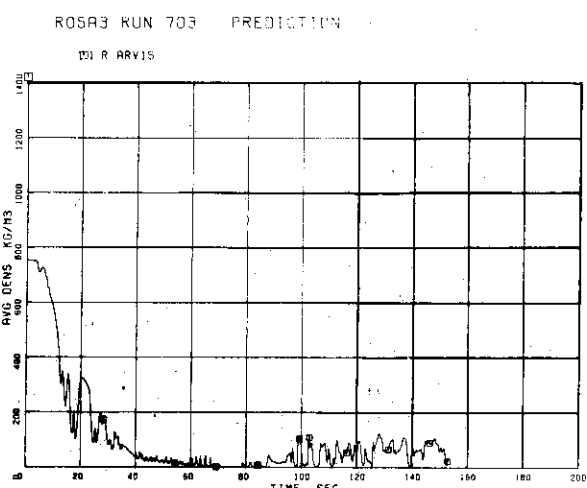


Fig. 4.121 Average Density at Break B (AR15)

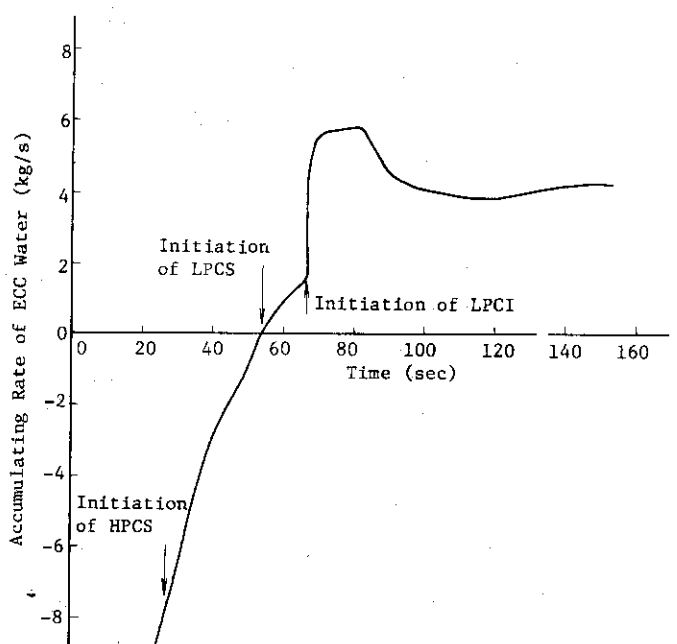


Fig. 4.122 Rate of ECC Water Accumulation

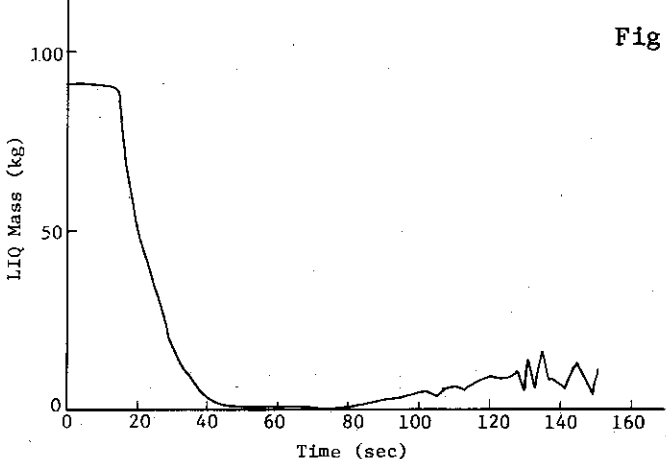


Fig. 4.123 Liquid Mass in Volume 1

## 5. 結 論

ROSAⅢ実験計画の目的は BWR LOCA 時のシステム挙動を解明し、原子炉安全性解析に用いている計算コードの検証と性能向上を図ることである。RUN 703 実験は再循環ポンプ吸込側配管破断による冷却材喪失事故の模擬実験で、ECCS (HPCS, LPCS, LPCI, ADS) を作動させる実験である。この RUN 703 実験に先立ち、計算コード RELAP 4J を用いて実験結果の予測解析を行なった。解析では、まず、炉心を 1 ボリュームとして ROSAⅢを 31 ボリューム、50 ジャンクション、41 ヒートスラブに分割し、システム全体の流動状態を計算した。次に、この結果を用いて炉心入口、出口の条件を与え、炉心を 5 ボリューム、13 ヒートスラブに分割して炉心解析を行ない、模擬燃料棒の表面温度を計算した。主な予測結果及び結論は次の通りである。

- (1) 下部プレナムフラッシングは破断後 11.2 秒で開始する。ダウンカマ内液位がジェットポンプサクションへ通じるダウンカマ出口ノズル上端位置に達したのは破断後 8.5 秒である。またダウンカマ内液位が再循環ポンプサクションに通じるダウンカマ出口ノズル上端位置に達したのは破断後 12.0 秒である。HPCS は破断後 27.0 秒、LPCS は 53.9 秒、LPCI は 66.9 秒で作動を開始する。蒸気単相放出状態に移行したのはポンプ側破断口で破断後 61.0 秒、圧力容器側では 73.9 秒である。それぞれ、79.0 秒、78.1 秒で二相流放出状態に戻る。ECC 注入流量が破断口からの全放出流量より上まわるのは破断後 54.0 秒からである。計算は 152.9 秒で終了させた。
- (2) 電気間接加熱型の模擬燃料棒表面温度は燃料棒中央部の最大発熱部で最も高くなり、破断後 9 秒から 33 秒まで表面はドライアウトし最高 500 °C となる。下部プレナムフラッシングによって rewet しない。ドライアウト期間の流路内クオリティは 0.4 以上、0.7 以下である。
- (3) 破断ループ側ジェットポンプでは破断後直ちに逆流となり、下部プレナムから、ジェットポンプ駆動流ノズルを通ってポンプ側破断口に至り流出する流れと、ジェットポンプサクション配管を通ってダウンカマに至り圧力容器側破断口から流れとが形成される。ジェットポンプ駆動流ノズル位置では破断後 18 秒から 102 秒まで臨界流状態である。
- (4) 健全側ジェットポンプではジェットポンプサクションに通じるダウンカマ出口ノズル位置にダウンカマ内液位が到達する 8.5 秒で吸込流は逆流となり、10.5 秒で吐出流も逆流となる。これ以後、下部プレナムからジェットポンプサクションを通ってダウンカマに向う逆向きの流れと、ダウンカマ下部から再循環ポンプ、ジェットポンプ駆動流ノズル、ジェットポンプサクションを通ってダウンカマに至る流れとになる。ダウンカマから再循環ポンプへの流れは 15 秒で逆流となる。
- (5) ポンプ側破断口では破断後 0.5 秒から 66 秒までおよび 92 秒から 139.2 秒まで、また圧力容器側破断口では 0.5 秒から 80 秒までおよび 86 秒から 計算終了時まで臨界流状態であった。
- (6) RELAP 4J では、縦に連続したボリューム内の液位を計算する場合、それぞれのボリューム内に液位が存在する計算結果が出てしまう。これをより現実的に 1 つの液位にする工夫が必要である。

- (7) 計算コード上, 未飽和水で満たされているボリュームから隣接するボリュームに未飽和水が流れ出し, (飽和) 蒸気, 飽和二相流体と混合する場合, 計算結果は振動的で不安定となる。この混合がよりなめらかに行なえるよう計算手法を改良する必要がある。
- (8) ROSAⅢで用いている再循環ポンプのポンプ特性曲線をより完全な物にするため, 二相流特性を含めたポンプ特性実験を行なう必要がある。
- (9) ダウンカマ内液位と破断側, 健全側両ループのジェットポンプの駆動流, 吐出流の流量, 流れの方向, クオリティが系の挙動を把握するのに重要な役割を果している。従って, これらの計測を強化することが重要である。
- (10) ROSAⅢ実験結果を解析するにあたって, 計算コードの入力初期条件としてできるだけ多くの実験データを用い得るように, 差圧, 流量の計測点を増やす必要がある。

#### 謝 辞

本報をまとめるにあたり, 安全工学第1研究室安達公道氏ならびに安全試験技術室伊藤秀雄氏, 大崎秀機氏より多くの助言, 教示を賜りました。ここに深く感謝の意を表します。

- (7) 計算コード上, 未飽和水で満たされているボリュームから隣接するボリュームに未飽和水が流れ出し, (飽和) 蒸気, 飽和二相流体と混合する場合, 計算結果は振動的で不安定となる。この混合がよりなめらかに行なえるよう計算手法を改良する必要がある。
- (8) ROSAⅢで用いている再循環ポンプのポンプ特性曲線をより完全な物にするため, 二相流特性を含めたポンプ特性実験を行なう必要がある。
- (9) ダウンカマ内液位と破断側, 健全側両ループのジェットポンプの駆動流, 吐出流の流量, 流れの方向, クオリティが系の挙動を把握するのに重要な役割を果している。従って, これらの計測を強化することが重要である。
- (10) ROSAⅢ実験結果を解析するにあたって, 計算コードの入力初期条件としてできるだけ多くの実験データを用い得るように, 差圧, 流量の計測点を増やす必要がある。

#### 謝 辞

本報をまとめるにあたり, 安全工学第1研究室安達公道氏ならびに安全試験技術室伊藤秀雄氏, 大崎秀機氏より多くの助言, 教示を賜りました。ここに深く感謝の意を表します。

## 参考文献

- (1) 田坂完二, 他3名, “冷却材喪失事故における ROSAⅢと BWRとの相似性の検討(ROSAⅢの予備解析)”, JAERI-M 6703 (9.1976).
- (2) 北口秀美, 他4名, “ROSAⅢ試験の予備解析〔Ⅰ〕(再循環配管破断)”, JAERI-M 7488 (2.1978).
- (3) 北口秀美, 他3名, “ROSAⅢ試験の予備解析(Ⅲ)”, JAERI-M 7791 (8.1978).
- (4) Soda, K., “Prediction of ROSAⅢ Experiment-RUN 701”, JAERI-M 7712 (6.1978).
- (5) 望月洋志, 他4名, “軽水炉の LOCA 解析コード RELAP 4J (RELAP 4-MOD 2 の改良について)”, JAERI-M 7506 (2.1978).
- (6) 小泉安郎, 他2名, “ROSAⅢ RUN 702 実験の予測解析”, JAERI-M 7970 (11.1978).
- (7) “General Electric Standard Safety Analysis Report, BWR/6”, DOCKET-STN-50447-48, GE. Co. (1975).
- (8) Moore, K. V., et. al., “RELAP 4A Computer Program for Transient Thermal-Hydraulic Analysis”, ANCR-1127 (1973).
- (9) Moody, F. J., “Maximum Flow Rate of a Single Component Two Phase Mixture”, J. Heat Transfer. 87(1), 134 (1965).
- (10) Zaloudek, F. R., “The Critical Flow of Hot Water through Short Tubes”, HW-77594 UC-38, Engineering Equipment.
- (11) Wilson, J. F., et. al., “The Velocity of Rising Steam in a Bubbling Two-Phase Mixture”, Trans. Am. Nucl. Soc., 5, 151 (1962).

## 付録1. システム全体の解析に用いた入力データリスト

FACOM 230-75 (MT) L I B E 77.11.21 ( V-03 L-12 ) 79/04/04

PAGE-0002

## SOURCE ELEMENT LIST (BRIT MODE)

ELEMENT NAME ((R703AGAI)) ESTABLISHED 78.11.08

```

* ROSA-3 ANALYSIS BY RELAP4J
* TITLE
* ROSA3K
***PROBLEM DIMENSIONS***
* LOMP NTC NVOL NTDV NPMPC NLK NSLB NMAT NHTX
* NEDI NTRP NBUB NJUN NCKV NFLL NGOM NCOR ISPKOG
010001 -2 4 5 16 31 3 0 50 2 4 3 5 41 20 7 1 0
* ***PROBLEM CONSTANTS***
* POWER OMEGA POUTL POUTH TOUTL TOUTH
010002 3.733 1.0
* ***PROGRAM OPTION***
* INPUT OUTPUT
* 10DC5 0 0 *
* 10007 10 0.4 0.05 0.8 *
***EDIT VARIABLES***
* 020002 AP 27 ML 27 JW 45 JW 49 JW 50 JW 47 JW 42 JW 43 JW 44
* ***TIME STEP CONTROL CARDS***
* NMIN NMAX NDMP NCHK DELTM RTMIN TLAST ENDCPU
030010 50 1 2 -2 1.0-2 1.0-6 0.5
030020 20 5 2 -2 5.0-3 1.0-6 2.1
030030 20 10 2 -2 1.0-2 1.0-6 10.0
030040 20 20 2 -2 1.0-2 1.0-6 50.0
030050 100 5 2 -2 0.5-2 1.0-6 200.0
*
***DETAILED EDIT 030002*** = NOT USED =
* WATER PACKING ETC. 030003 *** = NOT USED =
* MEDIUM LEVEL SMOOTHING 030004 *** = NOT USED =
* TRIP CONTROLS**
* ITRIP IPSTG IX1 IX2 SETPT DELAY
040010 1 1 0 0 .900, 0. * END BY TIME
040020 2 1 0 0 .001 0. * START OF BREAK
040030 3 1 0 0 .001 0. * FEED WATER PUMP ON
040040 4 1 0 0 .001 0. * MAIN STM VALV OPN
040050 5 1 0 0 .001 27.0 * HPCS TIMER SET
040060 6 -4 7 0 .013.3 0. * LPCS TRIP

```

FACOM 230-75 (MT) L I B E 77.11.21 ( V-03 L-12 ) 79/04/04

PAGE-0003

## SOURCE ELEMENT LIST (BRIT MODE)

```

040070 7 -4 7 0 311.3 13. * LPIS TRIP *RSA00530
040080 8 1 0 0 .001 120. * ADS VALVE OPN *RSA00540
040090 1 -4 7 0 14.7 0. * END BY LOV PRESS *RSA00550
041003 1 10 1 0 1300. 0. * END BY HI CLD TEMP *RSA00560
040110 9 1 0 0 .001 0. * MP1 PUMP TRIP *RSA00570
040120 10 1 0 0 .001 0. * MP2 PUMP TRIP *RSA00580
040130 11 1 0 0 0. 0. * PWTRIP *RSA00590
040140 12 1 0 0 0. 0. * STM DISCH LIN TRIP *RSA00600
040150 13 1 0 0 0.001 .05 * AV127 TRIP *RSA00610
040160 14 1 0 0 0.0 1900.0 * NO FLW THRU J34+J35 *RSA00620
040170 15 1 0 0 0.0 1900.0 * NO FLW THRU J34+J35 *RSA00630
*
***VOLUME DATA***
* IBUB IPREAD P TEMP HORA V ZVOL ZM
* (PSIA) (DFSF) (GLTY) (FT*) (FT) (FT)
050011 0 0 1060.8638 535. -1. 4.279 1.690 *RSA00640
050021 0 0 1060.1014 535. -1. 2.033 2.677 *RSA00650
050031 0 0 1055.4345 535. -1. ,3194 8.042 ,9042 *RSA00660
050041 0 0 1053.5041 -1. ,00436 2.875 6.647 *RSA00670
050051 0 0 1053.8162 -1. ,03739 4.383 2.31 2.31 *RSA00680
050061 0 0 1049.4560 -1. ,03769 1.121 3.682 3.682 *RSA00690
050071 2 0 1049.1430 -1. 0. 13.16 4.050 ,181 *RSA00700
050081 2 0 1048.1000 550.4 -1. ,4287 1.160 0. *RSA00710
050091 0 0 1053.9901 535. -1. 2.523 3.579 3.579 *RSA00720
050101 0 0 1052.2034 535. -1. 1.851 7.336 7.336 *RSA00730
050111 2 0 1050.4037 535. -1. 2.393 9.389 9.389 *RSA00740
050121 0 0 1046.8000 534. -1. ,2312 ,374 ,374 *RSA00750
050131 0 0 1053.8876 535. -1. ,1498 6.893 6.893 *RSA00760
050141 0 0 1061.1940 535. -1. ,5953 ,9090 ,9090 *RSA00770
050151 0 0 1049.8279 534. -1. ,649 4.824 4.884 *RSA00780
050161 0 0 1043.8353 534. -1. ,8074 9.987 9.987 *RSA00790
050171 0 0 1173.7329 535. -1. ,187 ,955 ,955 *RSA00800
050181 0 0 1305.0002 536. -1. ,5854 11.464 11.464 *RSA00810
050191 0 0 1298.1695 536. -1. ,3118 7.733 7.733 *RSA00820
050201 0 0 1046.4000 534. -1. ,2312 ,374 ,374 *RSA00830
050211 0 0 1065.3708 535. -1. ,1487 6.842 6.842 *RSA00840
050221 0 0 1061.3000 535. -1. ,5429 ,9600 ,9600 *RSA00850
050231 0 0 1048.8594 534. -1. ,4902 10.49 10.49 *RSA00860
050241 0 0 1183.2911 535. -1. ,187 ,955 ,955 *RSA00870
050251 0 0 1309.0292 536. -1. ,7164 15.29 15.29 *RSA00880
050261 0 0 1304.5811 536. -1. ,3551 4.067 4.067 *RSA00890
050271 0 0 1048.5311 535.1 -1. ,1331 ,5100 ,5400 *RSA00900
050281 2 0 1048.8707 535. -1. ,2.5 2.930 2.930 *RSA00910
050291 2 0 1049.2000 0. 0. ,1.034 2.343 2.343 *RSA00920
050301 0 0 1045.8876 535. -1. ,1498 6.893 6.893 *RSA00930
050311 0 0 1065.3708 535. -1. ,1487 6.842 6.842 *RSA00940
*
* JTPMV FLOWA DIAMV ELEV TAMBLO
* (FT*) (FT) (SLIP,VRTCL STK IND)
050012 0 1.61 100. -0.0594 *RSA01000
050022 0 ,7594 ,1059 1.63 *RSA01010
050032 0 ,4865 ,04341 4.160 *RSA01020
050042 0 ,0.4325 ,04341 4.964 *RSA01030
050052 0 1.898 1.64 11.61 *RSA01040

```

# JAERI-M 8300

FACOM 230-75 (M7) L I B E 77.11.21 ( V=03 L=12 ) 79/04/04 PAGE-0004

## SOURCE ELEMENT LIST (8BIT MODE)

050062	0	.3045	.5548	15.92	*RSA01070
050072	0	3.250	.0	14.48	*RSA01080
050082	0	3.809	2.202	18.53	*RSA01090
050092	0	.7048	.276	.8593	*RSA01100
050102	0	.2523	.1307	4.4383	*RSA01110
050112	0	.2549	.09291	1.621	*RSA01120
050122	0	.03095	.1865	8.993	*RSA01130
050132	0	.02051	.1049	2.1	*RSA01140
050142	0	.04613	.2425	1.191	*RSA01150
050152	0	.02264	.1628	-1.725	*RSA01160
050162	0	.02383	.1646	-7.333	*RSA01170
050172	0	.1958	.4544	-8.288	*RSA01180
050182	0	.02161	.1658	-8.288	*RSA01190
050192	0	.02109	.1555	3.176	*RSA01200
050202	0	.03095	.1865	8.993	*RSA01210
050212	0	.02051	.1048	2.191	*RSA01220
050222	0	.04613	.2425	1.191	*RSA01230
050232	0	.02346	.1657	-7.333	*RSA01240
050242	0	.1958	.4544	-8.288	*RSA01250
050252	0	.02238	.1657	-8.288	*RSA01260
050262	0	.02104	.1566	6.842	*RSA01270
050272	0	2.7486	1.3845	13.94	*RSA01280
050282	0	.8512	.3018	11.01	*RSA01290
050292	0	.4414	.1229	14.48	*RSA01310
050302	0	.02051	.1049	2.1	*RSA01320
050312	0	.02051	.1048	2.151	*RSA01330
*				0	*RSA01340
***LIQUID LEVEL	060000	***	= NOT USED =		*RSA01350
*					*RSA01360
***SLIP VELOCITY	060001	***	= NOT USED =		*RSA01370
*					*RSA01380
***WALLIS	060002	***	= NOT USED =		*RSA01390
*					*RSA01400
***WALLIS CROWLEY	060003	***	= NOT USED =		*RSA01410
*					*RSA01420
***DOWNCOMER PENETRATION	060004	***	= NOT USED =		*RSA01430
*					*RSA01440
***DOWNCOMER PENETRATION COEFF.	060005	***	= NOT USED =		*RSA01450
*					*RSA01460
*** BUBBLE DATA CARDS ***					*RSA01470
*					*RSA01480
*					*RSA01490
*					*RSA01500
*					*RSA01510
*					*RSA01520
*					*RSA01530
*					*RSA01540
*					*RSA01550
*					*RSA01560
*					*RSA01570
*** JUNCTION DATA ***					*RSA01580
*					*RSA01590
*					*RSA01600
*	IW1	IW2	IPUMP IVALVE WP	AJUN	ZJUN INERTA(L/A)

FACOM 230-75 (M7) L I B E 77.11.21 ( V=03 L=12 ) 79/04/04 PAGE-0005

## SOURCE ELEMENT LIST (8BIT MODE)

*	FROM	TO	(L3/SEC)	(FT**2)	(FT)	(1/FT)	*RSA01610
080011	1	2	0	79.495	0.599	1.630	*RSA01620
080021	2	3	0	79.495	0.0649	4.307	*RSA01630
080031	3	4	0	76.495	0.135	4.964	*RSA01640
080041	4	5	0	76.495	0.1363	11.61	*RSA01650
080051	5	6	0	80.8	0.233	13.92	*RSA01660
080061	6	7	0	80.8	0.1610	17.60	*RSA01670
080071	7	8	0	3.052	0.206	18.53	*RSA01680
080081	1	9	0	1.305	9.50-4	0.8593	*RSA01690
080091	9	10	0	1.305	0.0208	4.4383	*RSA01700
080101	10	5	0	4.315	0.1456	11.77	*RSA01710
080111	11	12	0	27.7	0.0328	9.233	*RSA01720
080121	12	13	0	13.85	9.011-3	8.993	*RSA01730
080131	13	14	0	20.2	0.03280	2.100	*RSA01740
080141	14	1	0	40.4	0.06616	1.312	*RSA01750
080151	11	15	0	12.7	0.0207	3.078	*RSA01760
080161	15	16	0	12.7	0.0207	-1.643	*RSA01770
080171	16	17	-2	0	0.06616	-7.333	*RSA01780
080181	17	18	2	0	0.03280	-8.18	*RSA01790
080191	18	19	0	12.7	0.0207	3.176	*RSA01800
080201	19	13	0	6.35	5.960-4	8.993	*RSA01810
080211	11	20	0	27.5	0.03280	9.233	*RSA01820
080221	20	21	0	13.75	9.011-3	6.993	*RSA01830
080231	21	22	0	20.2	0.03280	2.101	*RSA01840
080241	27	1	0	40.4	0.04610	1.312	*RSA01850
080251	11	23	0	12.9	0.0207	3.078	*RSA01860
080261	23	24	-1	0	0.04616	-7.333	*RSA01870
080271	24	25	1	12.9	0.03280	-8.186	*RSA01880
080281	25	26	0	12.9	0.0207	6.923	*RSA01890
080291	26	21	0	6.45	5.960-4	8.993	*RSA01900
080301	7	27	0	77.748	2.16	14.48	*RSA01910
080311	27	28	0	80.8	0.757	13.94	*RSA01920
080321	28	11	0	80.8	0.211	11.01	*RSA01930
080331	3	10	0	3.010	0.005	4.59	*RSA01940
080341	8	29	0	3	0.024	16.73	*RSA01950
080351	29	27	0	0	0.0974	14.48	*RSA01960
080361	12	30	0	13.85	9.011-3	8.993	*RSA01970
080371	19	30	0	6.35	5.960-4	8.993	*RSA01980
080381	30	14	0	20.2	0.03280	2.100	*RSA01990
080391	20	31	0	13.75	9.011-3	8.993	*RSA02000
080401	26	31	0	6.45	5.960-4	8.993	*RSA02010
080411	31	22	0	20.2	0.03280	2.151	*RSA02020
080421	0	5	3	0	0.0207	11.66	*RSA02030
080431	0	5	1	0	0.01246	13.39	*RSA02040
080441	0	5	2	0	0.01246	13.39	*RSA02050
080451	0	27	4	0	0.01246	14.217	*RSA02060
080461	8	0	2	3.052	0.0207	19.67	*RSA02070
080471	0	8	5	0	3.379-3	19.67	*RSA02080
080481	8	0	3	0	3.041-2	19.67	*RSA02090
080491	15	0	1	0	5.799-3	-1.643	*RSA02100
080501	16	0	1	0	5.799-3	-1.643	*RSA02110
*	FJUNF	FJUNR	JFRTL	JCHOKC	JCALC	MVMX	*RSA02120
*							*RSA02130
*							*RSA02140



# JAERI-M'8300

FACOM 230-75 (M7) L I B E 77.11.21 ( V-03 L-12 ) 79/04/04 PAGE=0008

### SOURCE ELEMENT LIST (EDIT MODE)

```
*** PUMP DESCRIPTION ***
*
*   IPC 1TPMP 1RP 1PM IMT  POMGAR  PRSAT  PFLOW  PHEAD  PTORKR
*   (RPM) (RATIO) (GPM) (FT)  (LBF,FT)
090011 3   9   1   1   3600.  .972  132.  859.6  21.5  *RSA03230
090021 3   10  1   1   3600.  .972  132.  859.6  21.5  *RSA03240
*
*   PIRATA  VRH01  TORKF(3) TORKMR  TORKF(1) TORKF(2) TORKF(4)
*   (LBM,FT2) (LBM/FT3)  (LBF,FT)
090012 8.65   0.    2.15  *RSA03250
090022 8.65   0.    2.15  *RSA03260
*
*** PUMP HEAD MULTIPLIER
*
*   NPHM  PHDM(1), PHDM(2),-----
*   (VOID) (MLTPLR)
091001 -11   0.0   .0   .1   .0   .15   .05   .24   .8   .3   .96  *RSA03270
091002   .4   .9A   .6   .97   .8   .9   .9   .8   .96   .5  *RSA03280
091003   .1.0   .0   *RSA03290
*
*** PUMP TORQUE MULTIPLIER ***
*
*   NPTM  PTKM(1)+PTKM(2),-----
*   (VOID) (MLTPLR)
092001 -2   0.0   0.0   1.0   0.0   * NOT USED  *RSA03300
*
*** PUMP STOP DATA ***
*
*   CAVCON   FPUMP   SPUMP
*   (SEC)     (RPM)   (RPM)
*
*** PUMP MOTOR TORQUE ***
*
*   NTMO  PTMO(1), PTMO(2),-----
*   (RPM) (TORQUE)
*   *** NOT USED ***
*
*** PUMP CURVE INPUT INDICATOR ***
*
*   NC(1)  NC(2)  NC(3)  NC(4)
100000   0   0   16   0  *RSA03310
*
*** PUMP HEAD ON TORQUE DATA CARDS ***
*
*   17 1C N  PHEAD(1) OR PTORK(1), PHEAD(2) OR PTOKH(2) -----
103011  1   1.0  0.2  0.97  0.2  0.54  0.4  0.97  *RSA03320
103012   .4   1.0  1.0   1.0   1.0  *RSA03330
103021  1   2   0.0  -0.2  0.25  0.0  0.4  0.12  *RSA03340
103022   .7   0.5  1.0   1.0   1.0  *RSA03350
103031  1   3   0.0  -1.0  0.98  -0.6  0.94  *RSA03360
*
*
```

FACOM 230-75 (M7) L I B E 77.11.21 ( V-03 L-12 ) 79/04/04 PAGE=0009

### SOURCE ELEMENT LIST (EDIT MODE)

```
103042   -0.3   0.72  0.0   0.72  *RSA03770
103041  1   4   5   -1.0  1.2  -0.8   0.7  -0.5   0.33  *RSA03780
103042   -0.2   0.16  0.0   0.26  *RSA03790
103051  1   5   5   0.0   0.04  0.2   1.06  0.5   1.23  *RSA03800
103052   0.7   1.3   1.0   1.45  *RSA03810
103061  1   6   5   0.0   0.26  .4   .3   -0.7   .7  *RGAG03820
103062   .9   1.1   1.1   1.45  *RSA03830
103071  1   7   5   -1.0  0.2  -0.8   0.4  -0.5   0.65  *RSA03840
103072   -0.2   0.14  0.0   0.94  *RSA03850
103073  1   8   5   -1.   .2   -.8   -.1  -.5   -.26  *RSA03860
103082   -0.2  -.3   0.0   -.2  -.2  *RSA03872
103091  2   1   5   .7   .46   .2   .54   .5   .67  *RGAG03880
103092   .2   .66   1.   1.   *RSA03890
103101  2   2   4   0.0  -0.1  0.2   0.08  0.5   0.34  *RSA03900
103102   .8   0.65  1.0   1.0  *RSA03910
103111  2   3   5   -1.0  0.7  -0.8   0.68  -0.5  0.48  *RSA03920
103112   -0.3   0.44  0.0   0.46  *RSA03930
103113  2   4   5   -1.   .7   -.7   .45  -.4   .32  *RGAG03940
103114  2   5   5   0.0  -0.66  0.2   -0.53  0.6  -0.3  *RSA03950
103115  2   5   5   0.0  -0.66  0.2   -0.53  0.6  -0.3  *RGAG03960
103116   .6   -0.2  1.0   0.1  -.1  *RSA03970
103141  2   6   5   0.0  -.28  -.2   .22  -.5   .1  *RSA03980
103142   .9   1.   1.   -.1  -.1  *RSA04000
103151  2   7   5   -1.0  -1.4  -0.8  -1.25  -0.5  -1.0  *RSA04010
103152   -0.2  -.8   0.0  -.66  *RSA04020
103151  2   8   5   -1.   -1.4  -.6   -.6   -.5  -.66  *RSA04030
103162   -0.2  -.3   0.0  -.1  -.1  *RSA04040
*
*** VALVE DATA CARDS ***
*
*   ITCV 1ACV 1ATCH PCV CV1 CV2 CV3
*   110010 12   0.   0.   0.   0.   * AV 127 TRIP  *RSA04050
110020 12   0.   0.   0.   0.   * MSL BEFORE BREAK  *RSA04060
110030 -14   0.   0.   0.   0.   * J 34  *RSA04070
110040 -14   0.   0.   0.   0.   * J 35  *RSA04080
*
*** LEAK TABLE CARDS ***
*
*   NAMEA  SINK  TAREAK(1),TAREAK(2),-----
*   STLEAK (PSIA)
120100 -3   2   16.7  0.   0.   .1  1.  2000.  1.  * BREAK START  *RSA04150
120200 -3   12  14.7  0.   0.   .101  0.  2000.  0.  * MSL BFR BRK  *RSA04160
120300 -5   8   14.7  0.   0.   .1  1.  480.  1.  * RSA04170
120701   480.01  0.  2000.  0.   * AFS  *RSA04180
*
*** FILL TABLE DATA ***
*
*   ITFILL ITTYPE NPTS ICALC UNITS  POPT  HWRX AFRAc
*   130100 -5   6   1   1   57.35  68.  #LPFC  *RSA04190
130200 -7   5   1   1   57.35  68.  #HPC  *RSA04200
130300 -6   7   1   1   57.35  68.  #LPC1  *RSA04210
130400 -5   3   0   0   1087.8  401.  #FW  *RSA04220
130500 -4   4   0   0   1048.1  950.4  #MSL  *RSA04230
*
```

# JAERI-M 8300

FACOM 230-75 (H7) LIBE 77.11.21 (V=03 L=12) 79/04/04 PAGE=0010

SOURCE ELEMENT LIST (8BIT MODE)

```

*          *          *          *          *          *          *          *
*          FILTBL(1),FILTBL(2),----  *          *          *          *
*          *          *          *          *          *          *          *
130101 0. 1117. 43.5 1103. 304.5 848. 508. 0. 2000. 0. *LPCRSRA04340
130201 0. 1393. 435. 1393. 652.5 1378. 725. 1272. * RSA04350
130202 1015. 318. 1102. 0. 2000. 0. *HPCRSRA04360
130301 0. 3165. 72.5 3037. 145. 2608. 217.5 2425. * RSA04370
130302 290. 0. 2000. 0. *LPCIRSA04380
130401 0. 0. 1. 365.12 2. 365.12 4.00 0. 2000. 0. *FWP *RSA04390
130501 0. -1350.68 3. -1350.68 5.00 0. 2000. 0. *MSL AFT BR*RSA04400
*          *          *          *          *          *          *          *
*          *** KINETIC CONSTANTS ***  *          *          *          *
*          *          *          *          *          *          *          *
*          NODEL KMUL BOVL RHOIN UDUF PROMPT LAMBDA TAU  *RSA04440
*          *          *          *          *          *          *          *
140000 0. 0. 0. 0. *          *          *          *          *          *
*          *          *          *          *          *          *          *
*          *** SCRAM TABLE ***  *          *          *          *
*          *          *          *          *          *          *          *
*          NSCR ITSCR  *          *          *          *          *          *          *
*          TSCR(1),TSCR(2),----  *          *          *          *          *          *
141000 -17 2. 0.0 1.0 11.42 1.0 *          *          *          *          *
141001 13.512 0.861 16.224 0.718 19.2 0.570 * RSA04550
141002 21.6 0.474 24.0 0.387 26.4 0.316 * RSA04560
141003 28.8 0.244 31.2 0.201 33.6 0.153 * RSA04570
141004 38.0 0.123 40.0 0.036 60.0 0.030 * RSA04580
141005 100.0 0.024 200.0 0.018 600.0 0.010 * RSA04590
*          *          *          *          *          *          *          *
*          *** DENSITY REACTIVITY, DOPPLER TABLE, REACTIVITY COEFF.  *RSA04600
*** 1420XX+1430XX+1440XX ARE NOT USED, *RSA04620
*          *          *          *          *          *          *          *
*          *** HEAT SLAB DATA ***  *          *          *          *          *
*          *          *          *          *          *          *          *
*          IVSL IGD0M IXLO IMCR AHTL AHTR VOL0 HDM0L HDMR  *RSA04660
*          IVSR ISB IMCL (FT2) (FT2) (FT3) (FT) (FT)  *RSA04670
150011 0 1 14 0 0.0 44.5 0.365 0.0 0.02740 * RSA04680
150021 0 2 14 0 0.0 64.97 0.5330 0.0 0.02740 * RSA04690
150031 0 3 13 0 0.0 24.45 0.2614 0.0 0.01915 * RSA04700
150041 0 4 1 0 0.0 200.4 2.058 0.0 0.01915 * RSA04710
150051 0 10 8 0 0.0 22.01 0.2194 0.0 0.01915 * RSA04720
150061 4 10 8 0 42.06 43.44 0.4216 0.0 0.01915 * RSA04730
150071 10 28 11 0 3.362 3.362 0.4372 0.0 0.01915 * RSA04740
150081 5 28 11 0 14.71 14.51 0.262 0.0 0.01915 * RSA04750
150091 6 27 15 0 2.527 2.340 0.1143 0.0 0.01915 * RSA04760
150101 6 29 2 0 4.780 5.058 0.09685 0.0 0.01915 * RSA04770
150111 0 8 9 0 0.0 12.139 5.378 0.0 0.01915 * RSA04780
150121 0 7 9 0 0.0 29.271 5.698 0.0 0.01915 * RSA04790
150131 0 1 6 0 0.0 4.17 14.14 0.0 0.01915 * RSA04800
150141 0 14 18 0 0.0 11.08 0.2450 0.0 0.01915 * RSA04810
150151 9 1 19 0 9.887 8.877 0.4190 0.0 0.01915 * RSA04820
150161 11 9 7 0 15.07 14.314 0.413 0.0 0.01915 * RSA04830
150171 9 2 2 0 11.24 10.82 0.2171 0.0 0.01915 * RSA04840

```

FACOM 230-75 (H7) LIBE 77.11.21 (V=03 L=12) 79/04/04 PAGE=0011

SOURCE ELEMENT LIST (8BIT MODE)

```

*          *          *          *          *          *          *          *
150181 10 11 10 0 27.8 31.23 4.47 0.0 0.0 * RSA04850
150191 3 10 8 0 3.119 3.258 0.03139 0.0 0.0 * RSA04860
150201 0 11 11 0 0.0 52.16 7.4 0.0 0.0 * RSA04870
150211 0 12 4 0 0.0 5.08 0.115 0.0 0.2 * RSA04880
150221 0 13 3 0 0.0 3.21 0.083 0.0 0.162 * RSA04890
150231 0 14 5 0 0.0 11.8 0.292 0.0 0.243 * RSA04900
150241 0 15 2 0 0.0 10.741 0.217 0.0 0.162 * RSA04910
150251 0 16 2 0 0.0 16.257 0.329 0.0 0.162 * RSA04920
150261 0 17 20 0 0.0 1.052 0.400 0.0 0.239 * RSA04930
150271 0 18 3 0 0.0 9.496 0.192 0.0 0.162 * RSA04940
150281 0 19 5 0 0.0 12.61 0.253 0.0 0.16 * RSA04950
150291 0 20 4 0 0.0 5.017 1.13 0.0 0.2 * RSA04960
150301 0 21 3 0 0.0 3.39 0.087 0.0 0.162 * RSA04970
150311 0 22 5 0 0.0 11.0 0.283 0.0 0.243 * RSA04980
150321 0 23 2 0 0.0 11.167 0.240 0.0 0.0 * RSA04990
150331 0 24 20 0 0.0 1.052 0.400 0.0 0.239 * RSA05000
150341 0 25 3 0 0.0 16.221 0.328 0.0 0.162 * RSA05010
150351 0 26 3 0 0.0 8.442 0.169 0.0 0.162 * RSA05020
150361 0 27 17 0 0.0 3.150 2.337 0.0 0.0 * RSA05030
150371 0 28 12 0 0.0 18.31 2.906 0.0 0.0 * RSA05040
150381 7 29 8 0 14.75 14.46 0.1438 0.0 0.0 * RSA05050
150391 0 30 3 0 0.0 3.21 0.083 0.0 0.162 * RSA05060
150401 0 31 3 0 0.0 3.39 0.087 0.0 0.162 * RSA05070
150411 6 7 16 0 3.538 2.724 0.06724 0.0 0.0 * RSA05090
*          *          *          *          *          *          *          *
*          DHEL DHER CHNL CHNR ZBOT ZTOP PFR HTC  *RSA05100
*          (FT) (FT) (FT) (FT) (FT) (FT) **NOT USED** *RSA05110
*          *          *          *          *          *          *          *
*          *** CORE SLAB DATA ***  *          *          *          *
*          *          *          *          *          *          *          *
*          ISLB NDT1 NDT2 NDT3 CLTI QFRAC QPMOD QDMOD  *RSA05150
*          (FT) (FT) (FT) (FT)  *RSA05160
160010 4 1 4 9 6.168 0.0 0.04718 1.0 * RSA05170
*          *          *          *          *          *          *          *
*** CORE SLAB FOR EM 16XXXXXX NOT USED ***  *RSA05180
*          *          *          *          *          *          *          *
*          *** SLAB GEOMETRY DATA ***  *          *          *          *
*          *          *          *          *          *          *          *
*          01 1G NR IM NDX X0 XR PF  *RSA05230
*          *          *          *          *          *          *          *
*          02 IGP IM NDX (FT) (FT)  *RSA05240
*          *          *          *          *          *          *          *
170101 2 4 1 3 0.0 0.01001 0.0 * RSA05250
170102 0 2 1 0.002297 1.0 * RSA05260
170103 0 3 1 0.003970 0.0 * RSA05270
170104 0 4 3 0.004265 0.0 * RSA05280
170201 1 1 5 1 0.0 0.0197 0.0 * RSA05290
170301 1 1 5 1 0.0 0.018 0.0 * RSA05300
170401 1 1 5 1 0.0 0.02 0.0 * RSA05310
170501 1 1 5 1 0.0 0.23 0.0 * RSA05320
170601 1 1 5 1 0.0 0.509 0.0 * RSA05330
170701 1 1 5 1 0.0 0.0263 0.0 * RSA05340
170801 1 1 5 1 0.0 0.009843 0.0 * RSA05350
170901 1 1 5 1 0.0 0.18 0.0 * RSA05360

```

# JAERI-M 8300

FACOM 230-75 (MT) L I B E 77.11.21 ( V-03 L-12 ) 79/04/04 PAGE=0012

SOURCE ELEMENT LIST (8BIT MODE)

```

171001 1 1 5 1 0.0 0.1 0.0 *RSA05590
171101 1 1 5 1 0.0 0.13 0.0 *RSA05400
171201 1 1 5 1 0.0 0.148 0.0 *RSA05410
171301 2 3 7 1 0.0 0.001148 0.0 *RSA05420
171302 0 3 4 1 0.004790 0.0 *RSA05430
171303 0 4 1 0.004265 0.0 *RSA05440
171401 2 3 7 1 0.0 0.008203 0.0 *RSA05450
171402 0 6 1 0.0 0.004922 0.0 *RSA05460
171403 0 4 1 0.00328 0.0 *RSA05470
171501 1 1 5 1 0.0 0.04779 0.0 *RSA05480
171601 1 1 5 1 0.0 0.01312 0.0 *RSA05490
171701 1 1 5 4 0.0 0.5742 0.0 *RSA05500
171801 1 1 5 1 0.0 0.03937 0.0 *RSA05510
171901 1 1 5 1 0.0 0.0472 0.0 *RSA05520
172001 1 1 5 1 0.0 0.3790 0.0 *RSA05530
*
* ** THERMAL CONDUCTIVITY DATA
*
* NCP TPK(1),TPK(2) ----
* (DEGF) (BTU/FTHRF)
*
180101 -5 572. 16.7 932. 16.2 1292. 15.7 1652. 15.2 * BN *RSA05620
180102 1832. 15.5 1832. 15.5 *RSA05630
180201 -3 68. 10.1 212. 8. 4712. 6.72 *RSA05640
180301 1 32. 3.36 *RSA05650
180401 -9 70. 8.56 200. 9.08 400. 10.1 600. 11.1 *INCONEL 600 *RSA05660
180402 800. 12.1 1000. 13.2 1200. 14.3 1400. 15.5 *RSA05670
180403 1600. 16.7 *SUS *RSA05680
180501 -2 32. 9.41 932. 12.1 *MGO *RSA05690
180601 -11 392. 15.4 572. 11.9 752. 9.92 932. 8.13 *MGO *RSA05710
180602 1112. 6.77 1292. 5.81 1472. 5.08 1832. 3.99 *RSA05720
180603 2192. 3.63 2252. 3.87 2912. 4.23 *RSA05730
180701 1 32. 8.42 *RSA05740
*
* ** VOLUMETRIC HEAT CAPACITY ***
*
* NCP TPC(1),TPC(2) ----
* (DEGF) (BTU/FTT3)
*
190101 -4 680. 5.28 950. 5.98 1562. 7.55 2300. 9.47 * BN *RSA05810
190201 -3 68. 57.4 212. 55.6 8712. 57.4 *RSA05820
190301 -4 680. 5.28 950. 5.99 1562. 7.56 2300. 9.47 * BN *RSA05830
190401 -9 70. 55.7 200. 58.3 400. 60.9 600. 63.6 * INC600 *RSA05840
190402 300. 66.2 1000. 69.3 1200. 73.5 1400. 76.2 *RSA05850
190403 1600. 78.3 *SUS *RSA05860
190501 1 32. 59.3 * MGO *RSA05880
190601 1 32. 50.3 *RSA05890
190701 1 32. 54.3 *RSA05900
*
* ** LINEAR EXPANSION COEFF., HEAT EXCHANGER DATA

```

FACOM 230-75 (MT) L I B E 77.11.21 ( V-03 L-12 ) 79/04/04 PAGE=0013

SOURCE ELEMENT LIST (8BIT MODE)

```

*** 20XXYY, 21XXYY ARE NOT USED. *RSA05930
*** OTHER INPUT OPTIONS ARE NOT USED. *** *RSA05940
*** **** END OF INPUT DATA CARDS **** *RSA05950
*** * LAST DATA CARD *RSA05960
0 0 * SUS *RSA05970
0 0 * MGO *RSA05980
0 0 * RSA06000
0 0 * RSA06010

```

# JAERI-M 8300

## 付録2 炉心解析に用いた入力データリスト

FACOM 230-75 (M7) LIBE 77.11.21 (V-03 L-12) 79/04/04 PAGE=0002

### SOURCE ELEMENT LIST (BIT MODE)

ELEMENT NAME ((K703A )) ESTABLISHED 79.02.14

```

* ROSA+3 CORE
* ROSA3K
*
*** PROBLEM DIMENSIONS ***
* LOMP NTC NVOL NTOV NPHPC NLK NSLB NMAT NHTX
* NEDI NTRP NBUR NJUN NCKV NELL NGOM NCOR ISPROG
010001 -2 9 5 4 7 0 0 6 0 0 0 0 13 2 5 11 0
*
*** PROBLEM CONSTANTS ***
* POWER OMEGA PGUILT POUITH TQUITL TQUITH
010002 .93325 1.0
*
*** PROGRAM OPTION ***
*
010005 0 0 * UNIT
010007 10 0.04 0.05 0.8 * CRITICAL FLOW
*
*** EDIT VARIABLES ***
020000 AP 1 AH 1 JW 1 ST 2 ST 3 ST 4 JW 6 AP 7 AH 7
*
*** TIME STEP CONTROL CARDS ***
*
* NMIN NHAJ NDMP NCHK DELTH DTMIN TLAST ENDCPU
030010 10 1 2 -2 1.-2 1.-6 0.5 *
030020 10 5 2 -2 1.-2 1.-6 2. *
030030 10 10 2 -2 1.-2 1.-6 20. *
030040 25 20 2 -2 1.-2 1.-6 70. *
030050 50 20 2 -2 1.-2 1.-6 200. *
*
*** DETAILED EDIT 030002 *** * NOT USED *
*
*** WATER PACKING ETC. 030003 *** * NOT USED =
*
*** MIXTURE LEVEL SMOOTHING 030004 *** * NOT USED =
*
*** TRIP CONTROLS ***
*
* IDTRP IDSIG IX1 IX2 SETPT DELAY
040010 1 1 0 0 200. 0. * TERMINATION TIME
040020 2 1 0 0 1000. 0. * INITIATION TIME
040030 1 4 7 0 1300. 0. * HIGH PRESSURE
040040 1 -4 7 0 14.22 0. * LOW PRESSURE
*
*** VOLUME DATA ***
*
* IBUR TREAD P TEMP HWRX V ZVOL ZM
* (PSIA) (DEGF) (FT*3) (FT) (FT)
050011 0 -3 1055.4365 535. -1. .3194 .8042 .8042 ** RSA00490
050021 0 0 1054.305 535.9 -1. .1177 1.0885 1.0885 ** RSA00500
050031 0 0 1053.805 541.7 -1. .1687 1.561 1.561 ** RSA00510

```

FACOM 230-75 (M7) LIBE 77.11.21 (V-03 L-12) 79/04/04 PAGE=0003

### SOURCE ELEMENT LIST (BIT MODE)

```

050041 0 0 1053.26 -1. .00305 .1456 1.347 1.347 *RSA00520
050051 0 0 1052.715 -1. .0249 .1687 1.561 1.561 *RSA00530
050061 0 0 1052.256 -1. .0365 .1177 1.0885 1.0885 *RSA00540
050071 0 -5 1050.8162 -1. .03739 4.383 2.310 2.310 ** RSA00550
*
* JTHMV FLOWA DIAMV ELEV IAMBL0 RSA00560
* (FT*2) (FT) RSA00570
050012 0 .4865 .0341 4.16 *RSA00580
050022 0 .1081 .0341 4.964 *RSA00590
050032 0 .1081 .0341 6.0525 *RSA00600
050042 0 .1081 .04441 7.5135 *RSA00610
050052 0 .1081 .0341 8.9605 *RSA00620
050062 0 .1081 .0341 10.5215 *RSA00630
050072 0 1.898 1.64 11.61 *RSA00640
*
*** LIQUID LEVEL 060000 *** NOT USED RSA00650
*
*** SLIP VELOCITY 060001 *** NOT USED RSA00660
*
*** WALLIS CROWLEY 060003 *** NOT USED RSA00670
*
*** DOWNCOMER PENETRATION 060004 *** NOT USED RSA00680
*
*** DOWNCOMER PENETRATION COEFF. 060005 *** NOT USED RSA00690
*
*** BUBBLE DATA 06XXX1 *** NOT USED RSA00700
*
*** TIME DEPENDENT VOLUME ***
*
*** FLOW SMOOTHING 080001 THRU 080009 *** NOT USED RSA00710
*
*** JUNCTION DATA ***
*
* IW1 IW2 IPUMP IVALVE WP AJUN ZJUN INERTA RSA00720
* (LB/S) (FT*2) (FT) (1/FT) RSA00730
080011 1 2 0 0 19.121 .03379 4.964 7.343 *** RSA00740
080021 2 3 0 0 19.121 .08355 6.0525 12.43 *** RSA00750
080031 3 4 0 0 19.121 .08355 7.6135 13.63 *** RSA00760
080041 4 5 0 0 19.121 .08355 8.9605 13.63 *** RSA00770
080051 5 6 0 0 19.121 .08355 10.5215 12.43 *** RSA00780
080061 6 7 0 0 19.121 .03406 11.61 6.478 *** RSA00790
*
* FUJNF FUJNR JVERTL JCHOKE JCALC MVVIX DIAMJ CONCO ICHOKE RSA00790
* RSA00990
080012 .879 .879 0 0 0 0 0 1. -1 *RSA01000
080022 .239 .239 0 0 0 0 0 1. -1 *RSA01010
080032 .239 .239 0 0 0 0 0 1. -1 *RSA01020
080042 .239 .239 0 0 0 0 0 1. -1 *RSA01030
080052 .239 .239 0 0 0 0 0 1. -1 *RSA01040
080062 .956 .992 0 0 0 0 0 1. -1 *RSA01050
*
* IHOCOR SRCOS IADJUN RSA01060
* RSA01070
* RSA01080

```

# JAERI-M 8300

FACOM 230-75 (M7) LIBE 77.11.21 (V-03 L-12) 79/04/04 PAGE-0004

SOURCE ELEMENT LIST (8BIT MODE)

```

080013 2 * RSA01090
080023 3 * RSA01100
080033 3 * RSA01110
080043 3 * RSA01120
080053 3 * RSA01130
080063 1 * RSA01140
* RSA01150
* RSA01160
*** STAGNATION PROPERTIES ***
* ISTAG RSA01170
* RSA01190
*** DIAL CARDS 082001 THRU 082006, 082011-082012,082020,082021 RSA01200
* 082030 THRU 082032 RSA01210
* ARE NOT USED RSA01220
* RSA01230
* RSA01240
*** PUMP DESCRIPTION *** NOT USED RSA01250
* RSA01260
*** VALVE,LEAK AND FILL DESCRIPTIONS NOT USED RSA01270
* RSA01280
*** KINETIC CONSTANTS ***
* MODEL KMUL BVAL RHOIN UDUF PROMPT LAMBDA TAU RSA01290
140000 0 0. RSA01300
* RSA01310
* RSA01320
* RSA01330
* RSA01340
* NSCR ITSCN TSCR(1),TSCR(2),---
141000 -17 0. 1. 11.42 1. RSA01350
141001 13.512 .861 16.224 .718 19.2 .57 * RSA01360
141002 21.6 .474 24. .387 26.4 .316 * RSA01365
141003 26.8 .244 31.2 .201 33.6 .153 * RSA01370
141004 36. .123 40. .036 60. .03 * RSA01375
141005 100. .024 200. .018 600. .01 * RSA01380
* RSA01390
*** DENSITY REACTIVITY, DOPPLER TABLE, REACTIVITY COEFF. RSA01400
*** 1420X, 1420XX, 140XX0 ARE NOT USED. RSA01410
* RSA01420
* RSA01430
* RSA01440
*** HEAT SLABS ***
* RSA01450
* IVSL I6CM IXLO IMCR AHTL AMTR VOLS HDML HDMR RSA01460
* IVSR ISB TMCL (FT2) (FT2) (FT3) (FT) (FT)
150011 0 2 0 0. 1.947 .01999 0. 0. * NO HEAT RSA01470
150021 0 2 1 0 0. 6.268 .06436 0. 0. * RSA01480
150031 0 2 1 0 0. 6.348 .066519 0. 0. * RSA01490
150041 0 3 1 0 0. 5.633 .05785 0. 0. * RSA01500
150051 0 3 1 0 0. 6.268 .06436 0. 0. * RSA01510
150061 0 3 1 0 0. 7.901 .008113 0. 0. * RSA01520
150071 0 4 1 0 0. 10.95 .1125 0. 0. * RSA01530
150081 0 5 1 0 0. 7.901 .008113 0. 0. * RSA01540
150091 0 5 1 0 0. 6.268 .06436 0. 0. * RSA01550
150101 0 5 1 0 0. 5.633 .05785 0. 0. * RSA01560
150111 0 6 1 0 0. 6.348 .066519 0. 0. * RSA01570
150121 0 6 1 0 0. 6.268 .06436 0. 0. * RSA01580
150131 0 6 2 0 0. 1.947 .01999 0. 0. * NO HEAT RSA01590
* RSA01760
* RSA01770
*** CORE SLABS ***

```

FACOM 230-75 (M7) LIBE 77.11.21 (V-03 L-12) 79/04/04 PAGE-0005

SOURCE ELEMENT LIST (8BIT MODE)

```

* ISLB NODT1 NODT2 NODT3 CLTI SFRAZ SPMOD QDMOD RSA01780
* ***NOT USED*** RSA01790
* 160010 2 1 4 8 .77092 0. .0532 .05832 * RSA01810
160020 3 1 4 8 .07808 0. .0532 .01138 * RSA01820
160030 4 1 4 8 .6929 0. .0532 .1004 * RSA01830
160040 5 1 4 8 .77092 0. .0532 .1524 * RSA01840
160050 6 1 4 8 .09718 0. .0532 .02732 * RSA01850
160050 7 1 4 8 1.347 0. .0532 .30936 * RSA01860
160070 8 1 4 8 .09718 0. .0532 .02232 * RSA01870
160090 9 1 4 8 .77092 0. .0532 .1524 * RSA01880
160090 10 1 4 8 .6929 0. .0532 .1004 * RSA01890
160100 11 1 4 8 .07808 0. .0532 .01138 * RSA01900
160110 12 1 4 8 .77092 0. .0532 .05832 * RSA01910
* RSA01920
*** CORE SLAB FOR EM 16XXXXX NOT USED RSA01930
* RSA01940
*** SLAB GEOMETRI ***
* IG NR IM NDX XO XR PF RSA01950
* IGP IM NDX XR PF RSA01960
* RSA01970
* RSA01980
* RSA01990
170101 2 4 1 3 0. .01001 0. *BN IN RSA02000
170102 0 2 1 .002297 1. *HEATER RSA02010
170103 2 3 1 .00397 0. *BN OUT RSA02020
170104 0 4 3 .004265 0. *CLAD RSA02030
170201 2 3 5 1 0. .012307 0. *CU-NI RSA02040
170202 0 3 1 .00397 0. *BN OUT RSA02050
170203 0 4 1 .004265 0. *CLAD RSA02060
* RSA02070
* RSA02080
*** THERMAL CONDUCTIVITY ***
* RSA02090
* NKP TPK(1),TPK(2),--- RSA02100
* (DEGF) (RTU/FTHRF) RSA02110
180101 -5 572. 16.7 939. 16.2 1292. 15.7 1632. 15.2 * BN IN RSA02120
180102 1832. 15.5 * RSA02130
180201 -3 68. 10.1 212. 8. 4712. 6.72 * HEATER RSA02140
180301 1 32. 3.36 .00397 0. *BN OUT RSA02150
180401 -9 70. 8.58 200. 9.06 400. 10.1 600. 11.1 * RSA02160
180402 800. 12.1 1000. 13.2 1200. 14.3 1400. 15.5 * RSA02170
180403 1600. 16.7 * INCNOL RSA02180
180501 1 32. 8.42 * CU-NI RSA02200
* RSA02210
* RSA02220
*** VOLUMETRIC HEAT CAPACITY ***
* RSA02230
* NPC TPC(1),TPC(2) RSA02240
* (DEGF) (RTU/FTT3) RSA02250
190101 -4 690. 5.28 950. 5.98 1562. 7.55 2300. 9.47 *BN RSA02260
190201 -3 68. 17.4 212. 55.6 4712. 57.4 * RSA02270
190301 -4 690. 5.28 950. 5.98 1562. 7.55 2300. 9.47 *BN *RSA02280
190401 -9 70. 55.7 200. 58.3 400. 60.9 600. 63.6 *INC600 RSA02290
190402 800. 66.2 1000. 69.3 1200. 73.5 1400. 76.2 *RSA02300
* RSA02310

```

# JAERI-M 8300

FACOM 230-75 (M7) L T B E 77.11.21 ( V=03 L=12 ) 79/04/04 PAGE=0006

SOURCE ELEMENT LIST (8BIT MODE)

190403 1400. 78.3	*CU-NI	*RSA02320
190501 1 32. 54.3		MSA02330
*		RGA02340
*** LINEAR EXPANSION COEFF., HEAT EXCHANGER DATA		RSA02340
* 20XXX.Y 21XXX.Y ARE NOT USED.		BSA02360
*		RSA02370
*** END OF INPUT DATA CARDS ***		RSA02380
*		RSA02390
0 0 *LAST DATA CARD		RSA02400
		RSA02410